



HARVARD UNIVERSITY.



LIBRARY

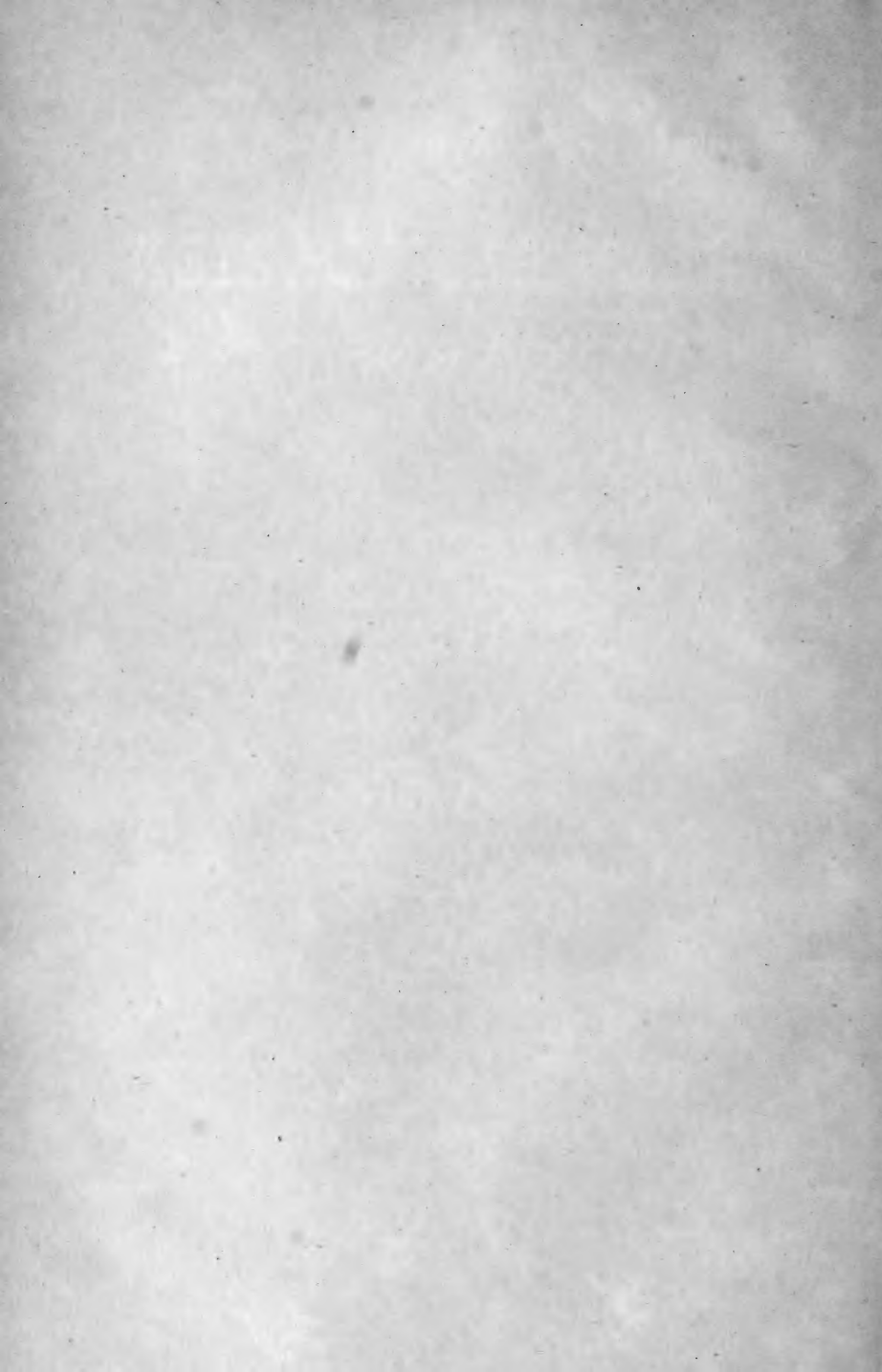
OF THE

MUSEUM OF COMPARATIVE ZOOLOGY.

11 April, 1872







O

BEITRÄGE ZUR KENNTNISS DER **FOSSILEN BACILLARIEN** UNGARNS.

I. THEIL:

MARINE BACILLARIEN

mit 30 Tafeln in Lichtdruck.

BEARBEITET

(NACH DEM UNGARISCHEN MANUSCRIPTE)

DURCH

Dr. JOSEF PANTOCSEK

KREISARZT IN TAVARNOK.

G
NAGY-TAPOLCSÁNY.

BÜCHDRUCKEREI VON JULIUS PLATZKO.

1886.

17.10.11
16X.1700.00
1011.17.8

NOV 11 1890

Museum of Comp. Zool.

EINLEITUNG.

Schon im Jahre 1837 gelang es Ehrenberg, auch aus meinem Vaterlande fossile Bacillarien nachzuweisen und zwar von Jasztraba, Zamutó und Árka, deren einzelne Formen er im Jahre 1852 in seinem Hauptwerke „Mikrogeologie“ auf Tafel VIII abbildete.

Im Jahre 1867 war es ein Landsmann, Johannes Neupauer, der in den Schriften der ungarischen Akademie unter dem Titel: „Az ásatag Diatomaceák (oszlokafelék) Rhyolith csiszpalában s egyéb közetekben“ (Die fossilen Diatomeen im Rhyolith-Polirschiefer und anderen Gesteinen) mit 3 Tafeln, seine grossartigen Entdeckungen publicirte. Es gelang ihm an folgenden Standorten fossile Bacillarien nachzuweisen: Czekeháza, Szurdok-Püspöki, Szurdok, Tálya, Gyöngyös-Pata, Deménd, Kavna, Körmöcz, Aranyos und Erdőbénye. In seiner Arbeit werden die lateinischen Namen der gefundenen Arten nach Kützing's: *Kiesel-schaligen Bacillarien* verzeichnet, von einer *Surirella costata* Neup. die Diagnose gegeben, auf den drei lithographirten Tafeln aber 79 Bacillarien abgebildet.

Im Jahre 1873, erschien in dem Jahrbuche der ungarischen geologischen Gesellschaft zu Budapest, von Karl Wissinger folgende Arbeit: „Adatok hazánk ásatag bacillariaiak ismertetéséhez: A Mocsári Bacillariaföld“ Beiträge zur Kenntniss der fossilen Bacillarien unseres Vaterlandes: Die Bacillarienerde von Mocsár, mit einer Beschreibung der constatirten Arten und Abbildung derselben auf 2 Tafeln und 35 Figuren bei $\frac{380}{1}$ und $\frac{435}{1}$ facher Vergrösserung. Die Arbeit steht auf einer viel höheren Stufe der Genauigkeit, als die Neupauer's.

Im Jahre 1882 publicirte Herr Dr. Julius Schaarschmidt in den „Magyar növénytani lapok“ pag. 33 unter dem Titel: „Fossil Bacillariaceák hazánkból“ (fossile Bacillarien unseres Vaterlandes) die mikroskopische Analyse des Polirschiefers von Magyar-Hermány und des Mergels von Élesd.

Im Jahre 1882 erschienen aus der Feder A. Grunow's in E. v. Mysisovics und M. Neumayr: Beiträge zur Paleontologie Oesterreich-Ungarns II. Band pag. 136: „Beiträge zur Kenntniss der fossilen Diatomeen Oesterreich-Ungarns“ mit 2 Tafeln, in welchen die mikroskopische Analyse des Polirschiefers von Dubravica, Tálya und Kis-Kér (??) publicirt wird.

Neupauer's eitirte Arbeit war es, welche mich veranlasste meine

bescheidene und leider, wie ich es nur zu sehr fühle, auch mangelhafte und nicht genug gründliche Arbeit der Oeffentlichkeit zu übergeben. Es war meine erste Absicht, nur eine Revision der *Neupauer-, Wissinger- und Schaarschmidt'schen* Arbeiten zu liefern, da ich aber so glücklich war, auch mehrere marine Ablagerung nachzuweisen, so gebe ich vor allem als ersten Theil der ganzen Arbeit, die Analyse der letzteren, da ja die Kenntniss derselben für unseren Continent von um so grösserer Wichtigkeit ist, weil wir bisher relativ nur wenige marine Bacillarien-Ablagerungen aus Europa kennen und zwar: aus *Aegina* in Griechenland; *Archangelsk-Kurojedowo* in Russland; *Baldjik* bei Varna am Schwarzen Meere; *Brünn* in Mähren; *Caltanissetta* in Italien; *Fahrenkrug* in Norddeutschland; *Flandern*; *Für* in Jütland; *Hostrup* in Norddeutschland, *Korsum* in Russland; *Lenzen* in Norddeutschland; *Loudon*; *Liccata* und *Monte Bressato* in Italien; *Moron* in Spanien; *Mors* und *Nykjöbing* in Jütland; *Reimansfelde* in Norddeutschland; *Thy* in Jütland; *Tolkemit*, *Vogelsang* und *Wendisch-Wehningen* in Norddeutschland und zuletzt *Zante* in Griechenland.

Schaarschmidt und *Kramberger Gorjanović* waren die ersten, welche aus Ungarn und Kroatien fossile marine Bacillarien-Ablagerungen kannten und zwar ersterer den thonigen Mergelschiefer aus *Élesd*, *Gorjanović* aber den bituminösen Polirschiefer von *Dolje* in Kroatien.

Ich selbst constatirte solche in den thonigen Mergel von *Alsó-* und *Felső-Esztergály*, in den thonigen, sandigen und *Modiola* Mergeln von *Kékkő* und *Szent-Péter*, in den thonigen Tuffe und Mergel von *Szakal*, in den sandigen Mergeln von *Bujtha* und *Mogyorod*.

Die Zahl der constatirten Gattungen, Arten, Varietäten und Formen, welche diese ungarischen Ablagerungen enthalten, ist eine erstaunliche und sind es besonders die Materialien von *Szent-Péter* und *Szakal* die durch ihren Reichthum, Neuheit und Grossartigkeit an Formen nicht nur die mühevolle, gewissenhafte und aufmerksamste Arbeit der Präparation und Darstellung erleichtern helfen, sondern auch dem Laien eine verblüffende Augenweide bieten. Wie viele Andere, wäre auch ich vor diesen grossen Klippen zurückgeschreckt, hätten mich nicht die vorzüglichsten Präparatoren, mein hochgeschätzter Freund Herr *Alfredo Truan y Luard* in *Gijon*, die Herren *E. Thum* in *Leipzig* und *J. D. Möller* in *Wedel*, durch Herstellung ausgezeichneter Typenplatten und gereinigten Materiales auf das angenehmste unterstützt, was mir die Arbeit besonders erleichterte. Die Revision der Tafeln, was grosse und mühevolle Arbeit gab, hat unser erste Kenner der Bacillarien, Herr *A. Grunow* in *Bern-dorf*, auf das Liberalste durchgeführt und auch noch meiner Arbeit Werth durch die Schaffung der Tafeln 26 und 27 besonders gehoben.

So ist es nur meine Pflicht Ihnen Allen für so viele uneigennützige Mühe meinen tiefgefühlten Dank auszusprechen.

Meinem hochgeschätzten Freunde Herrn Lehrer *Josef Lunyacsek*; Herren Physieus *Dr. C. von Chyzer*; *Julius von Farkas*; Universitäts-Professor *Dr. Anton Koch*; Dr. *Kramberger Gorjanović*; Professor *Dr. L. Mártonfi*; Univer-

sitäts-Professor *Dr. Josef von Szabó*; *Dr. Thomas von Szontagh*, *Julius von Veres* und *Dr. Gustav Zehenter*, welche mir vieles Material zur mikroskopischen Analyse einzusenden die Güte hatten, bin ich sehr verpflichtet und sage ich auch an dieser Stelle Ihnen Allen meinen herzlichsten Dank.

Die mikroskopische Analyse wurde mit einem Mikroskope aus der Werkstätte des Herrn *C. Reichert* in *Wien* durchgeführt, und zwar mit einem grossartigen Stativ Nr. I; versehen mit einer neu eingeführten Vorrichtung zur mechanischen Verschiebung der Objecte direct auf dem Objecttische, nach zwei aufeinander senkrechten Richtungen, den Trockenobjectiven 6, 8, 9, Wasser-immersions-Objectiv XI, der Homogenen Oel-Immersion $\frac{1}{20}$ " und den Okularen 2,3. Zur Anfertigung der ausgesuchten Präparate benützte ich ein Präparir-Mikroskop derselben Firma, welches ich in letzterer Zeit mit dem sinnreichen und leicht handlichen Hilfsapparat meines hochgeehrten Correspondenten *E. Debes* in *Leipzig* adjustiren liess, wodurch die mühevolle Arbeit der Ausleese ungemein erleichtert wird und welchen ich auf das Beste empfehlen kann. Derselbe ist in der Zeitschrift für wissenschaftliche Mikroskopie von *W. J. Behrens* III. Band, Heft 3, pag. 330 beschrieben und durch Mechaniker *Krille*, *Leipzig*, Schulstrasse 8 zu beziehen.

Die Zeichnungen wurden mit einem *Abbe'schen* Zeichenapparat der Firma *Carl Zeiss* in *Jena* bei $\frac{400}{1}$ bis $\frac{1700}{1}$ facher Vergrösserung ausgeführt.

Die Vervielfältigung geschah durch Lichtdruck, durch die Kunstanstalt des Herrn *M. Gemoser* in *München*, nachdem die Zeichnungen um $\frac{1}{3}$ verkleinert wurden.

Geologischer Theil.

Ueber die geologischen Verhältnisse, unter welchen die marinen Ablagerungen in *Bajtha*, *Élesd*, *Alsó-* und *Felső-Esztergály*, *Kékkő*, *Mogyorod*, *Szakal* und *Szent-Péter* entstanden sind, kann ich leider nur im allgemeinen berichten. Eine Ausnahme bildet der Fundort *Dolje* in *Kroatien*, der durch Herrn *Dr. Kramberger Gorjanović* eingehend studirt wurde. Die in den Ablagerungen gefundenen 463 *Bacillarien* sind aber unanfechtbare, unverwüstliche Zeugen eines mächtigen tropischen Meeres, welches in der Tertiärzeit ganz Ungarn überfluthete, an dessen Ufern, welche die Karpathenkette, das Biharia-gebirge und der Balkan bildeten, eine prachtvolle tropische Flora sich entfaltete, wie solches Blattabdrücke im Mergelschiefer von *Élesd* beweisen.

Entschieden aber sind sie alle eines jüngeren Alters, als die Molers in Jüttland und die Polirschiefer von *Korsun* und *Archangelsk-Kurojedowo* in Russland, welche auffallend viele abweichende Bacillarien-Formen enthalten, und in denen, so auch in den neuentdeckten Depôt zu *Oamaru* auf Neu-Seeland, besonders das Genus *Trinacria* reich vertreten ist. Viel grösser hingegen

ist die Anologie zwischen den Ablagerungen in Mähren, Norddeutschland, Griechenland, Italien, Spanien, Nordafrika und des nordamerikanischen Continentes.

Mergel von Bajtha im Comitate Hont.

Dieser Mergel wurde von *Dr. von Szontágh* in einem Einschnitte auf dem Fahrwege gegen Pasztó in einem Stücke gesammelt, welches ich zu untersuchen Gelegenheit hatte. Es ist ein sandiger Mergel von graulicher Farbe, welcher wenig fossile mikroskopische Organismen, als: Polycistineen, Radiolarien, Foraminiferen, Spongiennadeln und 55 Bacillaren enthält. Doch sind die Formen sehr gut erhalten. Der Mergel ist dem oberen Mediterran zu unterstellen. Characteristische Bacillaren sind: *Aulocodiscus Grunowii*; *Isthmia Szabói*; *Gephyria incurvata*; *Coscinodiscus elegans*; *Actinoptychus Heliopelta* etc.

Mergel von Élesd im Comitate Bihar.

Ich habe diesen Mergel durch die Güte der Herren *Julius von Farkas* und *Prof. Dr. Ludwig Mártonffy* in grösseren Partien erhalten und wurde derselbe im *Oltás árok* nördlich von Élesd gesammelt. Er ist ein thoniger schieferiger Mergel von gelblich brauner Farbe, gehört der jungtertiären Formation an und ist der pontischen Stufe zu unterstellen. Er enthält außer mikroskopischen Organismen, wie Foraminiferen, Radiolarien Spongiennadeln und 104 Bacillaren, auch Fischschuppen, Abdrücke von Meletta sardenites, Schnecken und Blattabdrücke von Mono und Dycotiledonen, z. B.: *Zostera* spec., *Santalum salicynum* Ethings., *Cinnamomum lanceolatum* Ung., *Sterculia labriuscula* Ung. Er wird besonders durch *Terpsinoë americana* Ralfs und durch deren *forma trigona* Grun. Pant.; *Terpsinoë intermedia* Grun.; *Surirella biharensis*; *Stephanodiscus Kanitzii*; *Navicula pseudofusca* etc. characterisiert. Dieser Mergel wurde zum ersten Male durch *Dr. Julius Schaarschmidt* mikroskopisch analysirt und das Ergebniss in „*Magyar növénytani Lapok*“ VI, 1882, Pag. 33 unter dem Titel: „*Fossil Bacillariaceák hazánkból*“ publicirt. Er verzeichnet 12 Formen, nämlich: *Amphora* sp.?; *Cymbella* sp.?; *Mastogloia bicuspidata* Grun.?; *Navicula* mit *cuspidata* Kützg. verwandt; *Coccconeis* sp.?; *Achnanthes brevipes* (Lyngb.) Ag.; *Epithemia gibberula* (Ehrbg.) Kütz.; *Synedra* sp.?; *Nitzschia* aus der Gruppe Vivaces; *Nitzschia lamprocarpa* Hantzsch.; *Nitzschia Sigmoidea* (Ehrbg.) W. Sm.; *Surirella striatula* Turp. Diese Bestimmung weicht ungemein von meiner ab. *Nitzschia sigmodea* dürfte meine *Nitzschia antiqua* sein, was *Mastogloia cuspidata* Grun.? sein soll, weiss ich nicht, da ja meines Wissen nach *Grunow* eine solche Art nie publicirte.

Mergel von Alsó-Esztergály im Comitate Neográd.

Diesen Mergel verdanke ich Herrn *Josef Lanyacsek*. Es ist ein thoniger Mergel, von thoniger Farbe, schwer, oft von Eisenoxydul rostbraun gefärbt. Er enthält 53 Bacillaren, besonders: *Coscinodiscus neogradensis*, *undatus*, *intu-*

mescens, clivosus, hungaricus, dann Radiolarien, Spongiennadeln und Foraminiferen. Er ist ein Tertiärgebilde der mediterranen Stufe angehörend.

Mergel von Felső-Esztergály im Comitate Neográd.

Diesen Tertiär-Mergel habe ich von Herrn Dr. G. Zehenter und von Herrn Josef Lunyacsek, als von Horni Struhár stammend, zur Untersuchung in grösseren Massen bezogen. Horni Struhár ist der slawische Name des Dorfes Felső-Esztergály, und erwähne ich dieses Umstandes, da in J. D. Möller's neuestem Preisverzeichnisse Pag. 19 nr. 958 ein Präparat: Molasse von Struhár (Ungarn) ausgegeben wird. Diese Molasse von Struhár (Felső-Esztergály) wird Herr Möller durch Dr. Zehenter bezogen haben und stammt derselbe nicht einmal, wie ich es positive behaupten kann, von Struhár (Felső-Esztergály), sondern ist der sandige Mergel von Kékkő!

Der tertiäre Mergel von Felső-Esztergály ist ein thoniger Mergel von gelblicher Farbe und grossem specifischen Gewichte. Er ist oft reich an Bacillarien (117), und hier besonders *Coscinodiscus neogradensis, undatus, clivosus, intumescens, Anisodiscus Pantocsekii* etc. hervorzuheben. Radiolarien, Foraminiferen, Spongiennadeln sind reichlich vertreten.

Mergel von Kékkő im Comitate Neográd.

Ich erhielt denselben von Herrn Josef Lunyacsek und untersuchte ich einen thonigen Mergel von gelblicher Farbe, einen sandigen Mergel von graulich bläulicher Farbe mit vielen Glimmer und einen sandigen Mergel von graulich bläulicher Farbe mit vielen Schalen einer *Modiola*. Bacillarien sind reichlich vertreten 152 und ist die vorherrschende Form *Coscinodiscus Iridis* in Riesenexemplaren, characteristisch sind *Aulacodiscus Grunowii, neogradensis, Lunyacsekii, hungaricus, reticulatus, subangulatus, Triceratium Pantocsekii, Rhaphoneis gemmifera* var. *elegans* etc.

Mergel von Mogyorod im Comitate Pest.

Denselben entdeckte Dr. Thomas von Szontágh. Es ist ein sandiger Mergel von grünlicher Farbe, der Congerienstufe angehörend, mit wenig Bacillarien (53) und vielen Spongiennadeln. Characteristische Bacillarien sind: *Actinopychus, Aulacodiscus Grunowii, Coscinodiscus elegans, Entopyla australis* etc.

Mergel von Szakal im Comitate Neográd.

Dieser wurde von Dr. Thomas von Szontágh entdeckt und mir zur Untersuchung durch die Herren Dr. Th. von Szontágh, Julius von Veres und Josef Lunyacsek eingeschickt. Er gehört der mediterranen Stufe an und untersuchte ich eine Kalkmergel, der sehr hart ist, Spongiennadeln, Radiolarien, und Foraminiferen enthält; einen Tuff mit Spongiennadeln, Radiolarien, Foraminiferen und wenigen Bacillarien, einen thonigen Mergel von gelblicher Farbe und geringerem specifischen Gewichte, der ausser Foraminiferen,

Spongiennadeln, Radiolarien und Polycistineen, auch eine grosse Zahl exquisiter Bacillarien (194) enthält. Characteristisch sind die prachtvollen *Actinoptychi*, besonders *Actinoptychus punctulatus* und *Truanii*, *Zygoceros circinatus*, *Weissfogii*, *quadricornis*, *Aulacodiscus Grunowii*, *Habirshawii*, *Debya insignis* etc.

Mergel von Szent-Péter im Comitate Neográd.

Diesen Mergel entdeckte Herr Josef Lunyacek. Ich untersuchte einen thonigen Mergel von gelblicher Farbe; einen sandigen Mergel und einen kalkigen Mergel. Alle sind sehr reich an Foraminiferen, Polycistineen, Radiolarien, Spongiennadeln und Bacillarien und gehören dieselben der mediterranen Stufe an. Die Fülle der Bacillarien, (292 Formen), ist eine erstaunliche und sind besonders als characteristische hervorzuheben: die neuen Genera *Clavicula* und *Pantocsekia*, *Aulacodiscus Grunowii*, *Lunyacekii*, *hyalinus*, *neogradensis*, *hungaricus*, *reticulatus*, *subangulatus*, *polygonus*, die prachtvollen *Actinoptychi*, *Raphoneis hungarica*, *gemmifera* var. *elegans*, *Plagiogramma neogradense*, *Rutilaria ventricosum*, das Genus *Navicula*, *Triceratium Pantocsekii* und dessen 5—6eckigen Formen, das Genus *Coscinodiscus*, von denen der riesengrosse *Coscinodiscus Iridis* die vorwaltende Form bildet.

Der bituminöse Mergelschiefer von Dolje in Kroation.

Wurde mir von Herrn Dr. Dragomir Kramberger Gorjanović eingeschickt. Er gehört der sarmatischen Stufe an, ist von weisser Farbe, sehr weich, in dünne Blätter spaltbar und besteht nach Dr. Kramberger Gorjanović, in Mojsisovics und Neumayr „Beiträge zur Paleontologie Oesterreich-Ungarns“ II. Band, 1882, pag. 94, nach dem er gehörig ausgeglüht wurde, aus:

Si	O ₂	73.19	Percent
Ca	C ₂ O ₂	11.32	"
Mg	O	1.04	"
Al ₂	O ₃	7.04	"
Fe ₂	O ₃	5.74	"
<hr/>						98.33	Percent.

Es characterisiren denselben besonders die vorwaltenden Radiolarien und Spongiennadeln. Bacillarien habe ich 109 Formen nachgewiesen, von denen *Mastogloja doljensis*; *Grammatophora insignis* var. *doljensis*; *stricta* var. *doljensis*; *Actinoptychus leptomitos*; *Coscinodiscus pseudolineatus* etc. am häufigsten sind.

Tabellarische Uebersicht der fossilen marinen Bacillarien Ungarns.

Bacillarien

Bacillarien

	Bajta	Élesd	Alsó-Esztergály	Felső-Esztergály	Kékfű	Mogyoród	Szakál	Szent-Péter	Doljje
Aulacodiscus (Eupodiscus) Argus (Ehrbg.) Pant.									
" Chasei nov. spec.									
" (margaritaceus Ralfs var.?) Debyi nov. spec.	*					*			
Aulacodiscus Grunowii Cleve genuinus	*					*			
" " var. subsquamosa Pant.						*			
" " " squamosa Pant.						*			
" " " punctata Pant.						*			
" Habirshawii nov. spec.						*			
" (angulatus Grev. var.?) hungaricus nov. spec.						*			
Aulacodiscus hyalinus nov. spec.						*			
" Lunyacekii nov. spec. forma: maxima Pant.						*			
Aulacodiscus Lunyacekii forma: minor Pant.									
" neogradensis nov. spec.									
" polygonus Grun.									
" " var. polygibba Grun.									
" reticulatus nov. spec.									
" (neogradensis var.?) subangulatus nov. spec.									
Auliseus coelatus Bail.						*			
" " forma: triocellata Pant.									
" confluens Grun.									
" Grunowii A. Schm.									
" (confluens Grun. var.?) Hauckii nov. spec.									
Auliseus moronensis Grev.									
" Normanianus Grev.									
" pruinosus Bail.									
" pudvinatus Cleve forma: apiculata Pant.									
Auliseus pudvinatus forma: inermis Pant.	*	*							
" sculptus Ralfs	*	*							
" Stoeckhardtii Janisch	*	*							
Biddulphia elegantula Grev.	*	*							
" " var. polygibba Pant.	*	*							
" homala nov. spec.	*	*							
" " forma: minor Pant.	*	*							
" mobiliensis (Bail.) Grun.	*	*							
" pulchella Gray.	*	*							
" Regina W. Sm.	*	*							
" " var. polygibba Pant.	*	*							
" reticulata Ropp.	*	*							

Bacillariae

Bacillarien

Bacillarien

B a o i l l a r i e n

Bacillariaceae

	Bajta	Elesd	Alsó-Esztergály	Felső-Esztergály	Kékkő	Mogyoród	Szakál	Szent-Péter	Dolje
Navicula Yarrensis Grun.	*	*	*	*	*	*	*	*	*
" Zehenterii nov. spec.									
Nitzschia antiqua nov. spec.									
" bilobata Sm.									
" (granulata Grun. var.?) doljensis nov. spec.									
Nitzschia (pulcherrima Grun. var.?) antediluviana Pant.									
Nitzschia (pulcherrima Grun. var.?) antediluviana forma: interrupta Pant.									
Nitzschia Tryblionella Hantzsch. var. biharensis Pant.									
Odontella (Ropperiana Grun. var.?) neogradensis nov. spec.									
Orthoneis binotata Grun.									
" splendida Grun.									
Pantocsekia clivosa Grun. nov. gen. et spec.	*	*	*	*	*	*	*	*	*
Paralia sulcata (Ebrbg.) Cleve	*	*	*	*	*	*	*	*	*
Periptera tetractadia Ebrbg.									
Plagiogramma biharensis nov. spec.									
" Gregorianum Grev.									
" neogradense nov. spec.									
Pleurosigma balticum W. Sm.	*	*	*	*	*	*	*	*	*
" Eudon nov. spec.									
" Normanii Ralfs.									
Podosira? subspiralis Grun.	*	*	*	*	*	*	*	*	*
Pseudotrikeratium cinnamomeum (Grev.) Grun.	*	*	*	*	*	*	*	*	*
Pyxidicula cruciata Ebrbg.	*	*	*	*	*	*	*	*	*
Pyxilla americana Grun.	*	*	*	*	*	*	*	*	*
" baltica Grun.									
" cornuta nov. spec.									
" dubia Grun.									
Raphoneis angustata nov. spec.	*	*	*	*	*	*	*	*	*
" amphiceros Ebrbg.									
" " forma: trigona Grun.									
" delicatula nov. spec.									
" Debyi nov. spec.									
" gemmifera Ebrbg.	*	*	*	*	*	*	*	*	*
" " forma: brevis									
" " var. elegans Pant. Grun.									
" " var. neogradensis Pant.									
" " var. parcepunctata Pant.									
Grun.	*	*	*	*	*	*	*	*	*
Raphoneis hungarica nov. spec.	*	*	*	*	*	*	*	*	*

Bacillarien

Bacillarien

	Bajtha	Elesd	Alsó-Esztergály	Kelkő	Mogyoród	Szakál	Szent-Víter	Dolje
Synedra Hennedyana Greg.	*	*						
"(Thalassionema) Frauenfeldii Grun.								
var. doljensis Pant.								
Synedra (Thalassionema) nitzschiodes Grun.								
var. acuminata Grun.								
Synedra (Thalassionema) nitzschiodes var. obtusa Grun.								
Terpsinoë americana (Bail.) Ralfs.								
" " forma: trigona Pant. Grun.	*	*						
" intermedia Grun.	*	*						
Triceratium (nankooense Grun. var.?) acutangulum Grun.			*	*	*			
Triceratium antiquum nov. spec.								
" arcticum Bright.	*	*						
" " forma: pentagona	*	*						
" balearicum Clev. Grun.	*	*						
" biquadratum Janisch.	*	*						
" Brunii nov. spec.	*	*						
" Castracanei nov. spec.	*	*						
" condecorum (Ehrbg.) Bright.	*	*						
" var. neogradensis Grun.	*	*						
" decorum Grev.	*	*						
" Favus Ehrbg.	*	*						
" grande Bright. forma: pentagona	*	*						
Pant.								
Triceratium (acutangulum Grev. var.?) Grovlei nov. spec.	*	*						
Triceratium (antillarum Clev. var.?) laetum nov. spec.	*	*						
Triceratium latum Grev.								
" lucidum nov. spec.	*	*						
" madagascarens Grun.	*	*						
" (Tripos Clev. var.?) microtis Grun.	*	*						
nov. spec.								
Triceratium (Tripos Clev. var.?) microtis forma: quadriocellata Pant.	*	*						
Triceratium Möllerii nov. spec.	*	*						
" (muricatum Bright. var.?) fossilis	*	*						
Grun.								
Triceratium (muricatum Bright. var.?) nudum nov. spec.	*	*						
Triceratium obscurum Grev.	*	*						
" Pantocephalii A. Schm.	*	*						
" " forma: convexa Pant.	*	*						

B a c i l l a r i o p

	Bajha	Élesd	Alsó-Esztergály	Felső-Esztergály	Kékkő	Mogyoród	Szakál	Szent-Péter	Dolje
Triceratium Pantocsekii forma: hexagona Pant. " " forma: pentagona Pant.		*							
" polygibbum nov. spec.		*				*	*	*	
" radiato-punctatum A. Schm. . . .									
" repletum Grev. var. balearica Grun.									
" Solenoeceros Ehrbg.									
" spinosum Bail.						*	*	*	
" Stockesianum Grev.						*	*	*	
" (balearicum Clev. Grun. var.?)						*	*	*	
Sturtii nov. spec.									*
Triceratium szakalense nov. spec.									
" tesselatum Grev.									
" Thunii A. Schm.									
" trisulcum Bail.									
" " var. hungarica Pant.									
" (Ditylum) undulatum Ehrbg. . .									
Trinacia Pileolus Ehrbg.									
Xanthiopyxis cingulata Ehrbg.		*	*						
" oblonga Ehrbg.		*	*						
" panduraeformis nov. spec. . .		*	*						
Zygoceros circinus Bail.									
" quadriecornis Grun.									
" ? Weissflogii nov. spec. . . .						*			
Total-Summe 451	55	104	53	116	157	52	199	293	109

—→—→—→—→—

BESCHREIBENDER THEIL.

BACILLARIACEAE.

TRIBUS RAPHIDIEAE.

FAMILIA CYMBELLEAE.

AMPHORA EHRBG.

Amphora arenaria Donk. T. M. S. 1858, pg. 30, tab. 3, fig. 16; A. Schm. Atlas tab. 40, fig. 8—10, 12.

Szent-Péter.

Amphora crassa Greg. Diat. of Clyde 1857, pg. 524, tab. 14, fig. 94; A. Schm. Atlas tab. 28, fig. 16, 30, 33; tab. 39, fig. 30.

Szent-Péter.

Var. **punctata** Grun. tab. nostra 6, fig. 46, $\frac{668}{1}$. — Striis grosse-punctatis, punctis $6\frac{1}{2}$ in 0·01 mm.

Dolje.

Amphora (crassa Greg. var.?) **euprepes** nov. spec. tab. 14, fig. 128, $\frac{400}{1}$. Valvula 0·1 mm. longa, 0·018 mm. lata elongata, polis rotundatis inflexis; striis horizontalibus (5 in 0·01 mm.) punctatis, usquae ad lineam medianam polis versus flexam cum puncto magno excurrentibus.

Szent-Péter.

Amphora granulata Greg. l. e. pg. 525, tab. 14, fig. 96; Schm. Atlas tab. 27, fig. 66.

Élesd.

Amphora Gründlerii Grun. A. Schm. Atlas tab. 28, fig. 24—27.

Szakal, Szent-Péter.

Amphora (ostrearia Bréb. var.?) **interrupta** nov. spec. tab. 15, fig. 134, $\frac{837}{1}$. — Valvula elongata 0·079 mm. longa, 0·013 mm. lata, leviter concavoconvexa; polis rotundatis; striis subtiliter puntatis (20 in 0·01 mm.) ad polos cum directione centripetali, media parte centrifugalibus, hic etiam cum stauro laevi, strias interrumpente.

Szent-Péter.

Amphora intersecta A. Schm. var. **sarmatica** Pant. tab. 15, fig. 135; $\frac{668}{1}$. — Recedita a specie, praecipue jugis valide punetatis.

Dolje.

Var. **striata** Pant. tab. 17, fig. 156, $^{413}/_1$. — Elongata 0·095 mm. longa, 0·015 mm. lata, concavoconvexa; polis contractis rotundatis; striis (10 in 0·01 mm.) punctatis; punctis valde distantibus, spacia interpunctalia lineas tres longitudinalis laeves formantia.

Dolje.

Amphora monilifera Greg. loc. cit. pg. 511, tab. 12, fig. 69.

Élesd, Dolje.

Amphora obtusa Greg. T. M. S. 1857, pg. 72, tab. 1, fig. 34; A. Schm. Atlas tab. 40, fig. 4—7, 16, 17.

Szent-Péter.

Amphora oculus A. Schm. var. **fossilis** Pant. tab. 14, fig. 127, $^{400}/_1$

— Striae cum punctis crassioribus (6 puncta et 8 striae in 0·01 mm.)

Amphora (Grevilleana Greg. var.?) **sepulta** nov. spec. tab. 24, fig. 223, $^{517}/_1$. — Elongata, concavoconvexa, 0·136 mm. longa, 0·02 mm. lata, polis productis, constrictis, rotundatis; striis validis ($7\frac{1}{2}$ in 0·01 mm.) dupl. punctatis.

Szent-Péter.

FAMILIA NAVICULACEAE.

MASTOGLOIA THWAIT.

Mastogloja (Smithii Thw. var.?) **doljensis** nov. spec. tab. 10, fig. 88, $^{600}/_1$. — Elongato lanceolata 0·03—0·04 mm. long. 0·01 mm. lata; polis obtusis, vel productis, constrictis; striis horizontalibus ($27\frac{1}{2}$ in 0·01 mm.), media parte valvae stauro laevi interruptis; margine loculamentis 6—8 tecto.

Dolje.

NAVICULA BORY.

Navicula Apis (Ehrbg.) Kütz. Bacilar. pg. 100, tab. 28, fig. 76; Rabenh. Süssw. Diat. pg. 46, tab. 6, fig. 28; Donk. Br. Diat. pg. 48, tab. 7, fig. 3; A. Schm. N. Diatom. tab. 1, fig. 9; Atlas tab. 12, fig. 16—19 etc. tab. 69, fig. 41, 43—44; Pinnularia Apis Ehrbg. Amerika pg. 132, tab. 3, 7, fig. 8.

Bajtha, Alsó-, Felső-Esztergály, Szent-Péter, Kékkő.

Navicula aspera (Ehrbg.) Donk. Brit. Diat. pg. 62, tab. 10, fig. 1; A. Schm. Atlas tab. 45, fig. 2—6 etc.; Van Heurck Synops. tab. 10, fig. 13, Suplem. tab. B. fig. 27; Grun. Diat. Franz. Jos. Land. pg. 56, tab. A. fig. 20. var. — Stauroptera aspera Ehrbg. Amer. pg. 134, tab. 1, 1, fig. 12 etc. Mikrogeol. tab. 19, fig. 26; Rabenh. S. Diat. pg. 49, tab. 9, fig. 1.

Bajtha, Felső-Esztergály, Kékkő, Szakal, Szent-Péter.

Navicula Baümlerii nov. spec. tab. 12, fig 108, $^{827}/_1$. — Lanceolato-elongata, polis rotundatis, 0·096—0·11 mm. longa, 0·018 mm. lata; striis hori-

zontalibus (9 in 0·096 mm.), subtiliter punctatis (punctis 13 in 0·01 mm.) in medio cum area laevi oblonga.

Szent-Péter.

(Meinem Freunde dem bekannten Mikologen *J. A. Baumler* in Pressburg gewidmet.)

Var. **interrupta** Pant. tab. 12, fig. 103, ^{827/1}. — Striae ad marginem linea arcuata laevi interruptae. Longit. 0·09 mm., latitudo valvae 0·03 mm., striae 12—14 puncta 13 in 0·01 mm.

Szent-Péter.

Navicula Beyrichiani A. Schm. Atlas tab. 69, fig. 16, 17.

Felső-Esztergály, Kékkő, Szakal, Szent-Péter.

Forma: **minor** Pant. tab. 3, fig 31, ^{840/1}. — Longit. 0·069 mm., latitudo valvae 0·034 mm., striae et puncti $5\frac{1}{2}$ in 0·01 mm.

Alsó-Esztergály.

Navicula Bombus (Ehrbg.) Greg. Diat. Clyde tab. 9, fig. 12; Donk. Brit. D. pg. 50, tab. 7, fig. 7. A. Schm. Atlas 69, fig. 28, 29. Van H. Synops. Suppl. tab. B. 22. — Diploneis Bombus Ehrbg. Mikrogeol. tab. 19, fig. 31.

Szent-Péter.

Navicula Brunii nov. spec. tab. 24, fig. 217, ^{827/1}. — Late lanceolata 0·084 mm. longa, 0·027 mm. lata, striis (9 in 0·01 mm.) radiantibus punctatis; circa nodulum centralem, area ligulata brevi.

Szent-Péter.

(Dem Bearbeiter der schweizer Diatomien, Professor *J. Brun* in Genf gewidmet.)

Navicula cancellata Donk. Brit. D. pg. 55, tab. 8, fig. 4; A. Schm. Nord. Diat. tab. 2, fig. 36, 37; Atlas tab. 46, fig. 41, 42 etc. Van H. Synops. pg. 86, tab. suppl. A. fig. 16.

Dolje.

Navicula caribea Cleve A. Schm. Atlas tab. 70, fig. 48.

Dolje.

Navicula chersonensis Grun. A. Schm. Atlas tab. 12, fig. 40, tab. 69, fig. 21.

Felső-Esztergály, Szent-Péter.

Navicula coarcata A. Schm. Atlas tab. 11 fig. 30, tab. 69, fig. 11.

Dolje.

Navicula Crabro (Ehrbg.) Donk. Brit. D. pg. 46, tab. 7, fig. 1; A. Schm. N. See D. tab. 1, fig. 5, 6, tab. 2, fig. 4; Atlas tab. 69, fig. 1—4; Van H. Synops. tab. 9, fig. 1, 2. — Diploneis Crabro Ehrbg. Mikrogeol. tab. 19, fig. 29. *Bajtha, Élesd, Alsó-, Felső-Esztergály, Kékkő, Mogyorod, Szakal, Szent-Péter.*

Navicula Debyi nov. spec. tab. 15, fig. 136, ^{827/1}. — Late lanceolata 0·10 mm. longa, 0·03 mm. lata; polis productis rotundatis; costis radiantibus (4 in 0·01 mm.), a raphide areolis ovalibus latis, divisis.

Szakal.

(Meinem hochgeehrten Correspondenten *Julien Deby* dem Verfasser von „A Bibliography of the Microscope“ in London gewidmet.)

Navicula didyma (Ehrbg.) Kützg. Bacill. pg. 100 tab. 4 fig. 7, tab. 28, fig. 75; W. Sm. Brit. D. I. pg. 53, tab. 17, fig. 151; Pritch. Infus. pg. 893, tab. 7, fig. 61; Donk. Brit. Diat. pg. 51, tab. 7, fig. 8; Janisch Hondur. pg. 10, tab. 4, fig. 14; A. Schm. N.-See Diat. tab. 1, fig. 7; Atlas tab. 13, fig. 1—3, tab. 69, fig. 30; Van H. Synops. tab. 9, fig. 5, 6; suppl. tab. B. fig. 20; Truan Diat. Astur. pg. 43, tab. 2, fig. 31, 32. — *Pinnularia didyma* Ehrbg. Amerika tab. 2, 4, fig. 3; Rabenh. S. Diat. pg. 46, tab. 6, fig. 26. — *Diploneis dydyma* Ehrbg. Mikrogeol. tab. 19, fig. 32.

Élesd, Kékkő, Szent-Péter.

Navicula (didyma) Ehrb. var.? **élesdiana** nov. spec. tab. 17, fig. 152, ⁸²⁷/_{1.}. — Elongato-elliptica 0·07—0·1 mm. longa, media parte constricta 0·013—0·019 mm. lata, polis crassis rotundatis 0·026 mm. latis; striis media parte horizontalibus, ad polos arcuatis (10 in 0·01 mm.) grosse punctatis, a raphide vallieula divisus, inqua eorum directio punctis subtilibus notatur. Nodus centralis quadrangularis 0·003—0·004 mm. magnus.

Élesd.

Navicula directa W. Sm. Brit. Diat. I. pg. 56, tab. 18, fig. 172; Janisch Guano tab. A. fig. 25; Schm. Atlas tab. 47, fig. 5.

Dolje, Szent-Péter.

Navicula doljensis nov. spec. tab. 24, fig. 219, ⁵⁴⁷/_{1.}. — Elongato-lanceolata, 0·142 mm. longa, 0·033 mm. lata; polis constrictis rotundatis; striis horizontalibus (9 in 0·01 mm.) grosse punctatis. Circa nodulum centralem et nodulos polares cum areola circulari nuda.

Dolje.

Navicula excavata Grev. T. M. S. 1866 pg. 130, tab. 12, fig. 15; A. Schm. Atlas tab. 3 fig. 22—25.

Felső-Esztergály, Kékkő, Szakal, Szent-Péter.

Navicula exempta A. Schm. N.-See Diat. tab. 2, fig. 5; Atlas tab. 11, fig. 28, 29, tab. 69, fig. 13.

Felső-Esztergály.

Navicula forcipata Greg. M. J. 1859, pg. 83, tab. 6, fig. 10—11; Donk. Br. Diat. pg. 12, tab. 2, fig. 4; A. Schm. N.-See Diat. tab. 1, fig. 45; tab. 2, fig. 16, 18; Atlas tab. 70, fig. 14—18, 30—34; Van H. Synops. tab. 10, fig. 3.

Élesd, Kékkő, Szent-Péter.

Navicula fusca Ralfs. in Pritch Infuss. pg. 898; Greg. Diat. of Clyde pg. 14, tab. 1 fig. 5; Donk. Br. Diat. pg. 7, tab. 1, fig. 5; A. Schm. Atlas tab. 7, fig. 2, 4, 7, 9, tab. 8 fig. 32—37; Van H. Synops. tab. suppl. B. fig. 24; — *Nav. hyperborea* Grun. Verhandlg. der Zoolog. botan. Gesell. 1860, pg. 29 tab. 1, fig. 16. — *Pinnularia quadrifasciata* Ehrbg. Mikrogeol. tab. 19, fig. 25.

Bajtha, Élesd, Alsó-, Felső-Esztergály, Kékkő, Mogyorod, Szakal, Szent-Péter, (hic usque ad 0·156 mm. longa); Dolje.

Navicula gemmata Grev. Calif. Guano in Edinb. N. Phil. Jour. 1858,
pg. 30, tab. 4, fig. 7.

Bajtha, Alsó-, Felső-Esztergály, Kékkő, Szakal, Szent-Péter.

Var. **fossilis** Pant. tab. 20, fig. 181, $^{413}/_1$. — Elongata, leviter constricta, 0·17 mm. longa, 0·052 mm. lata; polis lanceolatis rotundatis; costis radiantibus, duplikeato grosse punctatis, a raphide per valliculam grosse serratum divisis; nodulus centralis quadrangularis 0·006 mm. magnus.

Bajtha, Alsó-, Felső-Esztergály, Kékkő, Szakal, Szent-Péter.

Navicula Gorjanovićii nov. spec. tab. 9, fig. 81, $^{113}/_1$. — Elongato-elliptica 0·025 mm. longa, medio constricta 0·007 mm. lata; polis crassis, dilatatis, rotundatis (0·012 mm. latis); costis (10 in 0·01 mm.) brevibus, a volva raphidea lageniformi, valliculis laevibus divisis, medio divergentibus, ad polos radiantibus.

Dolje.

Herrn Dr. Dragomir Kramberger Gorjanović in Agram gewidmet.

Navicula granulata Bréb. in Pritch. Infuss. pg. 903; Donk. T. M. S. vol. VI. pg. 17, tab. 3, fig. 19; Brit. Diat. pg. 17, tab. 3, fig. 1; A. Schm. Atlas tab. 6, fig. 15, 16; Van H. Synops. tab. 11, fig. 15.

Felső-Esztergály.

Navicula halionata nov. spec. tab. 11, fig. 94, $^{413}/_1$. — Elongato-lanceolata 0·15—0·22 mm. longa, 0·042—0·48 mm. lata; polis leviter productis, rotundatis; striis (8—9 in 0·01 mm.) brevibus (0·006—0·013 mm. longis), utroque polo alternatim flexis, mediis radiantibus, superioribus et summis obliquis.

Élesd.

Navicula Hennedyi W. Sm. Br. D. vol II, pg. 93; Greg. T. M. S. vol IV, tab. 5 fig. 3; Ralfs in Pritch. Inf. pg. 898, tab. 7, fig 69; Grun. Zool. bot. Gesell. 1860, pg. 532, tab. 1, fig. 21, 22; Janisch Guano pag. 12, tab. 2, fig. 13; Donk. Br. D. pg. 11, tab. 2, fig. 3; A. Schm. N.-See D. tab. 1, fig. 41; Atlas tab. 3, fig. 3—5, 7, 8; Van H. Synops. tab. 9, fig. 14.

Bajtha, Élesd, Alsó-, Felső-Esztergály, Kékkő, Mogyorod, Szakal, Szent-Péter, Dolje.

Navicula (maxima Greg. var.?) **Holubyi** nov. spec. tab. 18, fig. 165, $^{517}/_1$. — Probabiliter tantum varieatas Nav. maxima Greg., a qua polis alienis permagne recedit. Fragmentum 0·159 mm. longum, 0·025 mm. latum, elongatum; polo constricto rotundato; striis subtilibus (20 in 0·01 mm.) horizontalibus, per lineam longitudinalem laevem interruptis; nodulus centralis rotundus excentricus.

Szent-Péter.

Meinem Freunde Pastor Josef Holuby in Nemes-Podhragy gewidmet.

Navicula humerosa Bréb. in W. Sm. Br. D. vol. II, pg. 93; Grun. Zool. bot. Gesell. 1860, pg. 536, tab. 1, fig. 26; Donk. Br. D. pg. 18, tab. 3, fig. 3; A. Schm. Atlas tab. 6, fig. 3, 5; Van H. Synops. tab. 11, fig. 20. — Nav. quadrata Greg. T. M. S. N. S. vol. IV, pg. 41, tab. 5, fig. 5.

Bajtha, Élesd, Alsó-, Felső-Esztergály, Kékkő, Mogyorod, Szakal, Szent-Péter, Dolje.

Navicula inhalata A. Schm. Atlas tab. 2, fig. 30.

Felső-Esztergály, Kékkő, Szakal, Szent-Péter.

Navicula interrupta Kützg. Bacill. pg. 100, tab. 29, fig. 93, Grun. Zool. bot. Gesell. 1860, pg. 531, tab. 3, fig. 20; Donk. Br. D. pg. 47, tab. 7, fig. 2; A. Schm. Atlas tab. 12, fig. 10, 11; Lagerst. D. Spitzb. 1873, pg. 28, tab. 2, fig. 6; Van H. Synops. tab. 9, fig. 7, 8.

Dolje.

Navicula Kittoniana A. Schm. Atlas tab. 2, fig. 10, 11.

Szent-Péter.

Navicula Kossuthii nov. spec. tab. 14, fig. 120, $\frac{537}{1}$, tab. 25, fig. 230, $\frac{827}{1}$. Elongata 0·088 mm. longa, medio valde constricta 0·009 mm. lata, polis lanceolatis 0·042 mm. latis; margine 0·002 mm. lato, areolato, areolis 6 in 0·01 mm.; striis irregulariter horizontaliter currentibus, grosse punctatis (12 in 0·01 mm.); structura inferiore subtiliter striolata. Cum Navic. marginata Lewis comparanda.

Szakal, Szent-Péter.

Herrn Ludwig von Kossuth in Turin gewidmet.

Navicula Kützingii Grun. l. c. 1860, pg. 532. tab. 1, fig. 15, tab. nostra 29, fig. 299, $\frac{420}{1}$.

Szent-Péter.

Navicula latissima Greg. T. M. S. 1856, pg. 40, tab. 5, fig. 4; Pritch. Inf. pg. 903, tab. 7, fig. 70; Donk. Brit. Diat. pg. 17, tab. 3, fig. 2; A. Schm. N.-See D. tab. 1, fig. 30; Atlas tab. 6, fig. 7; Pinnularia divaricata O'Mear. Q. J. M. S. 1867, pg. 116, tab. 5, fig. 7; Proced. Roy. Irish. Acad. Vol. II, pag. 379, tab. 32, fig. 6.

Élesd, Kékkő, Szent-Péter, Dolje.

Var. **Kamorthensis** Grun. Zoolog. bot. Gesell. 1863, pg. 152, tab. 14, fig. 16; A. Schm. Atlas tab. 6, fig. 6, 8, 8'.

Dolje.

Navicula lineata Donk. T. M. S. 1858, pg. 32, tab. 3, fig. 17; Br. D. pg. 8, tab. 1, fig. 8; A. Schm. Atlas tab. 7, fig. 44, tab. 69, fig. 31; N.-See Diat. tab. 1, fig. 16, 17; O'Meara R. J. Acad. Vol. II, pg. 364, tab. 31, fig. 22.

Dolje.

Navicula Lunyacekii nov. spec. tab. 14, fig. 122, $\frac{827}{1}$. — Ex grege Navic. praetextae Ehrbg. a qua praecipue margine undulato recedit. Valvula elongato-elliptica 0·11 mm. longa 0·05 mm. lata, ad marginem cum tribus constrictiobus; striis radiantibus (10 in 0·01 mm.) punctatis, ab area grosse disseminateque punctata lyraeformi interruptis.

Szakal.

Meinem Freunde Herrn Josef Lunyacek gewidmet.

Navicula Lyra Ehrbg. Amerika tab. I, 1, fig. 9a; Kütz. Bac. pg. 94, tab. 28, fig. 55; Rabenh. S. D. pg. 40, tab. 5, fig. 15; Greg. D. Clyde pg.

485, tab. 9, fig. 13; Grun. Zoolog. bot. Gesell. 1860, pg. 532, tab. 9, fig. 22, 23; Janisch Hondur. pg. 10, tab. 3, fig. 7; Donk. Br. D. pg. 14, tab. 2, fig. 7; Janisch Guano pg. 11, tab. 1 A., fig. 26; A. Schm. N.-See Diat. tab. 1, fig. 34, 35, 38, 39; Atlas tab. 2 fig. 4, 5, 8, 9 etc., tab. 3, fig. 11, 12, tab. 70, fig. 47; O'Meara l. c. pg. 391, tab. 33, fig. 1, 5, 6; Van H. Synops. tab. 10, fig. 1, 2; Truan Diat. Astur. pg. 44, tab. 2, fig. 23.

Bajtha, Élesd, Alsó-, Felső-Esztergály, Kékkő, Mogyorod, Szakal, Szent-Péter, Dolje.

Var. **connectens** Grun. tab. 24, fig. 221, ⁸²⁷/₁.

Élesd.

Var. **dilatata** A. Schm. forma: **perpusilla** Pant. tab. 17, fig. 150, ⁹⁰⁰/₁. — 0·035 mm. longa, 0·023 mm. lata, polis subproductis rotundatis; striis (15 in 0·01 mm.) subtilissime punctatis.

Dolje.

Var. **elliptica** A. Schm. Atlas tab. 2, fig. 29, 34; Van H. Synops. tab. 10, fig. 2.

Kékkő, Szent-Péter, Dolje.

Navicula (marginata Lew. var.?) **mastogloidea** nov. spec. tab. 21, fig. 192, ⁸²⁷/₁. — Cum Nav. marginata comparanda. — 0·078 mm. longa, medio constricta 0·013 mm. lata, polis obtusis, late lanceolatis 0·024 mm. latis. Structura duplice, superiore punctata, punctis in lineas (14 in 0·01 mm.) curvatas ordinatis et inferiore subtiliter striolata; margine 0·001 mm. lato, grosse striolato.

Szent-Péter, Szakal.

Navicula maxima Greg. M. J. 1855, pg. 40, tab. 4, fig. 19; T. M. S. 1856, pg. 39, tab. 5, fig. 2; D. of Clyde pg. 487, tab. 9, fig. 18; Pritch. Inf. pg. 909. tab. 7, fig. 75; Donk. Br. D. pg. 60, tab. 9, fig. 4; A. Schm. N.-See D. tab. 2, fig. 44; Atlas tab. 50, fig. 19—21 etc. O'Meara l. c. pg. 371, tab. 31, fig. 38; — Nav. excentrica Grun. l. c. 1860, pg. 546, tab. 1, fig. 1. — Nav. bicuneata Grun. l. c. 1860, pg. 546, tab. 1, fig. 4.

Kékkő, Szakal, Szent-Péter.

Navicula mediterranea Grun. A. Schm. N. See D. tab. 2, fig. 10; Atlas tab. 46, fig. 7.

Szent-Péter.

Navicula mikrotatos nov. spec. tab. 9, fig. 80, ¹¹³³/₁. — Rotundata 0·016 mm. longa, 0·015 mm. lata; striis (7 in 0·01 mm.) brevibus, radiantibus, subtilissime punctatis; linea media claviformi; margine subtiliter punctato.

Felső-Esztergály, Szakal, Szent-Péter.

Navicula nebulosa Greg. D. of Clyde pg. 480, tab. 9, fig. 8, Donk. Br. D. pg. 11, tab. 2, fig. 2; A. Schm. Atlas tab. 3, fig. 14; O'Meara l. c. pg. 387, tab. 32, fig. 25, 26.

Élesd, Kékkő, Szent-Péter.

Navicula Neupauerii nov. spec. tab. 14, fig. 123, ⁵⁴⁷/₁. — Elongato-

ovalis 0·94 mm. longa, 0·042 mm. lata, polis rotundatis; striis (12 in 0·01 mm.) radiantibus, subtiliter punctatis, per aream disseminate maculatam ad formam lyrae interruptis.

Szent-Péter.

Gewidmet Herrn Johann Neupauer, Verfasser der ersten ungarischen Arbeit über fossile ungarische Bacillarien.

Navicula nitescens Ralfs in Pritch. Inf. pg. 808; Gregor D. of Clyde pg. 487, tab. 9, fig. 16; Donk. Br. Diat. pg. 8, tab. 1, fig. 7; A. Schm. Atlas tab. 7, fig. 37, 41; O'Meara l. c. pg. 389, tab. 32, fig. 32.

Szent-Péter, Szakal.

Navicula pennata A. Schm. Atlas tab. 48, fig. 43.

Felső-Esztergály, Szent-Péter.

Navicula perfecta nov. spec. tab. 23, fig. 207, $\frac{827}{1}$. — Late elliptica 0·116 mm. longa, 0·068 mm. lata; polis leviter productis; striis (10—11 in 0·01 mm.) radiantibus, grosse punctatis, area magna lyraeformi, disseminate maculata interruptis.

Szent-Péter.

Navicula praetexta Ehrbg. Mikrogeol. tab. 19, fig. 28; Greg. D. of Clyde pg. 481, tab. 9, fig. 11; Donk. Br. D. pg. 10, tab. 2, fig. 1; A. Schm. Atlas tab. 3, fig. 30—34; O'Meara l. c. pg. 387, tab. 32, fig. 27; Van H. Synops. tab. 9, fig. 13; Truan D. Astur. pg. 44, tab. 2, fig. 27; tab. nostr. 9, fig. 79, $\frac{517}{1}$.

Bajtha, Alsó-, Felső-Esztergály, Kékkő, Mogyorod, Szakal, Szent-Péter.

Navicula pseudofusea nov. spec. tab. 13, fig. 109, $\frac{827}{1}$. — Late rotunda 0·052—0·087 mm. longa, 0·037—0·066 mm. lata; striis ad polos arcuatis (13 in 0·01 mm.), medio radiantibus (9 in 0·01 mm.), punctatis; vallieulis ad latera raphidis distinctissimis, profundis.

Élesd.

Navicula Sandriana Grun. l. c. 1863, pg. 153, tab. 13, fig. 5; A. Schm. Atlas tab. 3, fig. 10, tab. 70, fig. 45; O'Meara l. c. pg. 388, tab. 32, fig. 9; tab. nostr. 9, fig. 82, $\frac{840}{1}$.

Élesd, Felső-Esztergály, Kékkő, Szakal, Szent-Péter.

Navicula Schaarschmidtii nov. spec. tab. 14, fig. 121, $\frac{827}{1}$. — Ovalis, 0·076—0·1 mm. longa, 0·04—0·048 mm. lata, polis productis rotundatis; striis (10 $\frac{1}{2}$ —12 in 0·01 mm.) radiantibus punctatis, area lyraeformi grosse disseminateque maculato punctata interruptis.

Felső-Esztergály, Kékkő, Szakal, Szent-Péter.

Herrn Dr. Julius von Istvánfy Schaarschmidt gewidmet.

Navicula scutellum O'Meara l. c. pg. 396 tab. 33, fig. 14; Van H. Synops. tab. 9, fig. 11.

Dolje.

Navicula Smithii Bréb. in W. Sm. Br. D. II, pg. 92, tab. 17, fig. 152, 154*; Donk. Br. D. pg. 6, tab. 1, fig. 4; A. Schm. N.-See D. tab. 1,

fig. 19, Atlas tab. 7; fig. 12—14; O'Meara l. c. pg. 382, tab. 32, fig. 8; Grun. Diat. Franz. Josef. L. pg. 4, tab. 1, fig. 40, 41; Van H. Synops. tab. 9, fig. 12; Truan Diat. Astur. pg. 45, tab. 2, fig. 25, 26.

Elesd, Felső-Esztergály, Kékkő, Szakal, Szent-Péter, Dolje.

Navicula spectabilis Greg. D. of Clyde pg. 481, tab. 9, fig. 10; Donk. Br. D. pg. 12, tab. 2, fig. 5; A. Schm. Atlas tab. 3, fig. 20, 21.

Kékkő, Szakal, Szent-Péter.

Navicula splendida Greg. T. M. S. 1856, pg. 44, tab. 5, fig. 14; A. Schm. N.-See D. tab. 1, fig. 3, 4, Atlas tab. 12, fig. 21, 24, tab. 13, fig. 31—34, tab. 69, fig. 22; Truan Diat. Astur. pg. 43, tab. 2, fig. 30.

Szent-Péter.

Navicula subscinta A. Schm. N.-See D. tab. 2, fig. 7, Atlas tab. 13, fig. 41; Grun. Diat. Franz. Josef L. pg. 4, tab. 1, fig. 38, 39.

Felső-Esztergály.

Navicula suborbicularis Ralfs in Pritch. Inf. pg. 898; Greg. D. of Clyde pg. 487, tab. 9, fig. 17; Donk. Br. D. pg. 9, tab. 1, fig. 9; Grun. Novara pg. 100 tab. 1, fig. 15; O'Meara l. e. pg. 396, tab. 33, fig. 15, 16; A. Schm. Atlas tab. 1, fig. 3—5; tab. 8, fig. 1, 2—6; N.-See D. tab. 1 fig. 21.

Szent-Péter, Dolje.

Navicula Szontaghii nov. spec. tab. 3, fig. 25, $\frac{6}{10}$; tab. 28, fig. 284, $\frac{8}{10}$. Elongato-ovalis, 0·03—0·04 mm. longa, 0·016—0·02 mm. lata; striis crassis (5—6 $\frac{1}{2}$ in 0·01 mm.) subradianibus, lageniforme inflatis, irregulariter punctatis; raphide claviformi.

Felső-Esztergály, Kékkő, Szent-Péter.

Meinem Freunde Dr. Thomas von Szontagh in Budapest gewidmet.

Navicula Thumii nov. spec. tab. 10, fig. 85, $\frac{6}{10}$. Elongata 0·14 mm. longa, 0·03 mm. lata; polis productis rotundatis; striis (6 in 0·01 mm.) a lineis duabus laevibus interruptis; valliculis erenatis; volva raphidea lobata; nodulo rotundato 0·008 mm. magno.

Szent-Péter.

Dem berühmten Präparator Ed. Thum in Leipzig gewidmet.

Navicula Truanii nov. spec. tab. 2, fig. 19, $\frac{6}{10}$. Valva ovalis 0·085 mm. longa, 0·026 mm. lata, cum area laevi lyraformi, strias interrupentes; striis radianibus arenatis, punctatis, ad marginem dilatatis duplicitopunctatis (media parte 6 ad polos 9 in 0·01 mm.)

In deposito tertiario prope Moron Hispaniae.

Meinem hochgeschätzten Freunde Don Alfredo Truan y Luard in Gijon gewidmet.

Navicula Vukotinovićii nov. spec. tab. 1, fig. 7, $\frac{6}{10}$. — Elongato-lanceolata, 0·077 mm. longa, 0·029 mm. lata; polis productis rotundatis; striis subtilibus radianibus, summis obliquis, linea longitudinale laevi interruptis (medio 13, ad polos 17 in 0·01 mm.)

Dolje.

Dem besten Kenner der Flora Croatica Herrn Ludwig von Farkas Vukotinović gewidmet.

Navicula Wiesnerii nov. spec. tab. 18, fig. 158, $\frac{8}{10}$. Elongato ellip-

tica 0·021 mm. longa, medio constricta 0·008 mm. lata, polis rotundatis 0·01 mm. latis; striae robustae (10 in 0·01 mm.) medio deficienibus, tantum in vallicula punctis notatis; raphide crassa lageniforme inflata.

Szent-Péter.

Dem ersten Bearbeiter der fossilen *Bacillarien* von *Mocsár* gewidmet.

Navicula Yarrensis Grun. A. Schm. Atlas tab. 46, fig. 1—6; tab. nostra 2, fig. 20, ⁵¹⁷/₁.

Élesd, Dolje.

Navicula Zechenterii nov. spec. tab. 14, fig. 118, ⁶⁶⁸/₁. — Elongata 0·072 mm. longa, 0·017 mm. lata; polis rotundatis; striis horizontalibus (8 in 0·01 mm.), a linea longitudinali interruptis; valliculis crenulatis; nodulo centrali subquadriangulari; volva raphidea lobata.

Szent-Péter.

Herrn. Dr. Gustav Zechenter in Kremnitz gewidmet.

PLEUROSIGMA W. SM.

Pleurosigma balticum W. Sm. Br. D. I, pg. 66, tab. 22, fig. 207; Pritch. Inf. pg. 917, tab. 9, fig. 144; Grun. loc. c. 1860 pg. 558; Janisch. Hondur. pg. 11, tab. 3, fig. 3; Van H. Synops. tab. 20, fig. 1; Truan Diat. Astur. pg. 49, tab. 3, fig. 5.

Élesd.

Pleurosigma Eudon nov. spec. tab. 21, fig. 190 *a.* ⁴¹³/₁, *b.* ⁸²⁷/₁ Recta, elongato-lanceolata 0·28 mm. longa, 0·05 mm. lata; striis punctatis (13 in 0·01 mm.) horizontalibus, punctis in lineas duas obliquas ordinatis; nodulo centrali dilatatato.

Szent-Péter.

Pleurosigma Normanii Ralfs in Pritch. Inf. pg. 99. Grunow in Cleve Grun. Arct. Diat. pg. 14, 52, tab. 3, fig. 67.

Felső-Esztergály.

FAMILIA ACHNANTHEAE.

ACHNANTHES BORY.

Achnanthes brevipes Ag. Syst. pg. 1; Ehrbg. Infuss. tab. 7, fig. 11; Amerika tab. I, 3, fig. 13; Mikrogeolog. tab. 6, 2, fig. 25; Kützg. Bac. pg. 17, tab. 20, fig. 7; Rabenh. S. D. pg. 26, tab. 8, fig. 4; Pritch. Inf. pg. 875, tab. 10, fig. 199—202; W. Sm. Br. Diat. II, pg. 27, tab. 27, fig. 301; Van H. Synops. tab. 26, fig. 10—12; Truan D. Astur. pg. 56, tab. 4, fig. 16—18.

Élesd, Szent-Péter, Dolje.

Var. **contracta** Grun. in Cleve Grun. Arct. D. pg. 19, tab. nostra 11, fig. 99, ⁴⁴⁰/₁.

Dolje.

Achnanthes danica Grun. l. c. pg. 21. — *Cocconeis danica* Flügel
Ostsec Diat. pg. 91, fig. 14.

Dolje.

Achnanthes subsessilis Ehrbg. Infuss. pg. 228, tab. 20, fig. 3; Kütz.
Bac. pg. 76, tab. 20, fig. 4; W. Sm. Br. Diat. II. pg. 28, tab. 37, fig. 302;
Rabh. S. Diat. pg. 25, tab. 8, fig. 3; Van Heurek Synops. tab. 26, fig. 21—24.

Szent-Péter, Dolje.

FAMILIA COCCONEIDEAE.

ORTHONEIS GRUN.

Orthoneis binotata Grun. Novara pg. 15, l. c. 1863, pg. 145, tab.
13, fig. 3; Van H. Synops. tab. 28, fig. 7.

Dolje.

Orthoneis splendida Grun. Novara pg. 15. — Van H. Synops. tab.
28 fig. 1, 2; Truan. Diat. Astur. pg. 57, tab. 4, fig. 20; *Cocconeis splendida*
Greg. Diat. of Clyde pg. 493, tab 9, fig. 29.

*Bajtha, Élesd, Alsó-, Felső-Esztergály, Kékkő, Mogyorod, Szakal, Szent-Péter,
Dolje.*

COCCONEIS EHRBG.

Cocconeis cruciata nov. spec. tab. 16, fig. 148, $\frac{82}{1}$. — Elongato-ovalis,
0·046 mm. longa, 0·027 mm. lata; margine subtiliter striolato; striis radiantibus
(8 in 0·01 mm.), grossepunctatis, area longitudinali et transversali laevi.

Szent-Péter.

Cocconeis neogradensis nov. spec. tab. 13, fig. 111, $\frac{83}{1}$. Ovalis 0·057
mm. longa, 0·034 mm. lata, polis rotundatis; striis (7 in 0·01 mm.) radiantibus
punctatis.

Felső-Esztergály, Szent-Péter.

Cocconeis pellucida Grun. Novara pg. 12; Hantzsch. Diat. Ostindien
pg. 21, tab. 6, fig. 11.

*Bajtha, Élesd, Alsó-, Felső-Esztergály, Kékkő, Mogyorod, Szakal, Szent-Péter,
Dolje.*

Cocconeis praecellens nov. spec. tab. 8, fig. 69, $\frac{113}{1}$. Ovalis 0·045
mm. longa, 0·034 mm. lata. Ad marginem cum striis (16 in 0·01 mm.) brevis-
simis, subtilibus, radiantibus, ex serie triarum striolarum compositis. Ad lineam
centralem cum lineis tribus punctatis arcuatis, ad nodulum centralem currentibus,
hic interruptis. Area laevis magna, arcuata. — Valvula inferior brevior, ovalis
0·0299 mm. longa, 0·0187 mm. lata, similis superiori, sed linea raphidem tangens in
medio lineis duabus oppositis, arcuatis, striolatis, cum striis marginalibus, conjuncta.

Felső-Esztergály, Szent-Péter.

Cocconeis pseudomarginata Greg. D. of Clyde pg. pg. 492, tab. 9, fig.
27; Janisch Honduras pg. 7, tab. 1, fig. 16; Van H. Synops. tab. 29, fig. 20, 21.

Élesd, Felső-Esztergály, Kékkő, Szakal, Szent-Péter, Dolje.

Cocconeis Scutellum Ehrbg. Inf. pg. 194 tab. 14, fig. 8; Amerika tab. I, 1, fig. 11, etc.; Mikrogeol. tab. 19, fig. 33; Nordpol tab. 3, fig. 4; Kütz. Bae. pg. 73, tab. 5, fig. 6, 3—6; Rabenh. S. D. pg. 27, tab. 3, fig. 4; W. Sm. Br. D. I, pg. 22, tab. 3, fig. 34; Pritch. Inf. pg. 869, tab. 9, fig. 62; Janisch Hond. tab. 4, fig. 3; Van H. Synops. tab. 30, fig. 1.

Dolje.

Var. **doljensis** Pant. tab. 18, fig. 161, $\frac{84}{1}$. Ovalis, striis radiantibus grossepunctatis, ad marginem dilatatis, duplicato punctatis; medio cum area longitudinali laevi. — Longitudo 0·05—0·08 mm. latitudo valvae 0·04—0·059 mm.; striae ad aream 12, ad marginem 7 in 0·01 mm.

Dolje.

Cocconeis sigma nov. spec. tab. 8, fig. 68, $\frac{84}{1}$. Rotundato-ovalis 0·047 mm. longa, 0·039 mm. lata; striis obliquis, (12 in 0·01 mm.) punctatis, medio, area laevi longitudinali sigmoidea et transversali breviori interruptis.

Szakal, Szent-Péter.

TRIBUS PSEUDORAPHIDIACE.

FAMILIA FRAGILLARIEAE.

ENTOPYLA EHRBG.

Entopyla australis Ehrbg. Berl. Monatsb. 1848, pg. 8. Abhandlg. 1841, tab. I, 1, fig. 9 b.; Janisch Guano pg. 6 (II), tab. I. B., fig. 8, 14, 16—20; Eupleuria incurvata Walker Arnott Mik. Jour. VI. pg. 90; Gephyra incurvata Walker Arnott M. J. 1860, pg. 20; Pritch. Infus. pg. 809, tab. 4, fig. 49; Achnanthes costata Johnston M. J. VIII. pg. 20, tab. 1, fig. 14, (secund. Janisch Guano).

Bajtha, Mogyorod, Szakal, Szent-Péter.

EPITHEMIA BRÉB.

Epithemia gibberula Kg. Bac. pg. pg. 35, tab. 30, fig. 3, Grun. I. c. 1862, pg. 330, tab. 6, fig. 9; Schum. Preuss. D. 1862, tab. 1, fig. 1.

Élesd, Dolje.

Var. **protracta** Grun. in Van H. Typ. tab. nostra 10, fig. 86, $\frac{1133}{1}$. — Concavo-convexa, polis productis, capitatis; 0·028 mm. longa, 0·0068 mm. lata.

Dolje.

Epithemia biharensis nov. spec. tab. 20, fig. 183, $\frac{827}{1}$. Valvis leviter arcuatis, dorso gibbo; polis rotundatis, costis radiantibus, validis ($6\frac{2}{3}$ in 0·01 mm.); spacio intercostali haud punctato; longitudo 0·108 mm.

Élesd.

PLAGIOPGRAMMA GREV.

Plagiogramma bihareense nov. spec. tab. 21, fig. 188, $\frac{827}{1}$; tab. 30, fig. 319, 320, $\frac{653}{1}$. Catenas breves, saepe flabelliformes constituens. Valva a

latere primario rectangula 0·014—0·033 mm. longa, 0·0096—0·012 mm. lata, marginibus gibbosus, ciliatis; latere secundario valva 0·023 mm. longa, 0·005 mm. lata, elongato-lanceolata, in medio cum area laevi lata, transversali et costis duabus transversalibus terminata; margine punctis grossis (10 in 0·01 mm.) cineto; structura striolata, striis subtilissimis (25 in 0·001).

Élesd.

Plagiogramma Gregorianum Grev. M. J. 1859, pg. 208, tab. 10, fig. 12; Pritch. Inf. pg. 114, tab. 4, fig. 32; Janisch Hondur. pg. 10, tab. 2, fig. 8; Van H. Synops. tab. 36, fig. 2.

Dolje.

Plagiogramma neogradense nov. spec. tab. 8, fig. 63, 71, ^{827/1}; tab. 28, fig. 285, ^{653/1}. — Valvula elongata 0·049—0·1 mm. longa, 0·008—0·014 mm. lata; polis euneatis; margine tertia parte superne inferneque et medio leviter constricto, trigibbo. Nodus centralis rotundus, umbilicatus; stromae cum plica laevi et punctis subtilissimis haut visibilibus. Margo punctis majoribus uniserialiter cinetus, medio deffficientibus; valva punctis grossis in lineas longitudinales ordinatis et disseminatis (10 in 0·01 mm.) tecta.

Szent-Péter.

DIMEREGRAMMA RALFS.

Dimeregramma fossile Grun. in Cleve et Möller Typ. 215, 216, tab. nostra 8, fig. 67, ^{827/1}; tab. 27, fig. 265, ^{600/1}. — Valvis late lanceolatis, subrhombicis, obtusiusculis; poris magnis oblongis utrinque uniserialibus, marginalibus (3—5 in 0·01 mm.). Longitudo 0·034—0·044 mm., latitudo valvae 0·012—0·013 mm.

Alsó-, Felső-Esztergály, Szent-Péter et in strato tertiaro prope *Nottingham*.

Dimeregramma marinum (Greg.) Ralfs in Pritch. Inf. pg. 790; — Denticula marina Greg. Diat. of Clyde pg. 496, tab. 10, fig. 39., Van. H. Synops. tab. 36, fig. 9.

Felső-Esztergály, Szakal, Szent-Péter.

Dimeregramma nanum (Greg.) Ralfs in Pritch Inf. pg. 790, tab. 4, fig. 33; Denticula nana Greg. I. c. pg. 494, tab. 10, fig. 34; Van H. Synops. tab. 36, fig. 11b. 12, 13.

Dolje.

RHAPHONEIS EHRBG.

Rhaphoneis angustata nov. spec. tab. 11, fig. 97, ^{827/1}; tab. 30, fig. 313, ^{653/1}. — Linearis 0·06 mm. longa, 0·003 mm. lata; polis rotundatis; area media laevi, anguste linearis; striis transversis (6 in 0·01 mm.) 2—3 punctatis.

Kékhő, Szakal.

Rhaphoneis amphiceros Ehrbg. Mikrogeol. tab. 18, fig. 82 etc.; Pritch. Inf. pg. 791, tab. 14, fig. 21; O'Meara I. c. pg. 295, tab. 28, fig. 3; Cleve Vega pg. 499, tab. 37, fig. 52a.; Van H. Synops. tab. 36, fig. 22, 23.

Dolje.

Forma: **trigona** Grun. Van H. Synops. tab. 116, fig. 15; tab. nostra 29, fig. 292, ^{667/1}.

Szakal.

Raphoneis Debyi nov. spec. tab. 8, fig. 70, $\frac{827}{1}$. — Late lanceolata polis productis rotundatis, 0·037—0·058 mm. longa, 0·028—0·04 mm. lata; area media laevi, anguste lanceolata; punctis papillosis, in lineas arcuatas radiantes ordinatis, ad marginem 8, ad aream 5 in 0·01 mm.

Szent-Péter.

Raphoneis delicatula nov. spec. tab. 1, fig. 8, $\frac{868}{1}$. — Elongata, medio leviter constricta, ad polos anguste lanceolata, 0·052 mm. longa, medio 0·005 mm., ad polos 0·009 mm. lata; area media laevi, angusta, linearis; striis (20 in 0·01 mm.) transversalibus, ad polos radiantibus, omnibus subtiliter punctatis, punctis ad lineas longitudinales ordinatis.

Felső-Esztergály.

Raphoneis gemmifera Ehrbg. Berl. 1844, pg. 87; T. M. S. 1854, tab. 6, fig. 7. Van H. Synops. tab. 36, fig. 31; tab. nostra 12, fig. 104, $\frac{827}{1}$. — Valvis late-lanceolatis, polis parum productis, obtusis; striae punctatae $\frac{3}{4}$ — $\frac{4}{1}/2$ in 0·01 mm.

Bajtha, Kékkő, Felső-Esztergály, Mogyorod, Szent-Péter, (Richmond, Rappohanoc).

Forma: **brevis** tab. 2, fig. 22, $\frac{600}{1}$; tab. 12, fig. 101, $\frac{827}{1}$.

Felső-Esztergály, Szent-Péter, Kékkő, Szakul, (Richmond, Rappohanoc).

Var. **neogradensis** Pant. Grun. tab. 12, fig. 107, $\frac{827}{1}$. Densius striato punctata, punctis $\frac{5}{1}/2$ in 0·01 mm. — Valde similis Rhaphon. belgicae Grun. in Van H. Synops. tab. 36, fig. 25; cum striis $6\frac{1}{2}$ in 0·01 mm.

Kékkő, Szent-Péter.

Var. **elegans** Pant. et Grun. tab. 2, fig. 21, $\frac{600}{1}$; tab. 20, fig. 179; $\frac{827}{1}$; tab. 27, fig. 264, $\frac{600}{1}$; tab. 30, fig. 317, $\frac{667}{1}$. — Valvis subrhombicis 0·03—0·07 mm. longis, 0·015 mm. latis; polis productis subcapitatis; area media laevi, elongato-lanceolata. Striae 4— $6\frac{1}{4}$ in 0·01 mm. punctatae.

Felső-Esztergály Kékkő, Szakal, Szent-Péter, (Naparima).

Var. **parce punctata** Pant. et Grun. tab. 18, fig. 163, $\frac{827}{1}$; tab. 27, fig. 270, $\frac{600}{1}$. Varietati **elegantii** maxime similis et formis intermediis cum illa arcta conjuncta, differt area laevi multo latiore et striis (5—9 in 0·01 mm.) trivel saepe unipunctatis marginalibus. Longitudo 0·038—0·09 mm., latitudo valvae 0·013—0·016 mm.

Szakal, Szent-Péter.

Var.? **moravica** Grun. tab. 30, fig. 322, $\frac{600}{1}$. — Valvis lanceolatis 0·047 mm. longis, 0·01 mm. latis; polis parum productis; area laevi latissima, punctis ($4\frac{1}{2}$ in 0·01 mm.) utrinque in seriam unicam marginalem dispositis.

Szakal et in strato tertiaro prope Brünn Moraviae. (A. Grunow).

Raphoneis hungarica nov. spec. tab. 3, fig. 30, $\frac{547}{1}$; tab. 25, fig. 224, $\frac{827}{1}$. — Elongato-lanceolata, 0·08—0·09 mm. longa, 0·015—0·018 mm. lata, polis productis rotundatis; punctis magnis, arcuato-quadrigonis, papillosis, in lineas horizontales et longitudinales dispositis, medio cum area elongata angusta, laevi.

Szakal, Szent-Péter.

Rhaphoneis rhombus Ehrbg. Mikrog. tab. 18, fig. 84 etc.; Grun. l. c. 1862 pg. 381, tab. 7, fig. 36; Van H. Synops. tab. 36, fig. 20, 21.

Szakal, Szent-Péter, Dolje.

Var. **intermedia** Pant. tab. 28, fig. 275, $\frac{600}{1}$. Late lanceolata, 0.044 mm. longa, 0.024 mm. lata; polis productis, subcapitatis, rotundatis; area media laevi elongata; striis ($7\frac{1}{2}$ in 0.01 mm.) punctatis radiantibus; punctis ($6\frac{1}{2}$ in 0.01 mm.) in lineas longitudinales dispositis.

Szent-Péter.

Var. **Amazonica** Grun. tab. 27, fig. 267, $\frac{600}{1}$. — Valvis rhombicis, linea media angusta, punctis in lineas transversales subradiantes (8—9 in 0.01 mm.) et longitudinales ordinatis, polos versus minoribus. Longitud. 0.042 mm., latitudo valvae 0.019 mm.

In ostio fluminis *Maranhon*.

(Ich habe diese Form abgebildet, weil sie eine von den wenigen ist, die als verschieden von *Rhaphoneis amphiceros* betrachtet werden kann. Ehrenberg hat selbst in der Mikrogeologie auf Tafel 18 *Rhaphoneis amphiceros* und auf Tafel 33, 35 der hier abgebildeten Form ähnliche Zeichnungen, als *Rhaphoneis Rhombus* veröffentlicht. — A. Grunow).

Rhaphoneis (angustata Pant. var.?) **szakalensis** nov. spec. tab. 29, fig. 288, $\frac{667}{1}$. — Valvis linear-lanceolatis polis subproductis obtusis, area media laevi angusta; striis (5 in 0.01 mm.) transversis 1—3 punctatis, punctis in lineas transversales et longitudinales dispositis. Longitudo 0.027—0.03 mm., latitudo valvae 0.0075—0.008 mm.

Szakal.

Rhaphoneis subtilissima nov. spec. tab. 2, fig. 23, $\frac{600}{1}$; tab. 28, fig. 277, $\frac{1133}{1}$. — Ovalis, ovale-lanceolata, 0.016—0.19 mm. longa, 0.011 mm. lata; polis rotundatis vel subcapitatis; area media laevi elongata, angusta; striis $15\frac{1}{2}$ in 0.01 mm. radiantibus, subtiliter punctatis.

Felső-Esztergály, Dolje.

Rhaphoneis affinis Grun. tab. 27, fig. 266, $\frac{600}{1}$. Valvis late lanceolatis, polis subproductis obtusis, area laevi latiuscala, striis 2—4 punctatis (5—7 in 0.01 mm.) obsolete radiantibus. Longit. 0.026—0.035 mm., latitudo valvae 0.011—0.012 mm.

In strato tertario prope *Rappophanoc*. (A. Grunow).

Rhaphoneis? biseriata Grun. tab. 27, fig. 263, $\frac{600}{1}$. Valvis linearibus, polis rotundatis; seriebus duabus punctorum magnorum marginalium ($4\frac{1}{2}$ —5 in 0.01 mm.) ornatis; polis minute punctatis. Longit. 0.046—0.08 mm., latit. valv. 0.007—0.008 mm.

In deposito tertario *Richmondiano Shokoe Hill*. (Genus novum?) (A. Grunow).

Rhaphoneis lancettula Grun. tab. 27, fig. 271, $\frac{600}{1}$. (Fragillaria amphiceros Ehrbg. Mikrogeolog. tab. 18, fig. 77??). Valvis anguste lanceolatis, polis subproductis, linea media vix conspicua; punctis in lineas parallelas transversales (5— $5\frac{1}{2}$ in 0.01 mm.) et longitudinales dispositis. Longit. 0.058—0.083 mm.; latit. valv. 0.0073—0.01 mm.

In stratis tertiaris prope *Richmond, Pittsburgh, Naparima*. (A. Grunow).

Var. **Jütlandica** Grun. tab. 30, fig. 321, $\frac{600}{1}$. — Valvis angustioribus, polis ante polos subcapitatis parum constrictis; striis transversis paucipunctatis (7—9 in 0.01 mm.). Longit. 0.038—0.05 mm., latit. valv. 0.0045—0.005 mm.

In stratis tertiaris prope *Mors Jütlandiae*. (A. Grunow).

Rhaphoneis linearis Grun. tab. 27, fig. 262, $\frac{600}{1}$. — Valvis linearibus; polis rotundatis; linea media laevi angusta; striis transversis subtiliter punctatis (10—11 in 0.01 mm.), in media parte parallelis, polos versus subradiantibus. Longit. 0.041 mm., latit. valv. 0.0075 mm.

In deposito tertario prope *Nottingham*. (A. Grunow).

Rhaphoneis Morsiana Grun. tab. 27, fig. 269, $\frac{600}{1}$. Valvis lanceolatis; polis subproductis rotundatis; area media laevi, anguste lanceolata; striis transversis subradiantibus (3—5 in 0·01 mm.), punctatis ($9\frac{1}{2}$ — $10\frac{1}{2}$ in 0·01 mm.). Longit. 0·039 mm., latit. valv. 0·008 mm.

In strato tertiario prope Mors. (A. Grunow).

Rhaphoneis Petropolitana Grun. tab. 27, fig. 268, $\frac{600}{1}$. — Valvis lanceolatis; polis parum productis obtusis; area laevi medio latiore; striis minute punctatis marginalibus, brevibus, subradiantibus (7—8 in 0·01 mm.). Longit. 0·029 mm., latit. valv. 0·01 mm.

In deposito tertiario prope Petersburg Americ. boreal. (A. Grunow).

Rhaphoneis simbirskiana Grun. et Pant. tab. 18, fig. 162, $\frac{600}{1}$. — Valvis linearibus; polis subproductis rotundatis; area media laevi anguste, lanceolata; striis transversis ($7\frac{1}{3}$ in 0·01 mm.) 4—5 punctatis, (punctis $9\frac{1}{3}$ in 0·01 mm.). — Longit. 0·0637 mm., latit. valv. 0·009 mm.

In strato tertiario prope Archangelsk-Kurojedowo Rossiae europ.

SCEPTRONEIS EHRBG.

Sceptroneis eaducus Ehrlbg. Mikrogeolog. tab. 33, 17, fig. 15; Greg. Diat. of Clyde pg. 531, tab. 14, fig. 106; Pritch. Infuss. pg. 772, tab. 4, fig. 11; Van H. Synops. tab. 37, fig. 5.

Felső-Esztergály, Szent-Péter.

SYNEDRA EHRBG.

Synedra baculus Greg. T. M. S. 1857, pg. 81, tab. 1, fig. 54; O'Meara l. c. pg. 298, tab. 28, fig. 8; Van H. Synops. tab. 42, fig. 9 (Ardisonia). Szakal, Szent-Péter.

Synedra crystallina Kg. Bacill. pg. 69, tab. 16, fig. 1; W. Sm. Br. D. I. pg. 74, tab. 12, fig. 101; Van H. Synops. tab. 42, fig. 10.

Dolje.

Forma: **gibba** Pant. tab. 13, fig. 116, $\frac{972}{1}$. Margine ad polos 1—3 gibbo. Dolje.

Synedra Hennedyana Greg. D. of Clyde pg. 532 tab. 14, fig. 108; Van H. Synops. tab. 42, fig. 3.

Élesd.

Synedra (Thalassionema) Frauenfeldii Grun. var. **doljensis** Pant. tab. 22, fig. 195, $\frac{827}{1}$. — Maxime elongata, plerumque curvata; polis rotundatis, subcapi-tatis; margine punctato, punctis $12\frac{1}{2}$ in 0·01 mm. Latitudo valvae 0·0024 mm. Dolje.

Synedra (Thalassionema) nitzschioides Grun. var. **acuminata** Grun. tab. 26, fig. 246, $\frac{600}{1}$. — Valvis anguste lanceolatis, polos subproductos ver-sus angustatis; punctis marginalibus 14 in 0·01 mm.; punctis minutis perpaucis, hinc inde in media valvae parta obviis. Longit 0·11—0·13 mm., latit. valv. 0·01—0·011 mm. (A. Grunow).

Szent-Péter, Kékkő.

Synedra (Thalassionema) nitzschioides Grun. var. **obtusa** Grun. in Van H. Synops. tab. 43, fig. 6; tab. nostra 13, fig. 117, $\frac{1133}{1}$.

Kékkő, Szakal, Szent-Péter, Dolje.

CLAVICULA PANT. NOV. GENUS.

Frustula elongata, polis incrassatis, areis duabas laevibus longitudinalibus, omnem valvam percurrentibus, cum fascia punctorum centrali et laterali.

Clavicula polymorpha Grun. et Pant. — Valvis elongatis linearibus; punctis irregulariter dispositis, versus polos rotundatos minoribus et densioribus; areis duabus longitudinalibus omnem valvam percurrentibus laevibus. — Maxime variabilis.

Var. **tumida** Pant. tab. 2, fig. 12, ⁴¹³/₁; tab. 28, fig. 281, ⁸²⁷/₁. Valvis latioribus; polis incrassatis, cuneato rotundatis; areis laevibus angustioribus. Fascia punctorum centrali latiore e seriebus subregularibus 4—7 punctatis composita; fasciarum lateralium seriebus transversalibus 2—3 punctatis. Longit. fragmenti 0·14—0·18 mm., latit. valvae 0·016—0·021 mm., capitulorum terminalium 0·024—0·029 mm. Series punctorum 4 in 0·01 mm.

Szent-Péter.

Var. **aspicephala** Pant. tab. 2, fig. 15, ²⁶⁷/₁, 15a. ⁶¹³/₁. (*Synedra capitata* Ehrbg.?? *Mikrogeol.* tab. 18, fig. 73). — Valvis latioribus; polis incrassatis, cuneato rotundatis capitis viperae similibus; areis laevibus angustissimis; fascia punctorum centrali lata, e seriebus punctorum irregularibus 1—6 punctatis composita, fasciarum lateralium areolatis. Longit. 0·38 mm. latitudo valvae 0·015 mm., capitulorum terminalium 0·022 mm.; areolis et seriebus punctorum centralium 8 in 0·01 mm., punctis $6\frac{1}{2}$ in 0·01 mm.

Szent-Péter.

Var. **pachycephala** Grun. tab. 26, fig. 233, ⁶⁰⁰/₁. Varietatis **tumidae** similis, differt areis laevibus latioribus et fasciis punctorum angustioribus e seriebus irregularibus 1—4 punctatis compositis. Latit. valvae 0·014—0·017 mm., capitulorum terminalium 0·025—0·28 mm., series punctorum circa 6 in 0·01 mm.

Szent-Péter.

Var. **delicatula** Pant. tab. 9, fig. 75, ⁵⁴⁷/₁; tab. 26, fig. 233a., ⁶⁰⁰/₁; tab. 28, fig. 287, ⁸²⁷/₁. Valvis lineri-lanceolatis angustioribus, polis subincrassatis rotundatis; areis laevibus latis; seriebus punctorum fasciae centralis irregularibus 1—3 punctatis. Longit. 0·17—0·3 mm., latit. valvae 0·006—0·011 mm., capitulorum 0·007—0·013 mm., series punctorum 6—8 in 0·01 mm.

Kékkő, Szent-Péter.

Var. **amphilepta** Grun. tab. 26, fig. 234, ⁶⁰⁰/₁. — Praecedenti maxime affinis, differt polis rotundatis angustioribus. Latit. valvae in media parte 0·085 mm. ante polos 0·006—0·007 mm.

Felső-Esztergály.

Clavicula (polymorphae Grun. et Pant. var.?) **platycephala** Grun. tab. 26, fig. 235, ⁶⁰⁰/₁. Valvis anguste linearibus, polos truncatos versus maxime incrassatis; areis laevibus (ut videtur subprominentibus) in media parte angustis, polos versus latioribus; seriebus punctorum 2—4 punctatis, irregularibus 6—8 in 0·01 mm. Latit. valvae in media parte 0·006 mm., ante polos 0·028 mm.

Szent-Péter.

Clavicula szakalensis tab. 30, fig. 301, $\frac{663}{1}$. — Valvis elongatis, linearibus, medio latioribus; polis subincrassatis, rotundatis, densius punctatis; areis duabus longitudinalibus angustis, laevibus, omnem valvam perecurrentibus; fascia punctorum centrali e seriebus transversalibus ($4\frac{1}{4}$ in 0·01 mm.) regularibus 2—3 punctatis, punctis papillosum; fasciae laterales areolatae, areolis papillosum 4 in 0·01 mm. Longitudo fragmenti 0·367 mm., latitudo valvae ad medium 0·015 mm., ad polos 0·01 mm., capitulorum 0·013 mm.

Szakal.

Clavicula biharensis nov. sp. tab. 28, fig. 282, $\frac{933}{1}$. — Valvis elongatis, angustioribus, polis subincrassatis, densius punctatis; areis duabus angustis longitudinalibus laevibus, valvam perecurrentibus; fascia punctorum centrali e seriebus transversis 4—7 punctatis composita ($12\frac{1}{2}$ in 0·01 mm.), punctis in lineas transversas et decussatas dispositis; fasciis lateralibus unipunctatis. — Longitudo fragmenti 0·24 mm., latitudo valvae 0·0064 mm., capitulorum 0·0088 mm.

Élesd.

FAMILIA TABELLARIEAE.

CLIMACOSPHENIA EHREBG.

Climacosphenia moniligera Ehrbg. Amerika tab. II, 6, fig. 1; Kütz. Bac. tab. 29, fig. 80; Pritch. Inf. pg. 772 tab. 11, fig. 45, 46; Janisch Hondur. pg. 6, tab. 2, fig. 1; Grunow l. c. 1863, pg. 139, tab. 14, fig. 17.

Dolje.

GRAMMATOPHORA EHREBG.

Grammatophora insignis Grun. in Van H. Diat. Typ. Nr. 451. Grammatophorae articae affinis, differt striis punctatis multo densioribus et vitta continua striarum inter valvam et dissempenta recta latiore. Valvae lineares, in media parte et polos versus subdilatatae. Puncta in lineas transversas (18—22 in 0·01 mm.) et in lineas decussatas disposita. Longit. 0·14—0·20 mm., lat. valv. 0·008 mm.

Dolje et in strato tertiaro prope *Baldjik* ad Pontum Euxinum. (*A. Grunow*).

Var. **doljensis** Grun. tab. 26, fig. 238a-b. $\frac{600}{1}$. — Minor, tumore medio subconstricto, striis punctatis 22—29 in 0·01 mm. Longit. 0·068—0·084 mm. Latitudo valvae 0·006—0·007 mm.

Dolje. (A. Grunow).

Grammatophora maxima Grun. l. c. 1862, pg. 102, tab. 8, fig. 5; Van H. Synops. tab. 53^{bis}, fig. 12, 13; Truan Diat. Astur. pg. 68, tab. 6, fig. 11.

Bajtha, Élesd, Alsó-, Felső-Esztergály, Kékkő, Mogyorod, Szakal, Szent-Péter,
Dolje.

Grammatophora oceanica Ehrbg. Mikrogeolog. tab. 18, fig. 87, tab. 19, fig. 36a, tab. 29, fig. 72; tab. nostra 17, fig. 155, $\frac{837}{1}$.

Élesd, Dolje.

Var. **subtilissima** Bail. tab. nostra 16, fig. 112, $\frac{827}{1}$.

Élesd, Dolje.

Grammatophora robusta Dippel Probeobj. tab. 3, fig. 9—13; tab. nostra 30, fig. 312, 315, 316, ^{667/1}.

Bajtha, Élesd, Alsó-, Felső-Esztergály, Kékkő, Mogyorod, Szakal, Szent-Péter, Dolje.

Grammatophora stricta Ehrbg. var. **fossilis** Grun. tab. 26, fig. 239, ^{600/1}. Valvis linearibus in media parte et polos rotundatos versus leviter dilatatis; disseppimentis a latere vasis rectis, utroque fine leviter arcuatis; punctis in lineas transversas (27—28 in 0·01 mm.) et decussatas ordinatis. Longit. 0·076—0·12 mm., latit. valv. 0·009—0·01 mm.

Dolje. (A. Grunow).

Grammatophora (stricta Ehrbg. var.?) **biharensis** Pant. tab. 30, fig. 307—309, ^{657/1}. — Valvis linearibus, in media parte leviter constrictis, polos rotundatos versus angustioribus vel dilatatis; disseppimentis a latere vasis rectis, utroque fine leviter arcuatis; punctis subtilissimis in lineas transversas (32—35 in 0·01 mm.) dispositis. Longit. 0·11—0·15 mm., latit. valv. 0·011—0·014 mm.

Élesd.

RABDONEMA EHRBG.

Rhabdonema adriaticum Kg. Bac. pg. 126, tab. 18, fig. 7; Pritch. Inf. pg. 805, tab. 13, fig. 27; W. Sm. Br. D. II, pg. 35, tab. 38, fig. 305; Janisch Hond. pg. 11, tab. 3, fig. 20; Van H. Synops. tab. 54, fig. 11—13; Truan Diat. Astur. pg. 68, tab. 6, fig. 15.

Bajtha, Élesd, Alsó-, Felső-Esztergály, Kékkő, Mogyorod, Szakal, Szent-Péter, Dolje.

Rhabdonema humuliferum Kitton? J. R. M. S. 1878, pg. 244, tab. 15, fig. 22; Petit Catal. Dia. Campb. pg. 35, tab. 5, fig. 22; tab. nostra 6, fig. 48, ^{668/1}.

Dolje.

FAMILIA SURIRELLAE.

SURIRELLA TURP.

Surirella (striatula Turp. var.?) **antiqua** nov. spec. tab. 20, fig. 185, ^{827/1}. — Valvis late ovalibus 0·088 mm. longis, 0·052 latis; costis latis, cuneiformibus, radiantibus (1—1 $\frac{2}{3}$ in 0·01 mm.), disseminate striolatis, area media laevi, lata, disseminate maculata.

Élesd.

Surirella baldjickii Norm. T. M. S. 1861, pg. 6, tab. 2, fig. 2; A. Schm. Atlas tab. 20, fig. 6, 7; tab. nostra 30, fig. 318, ^{667/1}.

Szakal, in stratis tertiariorum prope Brünn Moraviae et prope Baldjik ad Pontum; viva in mare Adriatico prope Castelnuovo.

Surirella biharensis nov. spec. tab. 1, fig. 6, ^{668/1}. — Ovate rotunda 0·044 mm. longa; costis (1 $\frac{2}{3}$ —2 in 0·01 mm.) radiantibus, striolatis brevibus;

medio duabus figuris oppositis, superiore parte hamuliforme curvatis ornata, striatis 0·023 mm. longis 0·004 mm. latis.

Élesd.

Surirella fastuosa Ehrbg. Amerika tab. II. 4, fig. 7 etc.; Kg. Bac. pg. 62, tab. 28, fig. 19; Grun. I. c. 1862, pg. 461, tab. 9, fig. 12; Janisch Guano pg. 14, tab. I. A. fig. 37; A. Schm. Atlas tab. 4, fig. 1, 2, 8 etc. Van H. Synops. tab. 73, fig. 18; Truan Diat. Astur. pg. 76, tab. 8, fig. 11. *Dolje.*

Surirella Neumayerii Janisch in A. Schm. Atlas tab. 56, fig. 1. *Szakal, Szent-Péter.*

Surirella rotunda nov. spec. tab. 18, fig. 157, $\frac{827}{1}$. Valvis rotundatis, 0·06—0·07 mm. longa; costis cuneiformibus striatis brevibus, radiantibus ($2-2\frac{1}{2}$ in 0·01 mm.). Area disseminate maculata striolata.

Élesd, Dolje.

Surirella striatula Turp.; Ehrbg. Mikrogeol. tab. X. 2, fig. 10; Kg. Bac. pg. 62, tab. 7, fig. 6; Rabenh. S. D. pg. 30, tab. 3, fig. 22; Sm. Br. D. I. pg. 32, tab. 9, fig. 64; Pritch. Inf. pg. 796, tab. 9, fig. 137, 138; A. Schm. Atlas tab. 24, fig. 17—22; Van H. Synops. tab. 72, fig. 5—6; Truan Diat. Astur. pg. 75, tab. 8, fig. 5. — *Surirella costata* Neapauer in Math. és természettudom. Közl. V. pg. 193, tab. 3, fig. 77.

Élesd.

CAMPYLODISCUS EHRBG.

Campylodiscus adriaticus Grun. I. c. 1862, pg. 440, tab. 11, fig. 8; A. Schm. Atlas tab. 16, fig. 13.

Élesd, Kékkő, Szakal, Szent-Péter.

Var. **massiliensis** Grun. in A. Schm. Atlas tab. 16, fig. 14—16; tab. nostra 23. fig. 211. $\frac{827}{1}$.

Szent-Péter.

Campylodiscus Clypeus Ehrbg. — Kützg. Bac. tab. 2, fig. 5; Mikrogeolog. tab. X, fig. 1 etc. Abhandlg. 1869, tab. I, 1, fig. 1; Abhandlg. 1871, tab. I A, fig. 12 etc.; Weisse Guano tab. 1, fig. 14; A. Schm. Atlas tab. 54, fig. 7, 8; tab. 55, fig. 1—3; Van H. Synops. tab. 75, fig. 1.

Élesd, Szakal, Szent-Péter.

Campylodiscus Daemelianus Grun. in A. Schm. Atlas Probetaf. fig. 4; tab. 17, fig. 11; tab. 54 fig. 12.

Élesd, Dolje.

Campylodiscus ecclesianus Grev. Micr. J. 1857, pg. 10, tab. 3, fig. 5; A. Schm. Atlas tab. 16, fig. 8—10; tab. 17, fig. 16; tab. nostra 3, fig. 26, $\frac{547}{1}$.

Élesd.

Campylodiscus Echeneis Ehrbg. A. Schm. Atlas tab. 54, fig. 3—6; Van H. Synops. tab. 76, fig. 1, 2.

Élesd.

Campylodiscus Hibernicus Ehrbg. Mikrogeolog. tab. 15 A., fig. 9; A. Schm. Atlas tab. 55, fig. 9—16; Van H. Synops. tab. 77, fig. 3.

Élesd, Szakal.

Campylodiscus limbatus Bréb. D. Ch. pg. 12, fig. 1. Greg. D. of Clyde tab. 11, fig. 55; Grunow l. c. 1862, pg. 440, tab. 9, fig. 4; A. Schm. Atlas tab. 17, fig. 1—3.

Felső-Esztergály, Kékkő, Szakal, Szent-Péter.

Campylodiscus obsoletus Cleve J. Q. M. Cl. 1885, pg. 168, tab. 12, fig. 2, b. c.

Alsó-, Felső-Esztergály, Kékkő, Szakal, Szent-Péter.

Campylodiscus Ralfsii W. Sm. var. **fossilis** Grun.

Dolje.

Campylodiscus striolatus Grun. A. Schm. Atlas tab. 53, fig. 1—2; tab. nostr. 18, fig. 159, ⁸²⁷/₁.

Élesd.

Campylodiscus Thuretii Bréb. var. **baldjikiana** Grun. in A. Schm. Atlas tab. 51, fig. 16—21.

Élesd, Dolje.

NITZSCHIA HASS.

Nitzschia antiqua nov. spec. tab. 24, fig. 220, ⁵⁴⁷/₁. Elongata, 0·2—0·26 mm. longa, leviter sigmoidea, polis rotundatis, attenuatis, poris carinalibus magnis 12¹/₂—17¹/₂ in 0·01 mm.; striis transversalibus, brevibus, subtilissimis 30—35 in 0·01 mm.

Élesd.

Nitzschia bilobata W. Sm. Br. D. I. pg. 42, tab. 15, fig. 113; Van H. Synops. tab. 60, fig. 1. — *Amphiprora latestriata* Bréb.

Szakal.

Nitzschia (granulata Grun. var.?) **doljensis** nov. spec. tab. 2, fig. 14, ⁶⁶⁸/₁, 14a, ¹¹³³/₁. Valvis elongatis rectis, rare medio leviter constrictis; polis cuneiformibus rotundatis; striis (6¹/₂—9 in 0·01 mm.) horizontalibus, ad polos arcuatis, grosse punctatis, ad marginem dilatatis et duplicato subtiliter punctatis; (punctis 11¹/₂ in 0·01 mm.). Longit 0·035—0·04 mm., latit. valvae 0·011—0·012 mm.

Dolje.

Nitzschia (pulcherima Grun. var.?) **antediluviana** Pant. tab. 3, fig. 32, ⁵⁴⁷/₁. Valvis linearibus elongatis; punctis carinalibus magnis (4¹/₃ in 0·01 mm.), in strias crassas nigricantes, horizontales transientibus; striis (9 in 0·01 mm.) punctatis. Latitudo valvae 0·025 mm.

Szent-Péter.

Forma: **interrupta** Pant. Striis carinalibus crassis, nigricantibus, interruptis. Latitudo valvae 0·165 mm.

Szakal.

Nitzschia Tryblionella Hantzsch. var. **biharensis** Pant. tab. 24, fig.

222, ^{827/1.} *Elongato-elliptica* 0·075 mm. longa, 0·041 mm. lata; striis obscuris (5 in 0·01 mm.) transversis undulatis, plica longitudinali interruptis.

Élesd.

TRIBUS CRYPTO-RAPHIDIEAE.

FAMILIA CHAETOCERAE.

DICLADIA EHRBG.

Dicladia capreolus Ehrbg. Mikrogeol. tab. 35 A. 15, fig. 8; Weisse Guano tab. 1, fig. 29; Janisch Guano pg. 5, tab. I. B. fig. 2; 2 A. fig. 2; Van H. Synops. tab. 106, fig. 14—16.

Szakal, Szent-Péter.

PERIPTERA EHRBG.

Periptera tetacladia Ehrbg. Mikrogeol. tab. 33, 18, fig. 9; Pritch. Inf. pg. 865, tab. 6, fig. 30; Van H. Synops. tab. 83^{ter}, fig. 7—9.

Szakal, Szent-Péter.

SYNDENDRIUM EHRBG.

Syndendrium Diadema Ehrbg. Mikrogeolog. tab. 35 A. 18, fig. 13. Kékkő, Szakal, Szent-Péter.

GONITHECIUM EHRBG.

Gonithecium Odontella Ehrbg. Mikrogeolog. tab. 18, fig. 94; tab. 33, 15, fig. 16 etc.; Pritch. Inf. pg. 864, tab. 6, fig. 29; Van H. Synops. tab. 105, fig. 11, 12.

Bujtha, Alsó-, Felső-Esztergály, Kékkő, Mogyorod, Szakal, Szent-Péter, Dolje.

Gonithecium?? szakalense nov. spec. tab. 30, fig. 305, ^{667/1.} Lateribus primariis ellipticis, ad marginem subtiliter biseriatis striolatis; plicis duabus arcuatis, ad medium corona striolarum elliptica, ad polos duabus areis laevibus rotundis. Longit 0·0435 mm., latit. 0·03 mm. Novum genus?

Szakal.

CHAETOCEROS EHRBG.

Chaetoceros affine Laud. T. M. S. 1864, pg. 78 tab. 8, fig. 5.

Szakal, Szent-Péter, Dolje.

Chaetoceros gastridium Ehrbg. — Van H. Synops. tab. 82^{bis} fig. 12. Szakal, Szent-Péter.

XANTHIOPYXIS EHRBG.

Wohl nur Sporenbildungen von Chaetoceros-Arten.

Xanthiopyxis cingulata Ehrbg. Mikrogeol. tab. 33, 17, fig. 18.

Élesd.

Xanthiopyxis oblonga Ehrbg. Mikrog. tab. 33, 17, fig. 17; Pritch. Inf. pg. 827, tab. 5, fig. 76; Cleve in J. Q. M. Cl. 1885 pg. 175, tab. 13, fig. 18.

Élesd Felső-Esztergály, Kékkő, Szakal, Szent-Péter.

Xanthiopyxis panduraeformis nov. spec. tab. 29, fig. 297 ^{667/1}. Oblonga, medio constricta, cum polis rotundatis. Tota valva spinulis parvis, disseminatis tecta. Longitud. 0·063 mm., latitud. ad polos 0·024 mm., ad medium 0·0165 mm.

Kékkő, Szakal, Szent-Péter.

FAMILIA MELOSIREAE.

PYXILLA GREV.

Pyxilla americana (Ehrbg.) Grun. in Van H. Synops. tab. 83^{bis}, fig. 1—3; tab. nostra 28, fig. 283, ^{653/1}. Rhizosolenia americana Ehrbg. Mikrogeolog. tab. 18, fig. 98.

Kékkő, Szakal, Szent-Péter.

Pyxilla baltica Grun. in A. Schm. N.-See Diat. tab. 3, fig. 25; Van H. Synops. tab. 83, fig. 1, 2.

Szent-Péter.

Pyxilla cornuta nov. spec. tab. 9, fig. 76, ^{810/1}. — Cylindrica, 0·026 mm. lata; cornu maxime protracto obtuso; punctis magnis (3 in 0·01 mm.), in lineas spirales et longitudinales dispositis.

Szakal, Szent-Péter.

Pyxilla dubia Grun. in Van H. Synops. tab. 83, fig. 7, 8.
Szent-Péter.

STEPHANOPOXYXIS (EHRBG.) GRUN.

Stephanopyxis Corona (Ehrbg.) Grun. in Van H. Synops. tab. 83^{ter}, fig. 10, 11; — Systephania Corona Ehrbg. Mikrogeol. tab. 33, 15, fig. 22; tab. 33, 17, fig. 16; Systephania Diadema Ehrbg. Mikrogeolog. tab. 33, 18, fig. 11.

Bajtha, Élesd, Alsó-, Felső-Esztergály, Kékkő, Mogyorod, Szakal, Szent-Péter, Dolje.

Stephanopyxis Turris (Grev. Ralfs) Grunow in Diat. Franz-Josefs Land pg. 88. — **genuina** Grun. Van H. Synops. tab. 83^{ter}, fig. 12, — Cresswellia Turris Grev. in Pritch. Infuss. tab. 5, fig. 74; Gregor Diat. of Clyde tab. 14, fig. 109; — Stephanopyxis Niejahrri Ehrengb. Berlin 1872, tab. II, fig. 2.

Bajtha, Élesd, Alsó-, Felső-Esztergály, Kékkő, Mogyorod, Szakal, Szent-Péter, Dolje.

Var. **cylindrus** Grun. Franz Josefs Land pg. 35 forma: **nuda** Pant. tab. 23, fig. 206 ^{827/1}.

Ob absentiam spinularum ad **Pyxidulam** numeranda.

Kékkő.

Var. **intermedia** Grun. l. c. pg. 88, tab. E. fig. 15, 16; tab. nostra 23, fig. 208, ⁸²⁷/₁; tab. 24, fig. 215, ⁵⁴⁷/₁.

Kékkő, Szent-Péter.

Stephanopyxis (polaris Grun. var.?) **grossocellulata** nov. spec. tab. 20, fig. 180, ⁸²⁷/₁.

Valde convexa, limbo hyalino 0·003 mm. lato cincta; areolis marginibus quadrigonis, gonis rotundatis, centralibus 6 gonis, omnibus permagnis, ($1\frac{1}{3}$ in 0·01 mm.) spinulosis; spinulis validis. Diameter 0·06 mm.

Szent-Péter.

RUTILARIA GREV.

Rutilaria ventricosa Grev. M. J. 1863, pg. 228, tab. 9, fig. 2; tab. nostra 9, fig. 78 ⁸¹⁰/₁.

Szakal, Szent-Péter.

SKELETONEMA GREV.

Skeletonema hungaricum Grun. tab. 26, fig. 249, ⁶⁰⁰/₁. — Valvae illis Paraliae suleatae maxime similes, differunt corona spinularum obtusarum, verticalium, margini superiori insidentium. Diamet. 0·048—0·05 mm.

Szakal, (A. Grunow).

STEPHANOGENIA EHRBG.

Stephanogonia actinoptychus (Ehrbg.) Grun. in Van H. Synops. tab. 83^{-ter}, fig. 2—4; — **Mastogonia actinoptychus** Ehrbg. Mikrogeol. tab. 18, fig. 19; Pritch. Infus. pg. 814, tab. 5, fig. 59.

Szakal, Szent-Péter.

Stephanogonia polygona Ehrbg. Mikrogeol. tab. 33, 18, fig. 10; Pritch. Infus. pg. 814, tab. 5, fig. 57; Van H. Synops. tab. 83^{bis}, fig. 16.

Szakal, Szent-Péter.

HYALODISCUS EHRBG.

Hyalodiscus laevis Ehrbg. Mikrogeol. tab. 33, 15, fig. 17; Weisse Guano tab. 2, fig. 47; tab. nostra 15, fig. 131, ⁸²⁷/₁.

Dolje.

Var. **doljensis** Pant. tab. 23, fig. 212, ⁸²⁷/₁. Circularis, convexus; striis marginalibus brevibus radiantibus (30 in 0·01 mm.); area centralis permagna irregulariter tortuoso striolata, medio cum macula magna nigricante et figura irregulariter lobata ornata. Diamet. valvae 0·056 mm., areae 0·04 mm., maculae centralis nigricantis 0·02 mm.

Dolje.

Hyalodiscus radiatus (O'Mera) Grun. Diat. Fr.-Jos.-L. pg. 93; Pyxidiula radiata O'Meara J. Lin. S. Bot. vol. 40, tab. 1, fig. 9; **Hyalodiscus maximus** Petit in J. R. M. S. 1878, tab. 14, fig. 7.

Bajtha, Élesd, Alsó-, Felső-Esztergály, Kékkő, Mogyorod, Szakal, Szent-Péter, Dolje.

Var. ? **biharensis** Pant. tab. 23, fig. 205, ⁸²⁷/₁. Valvis rotundatis, crassis, convexis; striis brevibus; radiantibus, punctatis (12—13 in 0·01 mm.), striis brevibus nigris interruptis; punctis in lineas radiantes et subspirales dispositis,

peripheriam versus striis brevioribus, distantioribus. Diameter valvae 0·05—0·0736 mm., areae 0·03—0·036 mm.

Élesd.

Hyalodiscus scoticus (Kg.) Grun. J. R. M. S. 1879, pg. 690, tab. 21, fig. 5; Van H. Synops. tab. 84, fig. 15—18; Cyclotella scotica Kg. Bae. pg. 50, tab. 1, fig. 23; Podosira Hormoides W. Sm. Br. D. II. pg. 53, tab. 43, fig. 237.

Dolje.

Hyalodiscus subtilis Bail. var. **australiensis** Grun.

Élesd, Felső-Esztergály, Kékkő, Szakal, Szent-Péter, Dolje.

TRUANIA NOV. GEN.

Valva disciformis convexa, a radiis laevis brevibus, in segmenta cuneiformia divisa; segmenta punctata, punctis in lineas rectas et decussatas dispositis; centro depresso maculis disseminatis tecto; margine striolato.

Truania archangelskiana nov. spec. tab. 20, fig. 178, $\frac{827}{1}$. Diamet. valvae 0·063 mm., areae 0·028 mm.; radii laevi 27, segmenta 27 cuneiformia, basi arcuata; punctis 20 in 0·01 mm.; striis marginalibus 25 in 0·01 mm.

In strato tertiario prope *Archangelsk-Kurojedowo* Rossiae europeae.

Lepidodiscus elegans O. Witt. Simbirsk 1885, pg. 27, tab. 7, fig. 6; A. Schm. Atlas tab. 103, fig. 5; tab. nostra 20, fig. 182, $\frac{827}{1}$.

In strato tertiario prope *Archangelsk-Kurojedowo*.

CYCLOTELLA KG.

Cyclotella szakalensis Grun. tab. 27, fig. 259, $\frac{600}{1}$. Valva valde convexa, media parte irregulariter minute punctata, profunde plicata, punctis nonnullis majoribus, juxta plicam obviis; margine radiato et decussatim striato punctato, striis radiantibus 15 in 0·01 mm., peripheriam versus striis brevioribus, distantioribus interpositis, corona spinularum perminutarum aegrae conspicua. Membrana valvae crassa. Diameter valvae 0·07—0·08 mm.

Szakal, (A. Grunow).

PODOSIRA EHRBG.

Podosira? subspiralis Grun. tab. 27, fig. 251, $\frac{600}{1}$. Valvis parum convexis in media parte irregulariter punctatis, peripheriam versus oblique striato punctatis, corona spinularum minutarum intra marginalium ornatis. Diamet. 0·064 mm.

Felső-Esztergály, (A. Grunow).

MELOSIRA AG.

Melosira biharensis nov. spec. tab. 15, fig. 130, $\frac{668}{1}$. — Valva rotunda, margine striis radiantibus et corona punctorum cineto (11 in 0·01 mm.). Inter marginem et centrum circulus punctorum cuneiformium, radiantium (3 in 0·01 mm.). Diameter 0·07 mm.

Élesd, Kékkő, Szakal, Szent-Péter.

Melosira Caput Medusae nov. spec. tab. 17, fig. 151, $\frac{827}{1}$. Valva

rotunda; margine corona punctorum parvulorum distantium cincto (10 in 0·01 mm.). Inter marginem et centrum, circulus excrescentium difformium, radiantium (4 in 0·01 mm.); centro nudo.

Felső-Esztergály, Kékkő, Szakal, Szent-Péter.

Melosira cincta nov. spec. tab. 30 fig. 306, $\frac{420}{1}$. Valvis rotundatis, ad peripheriam cum corona areolarum ($2\frac{1}{2}$ — $3\frac{1}{3}$ in 0·01 mm.) et striolarum (10—14 in 0·01 mm.) brevium; in centro cum maculis disseminatis. Diameter 0·085—0·097 mm.

Kékkő, Szakal, Szent-Péter,

Melosira clavigera Grun. Van Heurck Synops. tab. 91, fig. 1—2. A. Schm. Atlas tab. 74 fig. 13—15.

Bajtha, Élesd, Alsó-, Felső-Esztergály, Kékkő, Mogyorod, Szakal, Szent-Péter, Dolje.

Melosira granulata (Ehrbg.) Ralfs in Pritch. Inf. pg. 820; Brun Diat. des Alp. pg. 137, tab. 9, fig. 25; Van H. Synops. tab. 87, fig. 9—11; Grun. Franz-Josefs Land D. pg. 49, tab. E fig. 42; Gallionella granulata Ehrbg. Amerika pg. 127; Gallionella tenerima Ehrbg. ? Mikrogeolog. tab. 39, fig. 50; Melosira decussata β. ordinata Kg. Bacill. pg. 56, tab. 3, fig. VII. 4; Orthosira punctata W. Sm. Br. Diat. tab. 53, fig. 339 etc.; tab. nostra 22, fig. 202, $\frac{647}{1}$.

Élesd, Alsó-, Felső-Esztergály, Kékkő, Mogyorod, Szakal, Szent-Péter.

Melosira (granulata Ehrbg. var.?) **spiralis** Ehrbg. Mikrogeol. tab. 33, 12, fig. 22; Van H. Synops. tab. 87, fig. 19—22; tab. nostra 11, fig. 96, $\frac{827}{1}$.
Felső-Esztergály.

Melosira nummuloides Ag. var. **élesdiana** Pant. tab. 23, fig. 209, $\frac{827}{1}$. Frustula cylindrica 0·0368 mm. alta, 0·0264 mm. lata; textura duplice, superiori aspera, inferiori subtiliter punctata, punctis ($17\frac{1}{2}$ in 0·01 mm.) in lineas undulatas ordinatis. — Valva rotunda, concava, margine undulato; centro subtiliter radiato striolato, striis $22\frac{1}{2}$ in 0·01 mm. Diamet. 0·0304 mm.

Élesd.

Melosira Omma Cleve J. Q. M. Cl. 1885, pg. 174, tab. 13, fig. 15.

Bajtha, Élesd, Felső-Esztergály, Kékkő, Mogyorod, Szakal, Szent-Péter.

Melosira Sol Ehrbg. Mikrog. tab. 35 A. 22, fig. 12; Van H. Synops tab. 91 fig. 7—9.

Bajtha, Élesd, Alsó-, Felső-Esztergály, Kékkő, Mogyorod, Szakal, Szent-Péter, Dolje.

PARALIA HEIBG.

Paralia sulcata (Ehrbg.) Cleve — Gaillonella sulcata Ehrbg. Infuss. pg. 170, tab. 21, fig. 5; Mikrogeolog. tab. 18, fig. 1 etc.; Bailey Amer. Jour. 1842, tab. 2, fig. 6, 7; — Melosira sulcata Kützg. Bac. pg. 55, tab. 2, fig. 7; Janisch Guano pg. 10, tab. I. A. fig. 22; Van Heurck Synops. tab. 91, fig. 16; — Orthosira marina W. Sm. Br. Diat. II. pg. 60. tab. 53, fig. 338.

Bajtha, Élesd, Alsó-, Felső-Esztergály, Kékkő, Mogyorod, Szakal, Szent-Péter, Dolje.

PANTOCSEKIA GRUN. NOV. GEN.

Valvis scatiformibus, subcylindricis, hyalinis (sub lente maximè augente structura punctata fere invisibili); in parte superiore elevationibus 5—6 submammiformibus in circulo dispositis. Membrana crassa.

Pantocsekia clivosa Grun. tab. 27, fig. 288 *a-b.* $^{600}/_1$. — Character generis. Diameter valvis 0·07—0·1 mm. Altitudo valvae 0·045—0·055 mm.

Kékő, Szakal, Szent-Péter, (A. Grunow).

FAMILIA BIDDULPHIEAE.

ISTHMIA AG.

Isthmia nervosa Kg. Bac. pg. 137, tab. 19, fig. 5; W. Sm. Br. D. II. pg. 52 tab. 47; Janisch. Honduras tab. 4, fig. 12; O'Meara Ir. Diat. pg. 279, tab. 27, fig. 15.

Szent-Péter,

Isthmia Szabói nov. spec. tab. 3, fig. 24*a-b.* $^{380}/_1$. — Frustula cylindracea, capitulo producto; valva rotunda, poris 2, 3, 4 lobis magnis (1— $1\frac{1}{2}$ in 0·01 mm.) in lineas circulares et longitudinales, in valva in lineas radiantes ordinatis, ad marginem minoribus; in capitulo et collo poris rotundatis minoribus (3 in 0·01 mm.) Diamet. valvae 0·221 mm.

Herrn Universitäts-Professor Dr. Josef von Szabó gewidmet.

Bajtha, Mogyorod Szakal, Szent-Péter.

TERPSINOË EHRBG.

Terpsinoë americana (Bail.) Ralfs in Pritch. Inf. pg. 859; Tetragramma americana Bail. in Smithson. Contrib. 1854, pg. 7; fig. 1, 2; — tab. nostra 6, fig. 52*a-b.* $^{840}/_1$.

Élesd.

Forma: **trigona** Grun. et Pant. **gonis productis** tab. 4, fig. 35, $^{810}/_1$; tab. 27, fig. 261 *a, b, e, g.* $^{600}/_1$.

Élesd.

Forma: **trigona** Grun. et Pant. **gonis dilatatis** tab. 6, fig. 53, $^{827}/_1$. tab. 21, fig. 193, $^{827}/_1$; tab. 27, fig. 261 *c, d, f, h-l.* $^{600}/_1$.

Élesd.

Terpsinoë intermedia Grun. Diat. Franz-Jos.-Land pg. 59; tab. nostra 17, fig. 15*a-b.* $^{547}/_1$.

Élesd, Szakal, Szent-Péter.

ODONTELLA (AG.) GRUN.

Odontella (Biddulphia Roperiana Grev. var.?) **neogradensis** nov. spec. tab. 24, fig. 218, $^{827}/_1$. — Valva lanceolato-elliptica, convexa; stromis duabus

apicalibus crassis rotundatis; granulis papillosis, in lineas radiantes ordinatis 12–18 in 0·01 mm. Longit. 0·068 mm., latitudo 0·0384 mm.

Szakal, Szent-Péter.

ANALUS (EHRBG.) GRUN.

Anaulus (Biddulphia) **mediterraneus** Grun. in Van H. Synops. tab. 102, fig. 8, 10, 11; tab. nostra 18, fig. 160 ⁶⁶⁸/₁.

Élesd.

EUNOTOGRAMMA WEISSE.

Eunotogramma? **bivittata** Grun. et Pant. tab. 26, fig. 247, ⁶⁰⁰/₁. Valvis linearis lanceolatis obtusis, leviter arcuatis, irregulariter vel subbiseriatim punctatis, vittis duabus transversalibus in media valvae parte. Longit. 0·10 mm., latitudo valvae 0·05 mm.

Felső-Esztergály, Szent-Péter.

EUODIA GRUN.

Euodia Janischii Grun. in Van H. Synops. tab. 127, fig. 1—4; — Leudug. Diat. Ceyl. tab. 9, fig. 87.

Élesd, Felső-Esztergály, Kékő, Szakal, Szent-Péter, Dolje.

HEMIAULUS EHRBG.

Hemiaulus hungaricus nov. spec. tab. 29, fig. 291, ⁶⁶⁷/₁. Valva superne visa lanceolata apicibus acutis aristatis, parte media convexa 0·187—0·024 mm. lata, stricturis duabus vittaformibus valvam transverse percurrentibus. Granulis (7 $\frac{1}{2}$ —10 in 0·01 mm.) papillosis, in lineas radiantes dispositis. Longitudo valvae 0·0385—0·56 mm. — Valva a latere visa cornubus duabus lateralibus 0·0112 mm. longis aristatis armata; parte media constrictioibus profundis a cornubus divisa; mebrana connectiva medio uniserialiter subtiliter punctata; granulis (7 $\frac{1}{2}$ in 0·01 mm.) in tota valva et cornubus in lineas longitudinales et transversales ordinatis. Longit. 0·042 mm., altitudo valvae in media parte 0·01—0·0112 mm.

Felső-Esztergály, Szakal, Szent-Péter.

Hemiaulus malleolus nov. spec. tab. 8, fig. 66, ⁸²⁷/₁. Valvis a cornubus incisura obsolete separatis convexis, basi leviter constrictis, marginibus carinato alatis; cornubus crassis, obtusis, alatis, margine interiore inflato. Structura granulosa, granulis in lineas arcuatas longitudinales ordinatis. Altitudo valvae 0·02 mm., cum cornubus 0·0495 mm., longitudo valvae 0·0209 mm.

Szent-Péter.

Hemiaulus? **petasiformis** nov. spec. tab. 29, fig. 295, ⁶⁶⁷/₁. Valvis superne visis late-lanceolatis, apicibus acutis, centro maxime elevato convexo, parte superiore et margine concavo. — Valvis a latere visis petasiformibus; margine 0·0016 mm. alto, concavo uniserialiter punctato; parte media convexa, elevata; structura granulata, granulis papillosis, in lineas radiantes dispositis, in

centro majoribus (6 in 0·01 mm.), ad polos minoribus et densioribus (8 in 0·01 mm.). Longit. 0·0536—0·0624 mm., latitudo 0·0248—0·0264 mm., altitudo partis mediae 0·0144—0·0344 mm.

Szakal.

Hemiaulus polymorphus Grun. var. **frigida** Grun. Diat. Franz-Jos.-L. pg. 66, tab. B. fig. 47—49.

Szent-Péter.

TRINACRIA HEIBG.

Trinacria Pileolus (Ehrbg.?) Grun. l. c. pg. 68, tab. B. fig. 59—60; Triceratium Pileolus Ehrbg. Mikrogeologie tab. 35, 21, fig. 17; Weisse Simbirsk tab. 1, fig. 20.

Szent-Péter.

ZYGOCEROS EHRBG.

Zygoceros Circinus Bail. Smiths. Contrib. 1854, pg. 11, fig. 19, 20; Van H. Synops. tab. 105, fig. 13; tab. nostr. 26, fig. 244, ⁶⁰⁰/₁.

Kékkő, Szakal.

Zygoceros quadricornis Grun. in Van H. Synops. tab. 105, fig. 5—7; tab. nostra 26, fig. 248, ⁶⁰⁰/₁.

Szakal.

Zygoceros? **Weissflogii** nov. spec. tab. 29, fig. 290, ⁶⁶⁷/₁. Tantum fragmenta, sed valde distincta in visu superno observavi. Valva elliptico-ovalis, polis obtusis; centro oblongo-ovali convexo, cum area media laevi, longitudinali, angustissima, ad apicem ejus et ad latera pluribus setis validis elongatisque ornata. Structura punctata, punctis in centro in lineas (9 in 0·01 mm.) transversales, ad marginem in lineas (9 in 0·01 mm.) radiantes ordinatis.

Szakal.

Meinem hochgeschätzten Correspondenten Herrn *E. Weissflog* in Dresden gewidmet.

CERATAULUS EHRBG.

Cerataulus Johnsonianus (Grev.) Cleve J. Q. M. C. 1885 pg. 171; Biddulphia Johnsoniana Grev. T. M. S. 1866, pg. 6, tab. 2, fig. 14—15.

Felső-Esztergály, Kékkő, Szakal, Szent-Péter.

Cerataulus polymorphus (Kg.) Grun. Van H. Synops. tab. 104, fig. 3, 4 etc.; — **Odontella polymorpha** Kg. Bac. pg. 138, tab. 29, fig. 90.

Kékkő, Szent-Péter.

Cerataulus turgidus Ehrbg.; Pritch. Inf. pg. 846, tab. 6, fig. 9; Biddulphia turgida W. Sm. Br. D. II. pg. 50, tab. 62, fig. 384; Van H. Synops. tab. 104, fig. 1, 2.

Kékkő, Szent-Péter.

BIDDULPHIA GRAY.

Biddulphia elegantula Grev. T. M. S. XIII. tab. 6, fig. 13.

Bajtha, Élesd, Alsó-, Felső-Esztergály, Kékkő, Mogyorod, Szakal, Szent-Péter, Dolje.

Var. **polygibba** Pant. tab. 30, fig. 303, $\frac{500}{1}$. Elevationibus 11, constrictionebus 12 et duabus cornubus lateralibus elongatis, apice rotundatis; margine superiore carinato alato; elevatione media maxima. Longit. 0·205 mm., altitudo elevationis mediae 0·0345 mm., altitudo cornuum 0·036 mm.

Szent-Péter.

Biddulphia homala nov. spec. tab. 6, fig. 50a-b. $\frac{610}{1}$. Frustula a latere visa rectangula 0·09 mm. longa, 0·027 mm. alta; cornubus duabus punctulatis, lateralibus robustis, rotundatis; constrictionebus 4 imis et tribus elevationibus gibberiformibus, rotundatis, media maxima, omnibus granulatis, granulis in lineas longitudinales et obliquas ($5\frac{1}{2}$ in 0·01 mm.) dispositis. — Superne visa, elongato-lanceolata, margine triundulato; polis rotundatis; vittis 4, latis, laevibus; structura granulosa, granulis in lineas radiantes ordinatis ($5\frac{1}{2}$ in 0·01 mm.) Longit. 0·09 mm., latit. valvae media parte 0·039 mm., ad polos 0·015 mm.

Kékkő, Szakal, Szent-Péter.

Forma: **minor** tab. 18, fig. 168, $\frac{413}{1}$. Long. 0·07 mm., altitudo 0·02 mm.
Szent-Péter.

Biddulphia mobiliensis (Bail.) Grun. Van H. Synops. tab. 101, fig. 4—6; Zygomeros mobiliensis Bail. Sill. J. 1845, pg. 336, tab. 4, fig. 24; Pritch. Infus. pg. 850, tab. 6, fig. 11; Biddulphia Baileyi W. Sm. Br. D. II. pg. 50, tab. 45, fig. 322, tab. 62 fig. 322; O'Meara l. c. pg. 275, tab. 27, fig. 8; Denticella mobiliensis Ehrbg. 1872, pg. 214, tab. 6, 2, fig. 8.

Szent-Péter.

Biddulphia pulchella Gray. — Ehrbg. Amerika tab. I. 3, fig. 25, tab. II 6, fig. 18; W. Sm. Br. D. II. pg. 48, tab. 44, fig. 321; tab. 46, fig. 321; Pritch. Inf. 848, tab. 2, fig. 46—50; Janisch Hondur. pg. 5, tab. 3, fig. 18; O'Meara l. c. pg. 275, tab. 27, fig. 9; Van H. Synops. tab. 91, fig. 1—5; — tab. nostra 15, fig. 137a-b. $\frac{647}{1}$.

Élesd, Felső-Esztergály, Szakal, Szent-Péter.

Biddulphia Regina W. Sm. Br. D. II. pg. 50, tab. 46, fig. 323; Van H. Synops. tab. 98, fig. 1.

Élesd, Alsó-, Felső-Esztergály, Kékkő, Mogyorod, Szakal, Szent-Péter.

Var. **polygibba** Pant. tab. 30, fig. 302, $\frac{500}{1}$. Elevationibus 7, constrictionebus 8 et duabus cornubus lateralibus robustis, apice rotundatis; elevatione media maxima, in vertice cum 3 apiculis. Longit. 0·124 mm.; altitudo valvae 0·015 mm.

Felső-Esztergály.

Biddulphia reticulata Rop. T. M. S. 1859, pg. 14, tab. 2, fig. 13, 17, Janisch Hondur. pg. 5, tab. 3, fig. 17; A. Schm. Atlas tab. 78, fig. 21—23; Van H. Synops. tab. 102, fig. 1—3.

Alsó-Esztergály.

Biddulphia Toumeyi (Bail.) Ropper T. M. S. 1859, pg. 8, tab. 1, fig. 1, 2; Pritch. Inf. pg. 848 tab. 6, fig. 10; Van H. Synops. tab. 98, fig. 2, 3;

— Denticella tridens, tridentula, polymera Ehrbg. Mikrogeolog. tab. 21, fig. 24 etc.; Weisse Simbirsk 1854, pg. 6, tab. 2, fig. 35. — Zygomeros Toumeyi Bail. Sill. Journ. 1843, pg. 138, fig. 3, 4.

Bajtha, Élesd, Felső-Esztergály, Kékkő, Mogyorod, Szakal, Szent-Péter.

Forma: **elongata** Pant. tab. 30, fig. 311, $^{223}/_1$. Longitudo 0·2475 mm., latitud. valvae media parte 0·04 mm.; ad polos 0·025 mm. Valvis elongatis, polis rotundatis, margine 5 undulato, vittis 4, latis laevibus.

Szent-Péter.

TRICERATIUM EHREB.

Triceratium (nankoreense Grun. var?) **acutangulum** Grun. in Van H. Synops. tab. 113, fig. 12.

Felső-Esztergály.

Triceratium antiquum nov. spec. tab. 13, fig. 115, $^{827}/_1$. Triangularis, lateribus leviter concavis, gonis obtuse lanceolatis; centro elevato; structura areolata, areolis ($7\frac{1}{2}$ in 0·01 mm.) hexagonis, in lineas radiantes, leviter arcuatas ordinatis; margine subtiliter interrupte striolato, striis 15 in 0·01 mm. Altitudo valvae 0·048 mm., longitudo lateris 0·053 mm.

Szent-Péter.

Triceratium arcticum Bright. M. J. 1853, pg. 250, tab. 4, fig. 11; A. Schm. Atlas tab. 79, fig. 5, 6, 10—13 var.

Felső-Esztergály, Kékkő, Szakal, Szent-Péter.

Forma: **quinquegona**. Triceratium quinquelobatum Grev. A. Schm. Atlas tab. 79, fig. 8.

Szakal.

Triceratium balearicum Clev. Grun. N. L. K. Diat. pg. 25, tab. 6, fig. 73; A. Schm. Atlas tab. 98, fig. 20, 21.

Bajtha, Élesd, Felső-Esztergály, Kékkő, Mogyorod, Szakal, Szent-Péter.

Triceratium biquadratum Janisch. A. Schm. Atlas tab. 98, fig. 4—6.

Szakal, Szent-Péter.

Triceratium Brunii nov. spec. tab. 19, fig. 176, $^{640}/_1$; tab. 28, fig. 274, $^{827}/_1$. Valvis triangularibus; lateribus concavis, gonis productis rotundatis; structura areolata, areolis rotundatis papilloso (4 in 0·01 mm.), in lineas radiantes ordinatis, in centro elevato per cingulum quasi disruptis, pulvillis angularibus nudis. — Altitudo 0·056 mm., longitudo lateris 0·066 mm.

Szent-Péter.

Triceratium Castracanei nov. spec. tab. 29, fig. 239a-b. $^{420}/_1$. Valvis triangularibus convexis cum setis intramarginalibus validis ornatis; lateribus concavis, fimbriatis cornubus angularibus productis; structura cellulosa, cellulis papilloso, in lineas subradiantes dispositis (5— $6\frac{1}{2}$ in 0·01 mm.). Longitudo lateris 0·0935—0·102 mm.; altitudo valvae 0·0836 mm.

Szakal.

Dem berühmten Bearbeiter der Challenger Bacillarien Herrn Abbé Grafen *Francesco Castracane* in Rom gewidmet.

Triceratium condecorum Ehrbg. Bright. M. J. 1853, pg. 250, tab. 4, fig. 12; A. Schm. Atlas tab. 76, fig. 27; tab. nostra 16, fig. 146, ⁵⁴⁷/₁.
Szakal, Szent-Péter.

Var. **neogradensis** Grun. tab. 27, fig. 256, ⁶⁰⁰/₁. — *Angulis magis productis. Longitudo inter angulos 0·085 mm. (A. Grunow).*

Szakal, Szent-Péter.

Triceratium decorum Grev. T. M. S. 1862, pg. 92, tab. 9, fig. 7.
Szent-Péter.

Triceratium Favus Ehrbg. Abh. 1839, tab. 4, fig. 10; Amerika tab. III. 7, fig. 10; Mikrogeol. tab. 19, fig. 17; Kg. Bac. pg. 139, tab. 18, fig. 11; W. Sm. Br. Diat. I. pg. 26, tab. 5, fig. 44; tab. 30, fig. 44; A. Schm. Atlas tab. 82, fig. 13, 14; Pritch. Inf. pg. 855, tab. 11, fig. 43; Janisch Guano pg. 15, tab. I. B. fig. 9; Janisch Honduras pg. 14, tab. 3, fig. 10; Van H. Synops. tab. 107, fig. 1—4.

Bajtha, Élesd, Alsó-, Felső-Esztergály, Kékkő, Mogyorod, Szakal, Szent-Péter, Dolje.

Triceratium (muricatum Bright. var.?) **fossile** Grun. tab. 26, fig. 240, ⁶⁰⁰/₁. — *Valvarum lateribus magis convexis, appendiculis minus prominentibus, areolis irregularibus.*

Szent-Péter.

Triceratium muricatum Bright. a Tr. Fav. Ehrbg. recedit margine molliter, fornicatim sursum curvante, ille apud Tr. Favus praecipite ascendit et superne semper dentibus plus minusque evolutis ornatus. (A. Grunow).

Triceratium grande Brigh.? forma: **pentagona** Pant tab. 4, fig. 33, ³²⁰/₁; ¹¹³³/₁. Valva quinquegona, lateribus rectis gonisque rotundatis; appendiculis robustis 0·005—0·008 mm. altis, 0·01—0·018 mm. latis patellaeformibus; structura duplice, superiore areolata, inferiore punctata; areolis permagnis (1 in 0·01 mm.) 5—6 gonis papilloso cohaerentibus, radiantibus, punctis (18 in 0·01 mm.) in lineas radiantes dispositis; margine fimbriato et subtiliter punctato. Fimbriae capitatae (3—3¹/₂ in 0·01 mm.). Altitudo 0·16—0·33 mm; longitudine lateris 0·11—0·2 mm.

Kékkő, Szent-Péter.

Triceratium (acutangulum Grev. var.?) **Grovei** nov. spec. tab. 22, fig. 196, ⁸²⁷/₁. — *Valvis 4—5 gonis, lateribus magis concavis, gonis productis, appendiculis prominentibus. Structura areolata areolis (3¹/₂—5 in 0·01 mm.) irregularibus, papilloso, lineas radiantes formantibus. Centro elevato, vitta obscura 4—5-gona cincto. Longit. lateris 0·064—0·08 mm.*

Élesd, Felső-Esztergály, Kékkő, Szakal, Szent-Péter.

Dem Bearbeiter der Bacillarien des Mergels von Oamaru Herrn E. Grove in London gewidmet.

Triceratium (antillarum Clev. var.?) **laetum** nov. spec. tab. 22, fig. 200, ⁸²⁷/₁. Valva 5 gona 0·036 mm. alta, lateribus 0·026 mm. longis, concavis, productis; appendiculis robustis; structura punctata, punctis (10 in 0·01

mm.) in lineas radiantes ordinatis, ad centrum a fascia laevi transversa figuram 5 gonam formante interruptis punctis in centro laxioribus.

Élesd.

Triceratium latum Grev. T. M. S. 1865, pg. 102, tab. 9, fig. 20; A. Schm. Atlas tab. 77, fig. 38; tab. nostra 23, fig. 210 ^{827/1}.

Szent-Péter.

Triceratium lucidum nov. spec. tab. 5, fig. 41, ^{840/1}. Valvis triangulibus, convexis; lateribus concavis, duabus aequalibus, tertio minore; appendiculis rotundatis; structura granulata, granulis ($3\frac{1}{2}$ in 0·01 mm.) papillosis, in lineas radiantes dispositis. Altitudo 0·096 mm.; basis 0·10 mm. longa, longitudo lateris 0·11 mm.

Szakal.

Triceratium madagascarens Grun. Van H. Synops tab. 108, fig. 8; A. Schm. Atlas tab. 81, fig. 18.

Szent-Péter.

Triceratium (*Tripes Cleve* var.?) **microtis** Grun. tab. 27, fig. 254, ^{600/1}. *Triceratii Tripodis* simmillimum, differt appendiculis brevissimis ocelliformibus.

Kékkö, (A. Grunow).

Forma: **quadriocellata** Pant. Appendiculis 4, ocelliformibus.

Szakal.

Triceratium Möllerii nov. spec. tab. 6, fig. 47, ^{827/1}. Triangularis convexa, lateribus rectis, angulis obtusis rotundatis; stromatibus subtiliter punctatis, punctis in lineas rectas et decussatas dispositis; structura granulata, granulis ($2\frac{2}{3}$ — $3\frac{1}{3}$ in 0·01 mm.) magnis papillosis, in centro laxioribus, ad marginem in lineas arcuatas dispositis. — Altitudo valvae 0·0472—0·1035 mm.; longit. lateris 0·0525—0·1095 mm.

Szent-Péter.

Dem berühmten Präparator *J. D. Möller* in *Wedl* (Holstein) gewidmet.

Triceratium (*muricatum Brightw.* var.?) **nudum** nov. spec. tab. 4, fig. 38, ^{840/1}. Triangularis convexa; lateribus leviter concavis; appendiculis crassis; structura areolata, areolis ($1\frac{1}{4}$ —2 in 0·01 mm.) radiantibus polygonis cohaerentibus, structura subtiliori parentibus. — Altitudo 0·066 mm., longitudo lateris 0·081 mm.

Szent-Péter.

Triceratium obscureum Grev. T. M. S. 1861, pg. 76, tab. 9, fig. 8; A. Schm. Atlas tab. 76, fig. 5.

Szent-Péter.

Triceratium Pantocsekii A. Schm. Atlas tab. 93, fig. 9. — Valvis 3, 5, 6 angularibus, convexis; lateribus rectis, leviter convexis aut leviter concavis; appendicibus validis. Structura dupli, superiore areolata, areolis cohaerentibus, papillosis, 5, 6-gonis, in lineas cum margine parallelas et radiantes ordinatis, inferiore punctata, punctis crassis, jam ab lentibus majori cum distanca foci ex gr. $\frac{1}{4}$ " resolventibus, in lineas radiantes ordinatis; margine fimbriato.

Forma: genuina A. Schm. Atlas tab. 93, fig. 9; tab. nostra 4, fig. 34, ⁵⁴⁷/₁; 34a. ¹¹³³/₁. Triangularis, lateribus rectis. Altitudo 0·085—0·25 mm.; longitudo lateris 0·095—0·29 mm.; areolae $1\frac{1}{4}$ — $1\frac{1}{2}$ in 0·01 mm.

Bajtha, Kékkő, Mogyorod, Szakal, Szent-Péter, Felső-Esztergály.

Forma: convexa Pant. tab. 5, fig. 40, ⁵⁴⁷/₁, 40a. ¹¹³³/₁. Triangularis maxime convexa; lateribus convexis. — Altit. 0·12—0·14 mm.; longit. lateris 0·125—0·145 mm.; areolae 0·006—0·0075 mm. altæ.

Kékkő, Szakal, Szent-Péter.

Forma: pentagona Pant. tab. 4, fig. 36, ¹³⁴/₁ 36a. ¹¹³³/₁. Lateribus rectis aut leviter convexus; gonis rotundatis; appendiculis dilatatis crassis 0·007 mm. altis, 0·02 mm. latis rotundis; areolis magnis papillosis (1— $1\frac{1}{2}$ in 0·01 mm.); punctis crassis; margine subtiliter punctato et fimbriato. — Altitudo 0·19 mm.; longitudo lateris 0·13 mm.

Kékkő, Szakal, Szent-Péter.

Forma: hexagona Pant. tab. 4, fig. 37, ⁴¹³/₁ 37a. ¹¹³³/₁. — Lateribus rectis aut leviter concavis; angulis leviter productis, rotundatis; appendiculis crassis rotundis 0·009 mm. altis, 0·01 mm. latis; areolis magnis papillosis (1 in 0·01 mm.); punctis robustis; margine subtiliter punctato et fimbriato. Altitudo 0·196 mm.; latit. valvae 0·2275 mm.; longit. lateris 0·1085 mm.

Szent-Péter.

Triceratium? polygibbum nov. spec. tab. 5, fig. 44, ⁶⁶⁸/₁. Rotundatum, margine undulato 8—10 gibbo; gibbis 0·009—0·012 mm. altis, 0·0016 mm. latis, rotundatis, densius et subtiliter punctatis; centro irregulariter et disseminate punctato. Diamet. 0·067—0·072 mm.

Élesd.

Probabiliter forma polygibba Terpsinoë americana, sed adhuc latus primarium non observavi.

Triceratium repletum Grev. var. **balearica** Grun. Van H. Synops. tab. 110 fig. 7.

Szent-Péter.

Triceratium radiato-punctatum A. Schm. Atlas tab. 94, fig. 14; tab. nostra 5, fig. 42a. ⁶⁴⁶/₁; b. ⁸²⁷/₁; 43 ⁴⁰⁰/₁.

Kékkő, Szakal, Szent-Péter.

Probaliter varietas Triceratii madagascarensis Grun.

Triceratium Solenoceros Ehrbg. — A. Schm. Atlas tab. 77, fig. 21; tab. nostra 28, fig. 286, ⁶⁵³/₁.

Szent-Péter.

Triceratium spinosum Bail. Sill. Jour. Dec. 1843, pg. 139, tab. 3, fig. 12; Pritch. Inf. pg. 853, tab. 6, fig. 9; A. Schm. Atlas tab. 87, fig. 2, 3, 7; — Triceratium setigerum Bail. Smits. Contrib. 1854, New. Spec. pg. 11, fig. 26.

Szakal, Szent-Péter, Dolje.

Triceratium Stockesianum Grev. T. M. S. 1866, pg. 8, tab. 2, fig.

23; Cleve in J. Q. M. Cl. 1885, pg. 169, tab. 12, fig. 5; tab. nostra 10, fig. 87a-b. ^{413/1}.

Bajtha, Felső-Esztergály, Kékkő, Mogyorod, Szakal, Szent-Péter.

Triceratium (balearicum Clev. Grun. var.?) **Sturtii** nov. spec. tab. 22, fig. 194, ^{827/1}. — Valvis quadrigonis zona hyalina cinctis; lateribus leviter concavis; appendicibus robustis elongatis; structura punctata; punctis (5 in 0·01 mm.) in lineas radiantes ordinatis, in centro elevato laxioribus. Inter centrum et angulis cum fascia opaca, figuram quadrigonam constitente. Longit. lateris 0·06 mm.

Szent-Péter.

Dem Bearbeiter der Oamaru Bacillarien Herrn G. Sturt in London gewidmet.

Triceratium szakalense nov. spec. tab. 5, fig. 45, ^{840/1}; tab. 28, fig. 272, ^{827/1}. Valva triangularis; lateribus leviter concavis, angulis rotundatis, stromatibus laevibus; structura granulata, granulis (4 in 0·01 mm.) rotundis, papillosis, in lineas radiantes ordinatis, in centro elevato laxioribus, cum spinulis parvis intermixtis; altitudo 0·055 mm., longit. lateris 0·0638 mm.

Szakal.

Triceratium tesselatum Grev. T. M. S. 1861, pg. 71, tab. 8, fig. 14; A. Schm. Atlas tab. 76, fig. 33; Cleve J. Q. M. Cl. pg. 170, tab. 12, fig. 7.

Szent-Péter.

Triceratium Thumii A. Schm. Atlas tab. 93, fig. 2; tab. nostra 5, fig. 39, ^{300/1}; 39a. ^{1133/1}.

Kékkő, Szent-Péter.

Triceratium trisulatum Bail. in Pritch. Inf. pg. 854, tab. 8, fig. 24; A. Schm. Atlas tab. 78, fig. 5—8, tab. 112, fig. 17, 18.

Kékkő, Szakal, Szent-Péter.

Var. **hungarica** Pant. tab. 10, fig. 91a-b. ^{413/1}. Lateribus concavis 0·08—0·18 mm. longis, altitudo valvae trigonae 0·06—0·15 mm.; stromatibus magnis, elevatis dense punctatis; centro disseminate punctato.

Kékkő, Szakal, Szent-Péter.

Triceratium (Ditylum) **undulatum** Ehrbg.; Bright. M. J. 1853, pg. 250, tab. 4, fig. 13; Weisse Simbirsk 1854, tab. 1, fig. 9; Pritch. Inf. pg. 855; Van H. Synops. tab. 126, fig. 7; tab. nostra 18, fig. 164, ^{827/1}.

Kékkő, Szent-Péter.

FAMILIA AULACODISCEAE.

AULISCUS EHRBG.

Auliscus coelatus Bail. Smiths. Contr. 1854 pg. 6, fig. 3—4; Grev. T. M. S. 1863, pg. 44, tab. 2, fig. 4—7; A. Schm. Atlas tab. 32, fig. 14, 15; Leudg. Fortm. Diat. Ceyl. pg. 63, tab. 7, fig. 68; tab. nostra 19, fig. 173, ^{413/1}. — Auliscus Gigas Ehrbg. A. Schm. Atlas tab. 67, fig. 11.

Felső-Esztergály, Kékkő, Szent-Péter, Dolje.

Forma: **triocellata** Pant. tab. 28; fig. 279, $\frac{413}{1}$. Ocellis tribus; area centrali laevi, cordata. Diameter 0·0645 mm.

Szent-Péter.

Auliseus confluens Grun. A. Schm. Probetaf. fig. 1; Atlas tab. 31, fig. 16; tab. 67, fig. 4.

Kékkő, Szakal, Szent-Péter.

Auliseus (confluens Grun. var.?) **Hauckii** nov. spec. A. Schm. Atlas tab. 108, fig. 8, 9; tab. nostra 30, fig. 304, $\frac{420}{1}$. — Valva rotunda, duabus ocellis magnis (0.017—0·018 mm. in diametro). Area centralis laevis rotunda, magna. Structura striata; striis validis asperibus, arcuate dichotomis, ad marginem simplicibus, radiantibus. Tota valva guttis magnis tecta. Diamet. 0·077—0·0913 mm.

Kékkő, Szakal, Szent-Péter.

Dem berühmten Algologen Dr. F. Hauck in Triest gewidmet.

Auliseus Grunowii A. Schm. Atlas tab. 30, fig. 15; tab. nostra 29, fig. 293, $\frac{420}{1}$. Valva rotunda, duabus ocellis magnis; area centrali, laevi parva. Structura striata, striis asperibus, ad ocellos arcuatis, ceteris radiantibus, ad medium valvae plica panduriformi sublaevis interruptis. Diameter valvae 0·0915—0·124 mm., ocellorum 0·025—0·033 mm.

Szakal.

Auliseus moronensis Grev. T. M. S. 1864, pg. 83 tab. 11, fig. 6; A. Schm. Atlas tab. 32, fig. 4; tab. nostra 19, fig. 172, $\frac{547}{1}$.

Kékkő, Szakal, Szent-Péter.

Auliseus Normanianus Grev. T. M. S. 1864 pg. 82, tab. 11, fig. 11; A. Schm. Atlas tab. 32, fig. 3, tab. 67, fig. 5; tab. nostra 30, fig. 314, $\frac{420}{1}$.
Szakal.

Auliseus pruinosus Bail. Smithson. Contr. 1854, pg. 5, fig. 5—6; Grev. T. M. S. 1863, pg. 48, tab. 3, fig. 13; A. Schm. Atlas tab. 31, fig. 6—15.

Szakal.

Auliseus pulvinatus Clev. J. Q. M. Cl. 1885, pg. 171, tab. 13, fig. 9; A. Schm. Atlas tab. 108, fig. 4—6; tab. nostra 19, fig. 174, 175, 177.

Forma: **appiculata** Pant. tab. 19, fig. 177, $\frac{827}{1}$. Margine appiculato; lineis punctarum laxioribus; ocellis 2, 3.

Forma: **inermis** Pant. tab. 19, fig. 174, 175, $\frac{547}{1}$. Margine appiculis deficiente; lineis punctarum densioribus ocellis 2, 3.

Felső-Esztergály, Kékkő, Szakal, Szent-Péter.

Auliseus sculptus Ralfs in Pritch. Inf. pg. 845, tab. 6, fig. 3; Grev. T. M. S. pg. 43, tab. 2, fig. 1—3; Janisch. Guano pg. 163, tab. 1, fig. 5; tab. 2, fig. 10; Janisch Honduras pg. 5, tab. 3, fig. 9; A. Schm. Atlas tab. 30, fig. 8; tab. 32, fig. 21, 22; Leudg. Fortm. Diat. Ceyl. pg. 62, tab. 7, fig. 66, 67; Van H. Synops. tab. 111, fig. 1, 2; Aulacodiscus sculptus Bail. M. J. 1860, pg. 95, tab. 5, fig. 5; — Eupodiscus sculptus W. Sm. Br. Diat. I. pg. 25, tab. 4, fig. 42.

Bajtha, Élesd, Felső-Esztergály, Kékkő, Mogyorod, Szakal, Szent-Péter, Dolje.

Auliseus Stoeckhardtii Janisch Guano pg. 163, tab. 1, fig. 4; A. Schm. Atlas tab. 30, fig. 11—13; — **Auliseus racemosus** Ralfs in Grev. Monogr. Aulac. T. M. S. 1863, pg. 46, tab. 2 fig. 9.

Szent-Péter.

AULACODISCUS EHRBG.

Aulacodiscus affinis Grun. A. Schm. Atlas tab. 34, fig. 9.

Szent-Péter.

Aulacodiscus amoenus Grev. var. **hungarica** Pant. tab. 2, fig. 13, $5^{00}/_1$. Diamet. 0·035—0·14 mm. Appendiculi 7—11; vallus intraappendicularis polygonus. Rimae radiantes, area centralis rotunda laevis. Structura punctata, puncti papillosi ad rimas in lineas radiantes, ceteris in lineas subrectas et in lineas tortas ordinatis. Punctis centro majoribus laxioribus (3 in 0·01 mm.), ad marginem minoribus densioribusque (5—6 in 0·01 mm.). Cum corona punctorum majorum distantiorum intramarginali.

Szent-Péter.

Aulacodiscus Argus (Ehrbg.) Pant. **Eupodiscus Argus** et **germanicus** Ehrbg. Kreidethier. pg. 79, tab. 3, fig. 6a-b. **Eupodiscus Argus** W. Sm. Br. Diat. I. pg. 24, tab. 4, fig. 39; Pritch. Inf. pg. 843, tab. 6, fig. 2, tab. 11, fig. 41, 42; Janisch Guano pg. 7, tab. I. B. fig. 2; O'Meara Ir. Diat. pg. 269, tab. 27, fig. 3; Van H. Synops. tab. 117, fig. 3—6; A. Schm. Atlas tab. 92, fig. 7—11; tab. 107 fig. 4.

Kékkő.

Aulacodiscus (angulatus Grev. var.?) **hungaricus** nov. spec. tab. 25, fig. 231, $4^{13}/_1$. A. Schm. Atlas tab. 105, fig. 7. — Valvis rotundis, lobato-pliatis; centro elevato; appendiculis 8—10 minoribus, area parva laevi cinctis; seriebus duabus punctorum a centro laevi appendiculoquoque versus radiantibus; punctis ceteris in lineas parallelas dispositis, centralibus majoribus ($3^{1}/_2$ in 0·01 mm.) papillosis, ad marginem decrescentibus ($4^{1}/_2$ in 0·01 mm.), hic minimis ($5^{1}/_2$ in 0·01 mm.). Punctis ad appendiculos sitis obliquis; margine subtiliter striolato. Diamet. 0·14—0·26 mm.

Aulacodiscus angulatus Grev. secundum iconem in T. M. S. 1863, tab. 4, fig. 15 reredit lineis punctarum radiantibus.

Kékkő, Szent-Péter.

Aulacodiscus Chasei nov. spec. tab. 29, fig. 294, $4^{20}/_1$. Valva rotunda centro elevato concavo quinquegono; plicis marginalibus horizontalibus; linea intramarginali circulari crassa; appendicibus 5 area laevi in rimas transiente cinctis; rimis profundis radiantibus usque ad aream centralem laevem percurrentibus; structura punctata, punctis papillosis, medio valvae majoribus, ad marginem decrescentibus ($4—6^{1}/_2$ in 0·01 mm.), ad rimas in lineas radiantes, ceteris in lineas longitudinales parallelas et transversales dispositis. Diameter valvae 0·087 mm.

Szakal.

Ab *Aulacodiscus Lunyacekii* jam dispositione punctorum evidentius discernendus.

Herrn Dr. H. Chase in *New-York* dem Verfasser des Catalogue of the Diatomaceae gewidmet.

Aulacodiscus (*margaritaceus* Ralfs var.?) **Debyi** nov. spec. tab. 25, fig. 226, $\frac{413}{1}$. Valva nigricans, rotunda, convexa; margine cingulo laevi et punctis minoribus ornatus; appendiculis 6 validis, a margine distantioribus, areis laevibus in rimas profundas radiantes transientes cinctis. Structura areolata, areolis hexagonis papillosis in centro et superiore parte valvis majoribus ($2\frac{3}{4}$ in 0·01 mm.) ad marginem (4 in 0·01 mm.) decrementibus, omnibus in lineas radiantes ordinatis; area centrali parva laevi. — Diameter 0·326 mm.

Szent-Péter.

Aulacodiscus Habirshawii nov. spec. tab. 29, fig. 296, $\frac{223}{1}$. Rotundus, nigracans, ad peripheriam corona punctorum minutissimorum et striolarum subtilissimum cinctus, concavis, ad marginem inter appendiculis plicatus; appendiculis 5 area laevi in rimam radiantem transiente cinctis; area centrali laevi rotunda; structura punctata, punctis centro distantioribus ($2\frac{1}{2}$ in 0·01 mm.), marginem versus densioribus (4 in 0·01 mm.), omnibus in lineas radiantes longiores et breviores discurse tortas et vibratas ordinatis. Diamet. 0·221 mm.

Kékkő, Szakal, Szent-Péter.

Herrn Frederick Habirshaw Verfasser des Catalogue of the Diatomaceae in *New-York* gewidmet.

Aulacodiscus hyalinus nov. spec. tab. 1, fig. 5, $\frac{380}{1}$. Valvis hyalinis translucentibus subconvexis; appendiculis minoribus 9, a margine distantioribus areis laevibus circumdatis; area centrali parva laevi, seriebus duarum punctorum a centro appendiculoloquoque verryus radiantibus, punctis ceteris in lineas subradiantes et discurse tortas et vibratas ordinatis (3, 4, $5\frac{1}{2}$ in 0·01 mm.), omnibus papillosis; margine subtiliter striolato. Diameter 0·2235 mm.

Szent-Péter.

Aulacodiscus Grunowii Cleve J. Q. M. Cl. 1885, pg. 171, tab. 12, fig. 8. *Aulacodiscus Kinkerianus* E. S. Nott in Walker, Chasse N. R. Diat. 1886, pg. 3, tab. 1, fig. 9. — Valvis rotundatis nigricantibus, convexis, subconvexis, ad appendiculos lobato plicatis; centro elevato; margine subtiliter striolato; appendiculis robustis 5—13 areis laevibus circumdatis, areis in rimas profundas radiantes usque ad aream centralem laevim percurrentibus, textura duplice, superiore reticulata squamosa, inferiore punctata; punctis crassis, papillosis, medio majoribus, distantioribus, ad marginem densioribus minoribus, in lineas radiantes et discurse tortas et vibratas dispositis. Diamet. 0·12—0·27 mm. Distinguendum:

Forma: **genuina** tab. 11, fig. 93, 95, $\frac{413}{1}$. A. Schm. Atlas tab. 107, fig. 1, 2, Structura valvae reticulato-squamosa tantum ad plicas visibilis; margine subtiliter striolato et dentato.

Bajtha, Kékkő, Mogyorod, Szakal, Szent-Péter.

Forma: **subsquamosa** tab. 1, fig. 3, $\frac{500}{1}$; tab. 12, fig. 100, $\frac{413}{1}$.

A. Schm. Atlas tab. 92, fig. 1. Structuram reticulato-squamosam carente, tantum in centro areolis paucis indicata; margine subtiliter striolato, dentato-crenato.

Kékkő, Szakal, Szent-Péter.

Forma: **squamosa** tab. 1, fig. 4, $^{413}/_1$. Tota valva squamoso-reticulata.

Szent-Péter.

Forma: **punctata** tab. 12, fig. 102, $^{413}/_1$. Structuram reticulato-squamosam deficiente, plicis late et profunde lobatis; margine subtiliter striolato.

Szakal.

Aulacodiscus Lunyacsekii nov. spec. Valva circularis, ad marginem maxime elevata, plicato-crenata; appendicibus crassis 5—9—30 area laevi cinctis; rimis radiantibus brevibus; structura punctata; punctis papillosis, ad marginem decrescentibus minoribus, in lineas radiantes et discourse tortas et vibratas ordinatis; margine cingulo punctorum distantium ornato; area centralis magna laevis. Discernenda:

Forma: **minor** tab. 1, fig. 2, $^{500}/_1$; tab. 25, fig. 229, $^{413}/_1$. Diameter 0·13—0·15 mm.; plicis profundioribus et majoribus; rimis distinctioribus.

Forma: **maxima** tab 2, fig. 9, 10, $^{500}/_1$, tab. 25, fig. 225, $^{413}/_1$. Diameter valvae 0·2—0·48 mm. appendiculis usque ad 30 validis; plicis minoribus undulatis; rimis haut conspicuis.

Kékkő, Szakal, Szent-Péter.

Aulacodiscus neogradensis nov. spec. tab. 25, fig. 227, $^{413}/_1$. Valvis rotundis, vallo elevato polygono ornatis, dentato plicatis, plicis dilatatis; appendiculis 4—9 robustis area laevi cinctis; rimis ab areis appendicularibus ortis profundis, ad aream centralem laevim currentibus; structura punctata, punctis papillosis (4—6 in 0·01 mm.), ad marginem decrescentibus, ad rimas in duabus lineas radiantes ordinatis, ceteris in lineas parallelas dispositis; margine subtiliter punctulato et striolato. Diameter 0·15—0·21 mm.

Kékkő, Szent-Péter.

Aulacodiscus polygonus Grun. tab. 26, fig. 236, $^{600}/_1$. Valvis polygonis, inter angulos obtusissimos subconcavis, appendiculis minoribus submarginalibus (12 in specimine unico observato) seriebus duabus punctarum a centro appendiculo quoque versus radiantibus, punctis ceteris in lineas parallelas dispositis haud concentricis omnibus circulo parvo circumdati, in media parte deficientibus, valva ubique inter punctos majores minute irregulariter granulata, concentrica undulato plicata. Diameter 0·182 mm., series punctorum 4— $4\frac{1}{2}$ in 0·01 mm.

Szent-Péter. (A. Grunow).

Observavi hanc praeclaram speciem etiam in strato tertiaro Oamaru Novae Seelandiae Australiae.

Var. **polygibba** Grun. tab. 26, fig. 237, $^{600}/_1$. Valvis inter angulos magis prominentes concavis, plica marginali latiore, appendiculis 10. — Diameter 0·18 mm.

Szent-Péter. (A. Grunow).

Aulacodiscus reticulatus nov. spec. tab. 1, fig. 1, $^{413}/_1$. A. Schm. Atlas tab. 102, fig. 7. Valvis rotundatis, appendiculis minoribus (8 in unico specimine observato) area magna laevi in rima radiante profunda transiente cinctis; structura duplex, superiore magne-reticulata, inferiore punctata; punctis 4— $6^{1}/_2$ in 0·01 mm. grossis, papillosis in lineas radiantes ordinatis, ad marginem minoribus; area centralis laevis, magna; margine erroso, grosse-punctato, punctis distantioribus et striolato. Diamet. 0·178 mm.

Kékkő, Szakal, Szent-Péter.

Aulacodiscus (neogradensis Pant. var.?) **subangulatus** nov. spec. tab. 2, fig. 11, $^{500}/_1$; tab. 28, fig. 276, $^{653}/_1$. A. Schm. Atlas tab. 105, fig. 8. — Ab Aulacodisco neogradensi recedit areis ad appendiculos sitis et area centrali granulosis; valvis minus conspicue plicatis. Appendiculi 6—8. Diameter 0·12 mm.

Kékkő, Szent-Péter.

Aulacodiscus Archangelskianus O. Witt. Polirsch. von Archang. 1885, pg. 18, tab. 6, fig. 11, 12; A. Schm. Atlas tab. 101, fig. 7—9; tab. nostra 10, fig. 83; $^{413}/_1$.

Per insignis haec species in strato tertiaro prope Archangelsk-Kurojedowo in gubernio Simbirsk Rossiae europeae sat frequentur occurrit.

Aulacodiscus septus A. Schm. forma: **quatuor radiata** Pant. tab. 10, fig. 84, $^{827}/_1$. — Appendiculis 4. — Diamet. 0·081 mm.; punctis 4 in 0·001 mm.

Ex strato tertiaro Archangelsk-Kurojedowo.

CRASPEDOPORUS GREV.

Craspedoporus Truanii nov. spec. tab. 11, fig. 92, $^{827}/_1$. Valvis rotundis, ad marginem cum appendiculis 7—14 ocelliformibus. Discus inter appendiculos lobato-plicatus, ad centrum elevatus, inde cum vallo asteriscoideo angulo-lobato ornatus, in cuius angulis appendiculi siti sunt. In centro valvae uti in Aulisco pulvinato subtilissime punctata; punctis in lineas tortas subradiantes ordinatatis, ad plicas cum textura squamosa. Diameter 0·04—0·15 mm.

Szakal, Szent-Péter. Etiam in strato tertiaro Archangelsk-Kurojedowo.

Var. **squamosa** Pant. Structura duplice, superiore squamosa, inferiore subtiliter punctata.

Szakal.

FAMILIA HELIOPELTEAE.

ACTINOPTYCHUS EHRBG.

Actinoptychus amblyoceros (Ehrbg.) A. Schm. Atlas tab. 1, fig. 25, tab. 76, fig. 3, 28; — *Triceratitium amblioceros* Ehrbg. Mikrogeol. tab. 18, fig. 51; *Tric. marylandicum* Brigh. M. J. 1856, pg. 275, tab. 17, fig. 17; tab. nostra 13, fig. 110, $^{827}/_1$.

Felső-Esztergály, Kékkő, Szakal, Szent-Péter.

Actinoptychus areolatus (Ehrbg.) A. Schm. Atlas tab. 1, fig. 9; —

Omphalopelta areolata Ehrbg. Mikrogeol. tab. 35 A. 18, fig. 12, tab. 33, 13, fig. 17; Van H. Synops. tab. 122, fig. 2.

Felső-Esztergály, Kékkő.

Actinoptychus bifrons A. Schm. tab. 90, fig. 6; tab. nostra 7, fig. 59, ^{827/1}. Segmentis primariis (elevationibus) appendiculatis, densius punctatis punctis minoribus 16—18 in 0·01 mm.; segmentis secundariis (depressionibus) punctis majoribus (12 in 0·01 mm.). Punctis in lineas rectas et decussatas dispositis. Diameter 0·08—0·13 mm.

Élesd, Felső-Esztergály, Kékkő, Mogyorod, Szakal, Szent-Péter.

Actinoptychus boliviensis Janisch. A. Schm. Atlas tab. 1, fig. 23, tab. 29, fig. 9, tab. 109, fig. 13.

Kékkő, Szakal, Szent-Péter.

Actinoptychus Clevei A. Schm. Atlas tab. 91, fig. 1.

Kékkő, Szakal, Szent-Péter.

Actinoptychus dilatatus nov. spec. tab. 13, fig. 112, ^{517/1}. Grunow eum tantum pro forma magna A. brifrontis habet, sed ab illo distinguendus appendiculis intramarginalibus majoribus, crassioribus et furcatis; punctis minoribus densioribusque (14 et 19 in 0·01 mm.); margine subtiliter punctato et striolis validis disseminatis tecto; centro sinuato laevi. Diamet. 0·15—0·18 mm.

Kékkő, Szakal, Szent-Péter.

Actinoptychus gemminus A. Schm. Atlas tab. 91, fig. 6, 7.

Kékkő, Szakal, Szent-Péter.

Actinoptychus Gründlerii A. Schm. Atlas tab. 1, fig. 22; tab. 100, fig. 3, 4; tab. nostra 12, fig. 106, ^{440/1}.

Nostra figura recedit a figuris in Atlas citatis, areis ancoriformibus minus conspicuis, granulis majoribus disseminatis tectis. Diamet. 0·1—0·012 mm.

Kékkő, Szakal, Szent-Péter.

Actinoptychus Heliopelta (Ehrbg.) Grun. Van H. Synops. tab. 123, fig. 3; A. Schm. Atlas tab. 109, fig. 2; — *Heliopelta Eulerii* et *Leeuwenhoekii* Ehrbg. Mikrogeol. tab. 33, 18, fig. 5, 6.

Bajtha, Szakal.

Actinoptychus hungaricus nov. spec. tab. 21, fig. 187, ^{827/1}. Valva hexagona; centro sinuato laevi; segmentis 6 cuneiformibus plicatis; regulis 6 elevatis radiantibus; structura punctata, punctis in lineas rectas et obliquas (11 in 0·01 mm.) dispositis. Diamet. 0·0704 mm.

Szent-Péter.

Actinoptychus intermedius A. Schm. Atlas tab. 91, fig. 2! non tab. 91, fig. 3, et tab. 109, fig. 12.

Kékkő, Mogyorod, Szent-Péter.

Actinoptychus Janischii Grun. Van H. Synops. tab. 122, fig. 6; *Halionyx vicenarius* Ehrbg. Janisch Guano pg. 10, tab. 1, fig. 2; tab. nostra 16, fig. 143, ^{827/1}.

Bajtha, Kékkő, Szakal, Szent-Péter.

Actinoptychus kymatodes nov. spec. tab. 23, fig. 213, ⁵¹⁷/₁. Valva rotunda, a regulis 6 elevatis radiantibus, in segmenta 6 cuneiformia, cum appendiculo intramarginali armata, divisa. Area centralis asterioidea, sinuata, laevis. Segmenta undulato plicata. Structura punctata, puncta in lineas rectas et obliquas (12 in 0·01 mm.) ordinata. Margo subtiliter punctatus. Diamet. 0·092—0·1 mm.

Élesd, Felső-Esztergály, Kékkő, Szakal, Szent-Péter.

Actinoptychus leptomitos nov. spec. tab. 21, fig. 189, ⁸²⁷/₁. Valvis rotundatis; regulis 6 radiantibus; segmentis 6 cuneatis, appendiculatis; appendiculis 6 intramarginalibus; area centrali hexagona laevi; structura punctata duplice, inferiori subtiliori (22 puncta in 0·01 mm.) quam superiori (15 puncta in 0·01 mm.); punctis in lineas rectas et obliquas ordinatis. Diamet. 0·06—0·076 mm.

Dolje.

Actinoptychus moronensis (Grev.) Clev. J. Q. M. Cl. 1885 pg. 172; *Omphalopelta moronensis* Grev. T. M. S. 1866, pg. 122, tab. 11, fig. 14.

Bajtha, Élesd, Alsó-, Felső-Esztergály, Kékkő, Mogyorod, Szakal, Szent-Péter, Dolje.

Actinoptychus neogradensis nov. spec. tab. 7, fig. 55, ⁸¹⁰/₁. Valvis rotundato-triangularibus, a regulis 6 radiantibus subprominentibus, ad marginem cum areola laevi rotunda notatis, in segmenta 6 divis; segmentis cuneatis plieatis; primariis cum appendiculo intramarginali armatis; centro triangulato obtuso laevi. Structura punctata; punctis in lineas rectas et obliquas dispositis, in elevationibus densioribus (16 in 0·01 mm.), quam in depressionibus (13 in 0·01 mm.). Margo 0·007 mm. altus, subtiliter punctatus (punctis 22 in 0·01 mm.) ad summum marginem cum punctis majoribus (10 in 0·01 mm. disseminatis. Diameter 0·10 mm.

Kékkő, Szakal, Szent-Péter.

Actinoptychus Pantosekii Truan. tab. 7, fig. 54, ⁶⁴⁷/₁. Valvis rotundatis; regulis 6 radiantibus elevatis, ad marginem areola rotundata laevi notatis; segmentis 6 cuneiformibus; appendiculis 6 intramarginalibus fureatis; area centrali magna laevi rotunda medio cum poro centrali notata; structura punctata duplice; superiori grossiori (10 puncta in 0·01 mm.) quam inferiori (puncta 14 in 0·01 mm.); punctis in lineas rectas et obliquas dispositis. Struetura superior stromata triangularia segmenti breviora et angustiora formans. Margo 0·005 mm. altus, subtiliter punctatus. Diamet. 0·12 mm.

Szent-Péter.

Actinoptychus punctulatus nov. spec. tab. 8, fig. 60, ⁸⁴⁰/₁. Actinoptychus intermedius A. Schm. Atlas tab. 91, fig. 3!, tab. 109, fig. 12!, non tab. 91, fig. 2. — Valvis rotundatis, segmentis cuneiformibus 6; area centrali laevi magna rotundata; elevationibus cum appendiculo intramarginali vestitis; depressionibus ad marginem cum area laevi ancoriformi cinctis; structura punctata; punctis (9 in 0·01 mm.) in lineas rectas et obliquas dispositis; in depressionibus, etiam cum punctis majoribus nigriscentibus distantioribus, in lineas longitudinales et transversales dispositis. Margine grosse-striolato, cum granulis majoribus disseminatis cincto. Diameter 0·1—0·126 mm.

Szakal, Szent-Péter.

Actinoptychus reticulatus nov. spec. tab. 7 fig. 58, ⁸⁴⁰/₁. Orbicularis; segmentis 6 cuneiformibus; primariis elevatatis appendiculatis et radio laevi segmentum usque ad aream centralem pereurente divisus; regulis 6 radiantibus prominentibus, ad verticem cum areola parva laevi; structura punctata et reticulata cruciata; punctis (12 in 0·01 mm.) in lineas longitudinales et obliquas ordinatis, lineis nigricantibus areolatis et cruciformibus interruptis. Diameter 0·09—0·12 mm.

Szakal.

Actinoptychus splendens Shabdt. Pritch. Inf. pg. 840; Van H. Synops. tab. 119, fig. 1, 2, 4; Halionyx undenarius et bisenarius Ehrbg.; Janisch Guano tab. 1, fig. 1, tab. 1 A. fig. 6; tab. nostra 16, fig. 140, ⁸²⁷/₁.

Bajtha, Élesd, Alsó-, Felső-Esztergály, Kékkő, Mogyorod, Szakal, Szent-Péter, Dolje.

Forma: **partita** Pant. tab. 16, fig. 144, ⁸²⁷/₁. Lineae punctorum in segmentis inter marginem et area centrali, fascia circulari laevi interruptis.

Szent-Péter.

Abnormitas: **bicentralis** Pant. Status divisionis abnormalis; individua duo conuata, areis duabus centralibus laevis.

Szent-Péter.

Var. **californica** Grun. Van H. Synops. tab. 120, fig. 1.

Kékkő, Mogyorod, Szakal, Szent-Péter.

Var. **glabrata** Grun. Van H. Synops. tab. 120, fig. 6 pro spec.; tab. nostra 16, fig. 138, ⁸²⁷/₁. Tegmento reticulato deficiente.

Kékkő, Mogyorod, Szakal, Szent-Péter, Dolje.

Forma: **partita** Pant. tab. 16. fig. 145 ⁸²⁷/₁. Valva cum fascia circulari, inter aream et marginem notata.

Szent-Péter.

Var. **Halionyx** Grun. Van H. Synops. tab. 119, fig. 3, tab. 120, fig. 2, 3.

Bajtha, Élesd, Alsó-, Felső-Esztergály, Kékkő, Mogyorod Szakal, Szent-Péter, Dolje.

Var. **nicobarica** Grun. Van H. Synops. tab. 120, fig. 4.

Felső-Esztergály, Kékkő, Szakal, Szent-Péter.

Var. **nobilis** Pant. tab. 16, fig. 147, ⁴¹³/₁. Segmentis 20 cuneatis, primariis 10, cum appendiculo intramarginali vestitis et radio laevi totum segmentum pereurente, in area centrali linea nigricante transiente; area centralis permagna, medio circulo parvo et lineis 10 obscuris notata; segmentis secundariis brevioribus, area lata laevi a margine divisus. Diameter 0·22 mm.

Szent-Péter.

Var. **subglabrata** Grun.

Szent-Péter.

Actinoptychus Stella A. Schm. Atlas tab. 40, fig. 1, 2.

Bajtha, Felső-Esztergály, Kékkő, Mogyorod, Szakal, Szent-Péter.

Var. **Thumii** A. Schm. Atlas tab. 90, fig. 3—5, tab. 100, fig. 6; tab. nostra 8, fig. 65, ⁶¹⁰/₁. Recedit ab Actinopticho moronensi Clev. radiis laevi-

bus, et segmentis secundaris plica laevi furcata in aream intramarginalem laevem transiente; ornatis segmentis secundariis plica laevi furcata, in aream centralem et intramargiualem laevem transiente ornatis.

Bajtha, Felső-Esztergály, Kékkő, Mogyorod, Szent-Péter.

Actinoptychus Sturii nov. spec. tab. 8, fig. 61, ⁶⁶⁸/₁. Valva circularis, segmentis (in specie unico) 12, cuneatis, primariis cum appendiculo intramarginali vestitis et radio laevi in aream laevem centralem transiente divisus, disseminate-punctatus, ad marginem subtiliter densius punctatus, punctis in lineas rectas et decusatas ordinatis; segmentis secundariis brevioribus, a margine area magna quadrangulari (0·008 mm. alta) laevi divisus, ceterum disseminate punctatus. Diamet. 0·1 mm.

Szent-Péter.

Herrn Dr. *Dionysius Stur* Director der k. k. geologischen Reichsanstalt zu Wien gewidmet.

Actinoptychus Szabói nov. spec. tab. 8 fig. 64, ⁸¹⁰/₁. Valvis rotundatis; segmentis cuneatis 6; primariis cum appendiculo intramarginali ornatis, concavis, punctis densioribus (24 in 0·001 mm.) tectis; secundariis convexis, eum punctis remotioribus (20 in 0·01 mm.); punctis in lineas longitudinales et obliquas arcuatas dispositis; area centrali magna laevi. Diamet. 0·035—0·05 mm.

Szakal, Szent-Péter.

Actinoptychus Truanii A. Schm. tab. 109, fig. 14, 15. Diamet. 0·1265 mm. Series punctorum in elevationibus $10\frac{2}{3}$ in 0·01 mm., in depressionibus $9\frac{1}{3}$ in 0·01 mm.

Forma: **trivittata** Pant. tab. 7, fig. 57, ⁸¹⁰/₁. Minor, margine distincto corona striolarum (8 in 0·01 mm.) validiorum cineto; segmentis primariis appendiculatis, et radio laevi breviori usque ad aream centralem percurente divisus, punctis densioribus, minoribus ($14\frac{2}{3}$ in 0·01 mm.) in lineas rectas et obliquas ordinatis, vittis tribus transversalibus nigricantibus laevibus interruptis; segmenta secundaria cum punctis majoribus (12 in 0·01 mm.) tecta; ad verticem regularum prominentium cum arcis majoribus laevibus in segmenta secundaria projectis. Diameter 0·09 mm.

Actinoptychus undulatus (Kg.) Ralfs in Pritch. Infuss. pg. 839, tab. 5, fig. 88; A. Schm. N.-See Diat. tab. 3, fig. 29, 30; Atlas tab. 1, fig. 1—6; Van H. Synops. tab. 22^{bis}, fig. 14, tab. 122, fig. 1—4; *Actinoptychus biternarius*, *biternatus* Ehrbg. Mikrog. tab. 18, fig. 20, tab. 35 A. 16, fig. 1 etc.; Janisch Guano pg. 157, tab. I. B. fig. 4; Honduras pg. 3, tab. 3, fig. 12; — *Actinocyclus undulatus* Kg. Bac. pg. 132, tab. 1, fig. 24; Sm. Br. D. I. pg. 25, tab. 5, fig. 43.

Bajtha, Élesd, Alsó-, Felső-Esztergály, Kékkő, Mogyorod, Szakal, Szent-Péter, Dolje.

Actinoptychus Van Heurckii nov. spec. tab. 25, fig. 288, ⁸²⁷/₁. Valva circularis, margine (0·003 mm. alto) cingulo spinularum ornato, spinulae (5 in 0·01 mm.) basi inflatae; segmentis (in specimine unico) 10, cuneatis punctatus; punctis (15 in 0·01 mm.) in lineas longitudinales et obliquas dispositis;

segmentis primariis elevatis, ad aream centralem rotundam laevem radio sublaevi brevi interruptis. Diameter 0·014 mm.

Szent-Péter.

Meinem hochgeschätzten Correspondenten Herrn Professor Dr. H. Van Heurck in *Antwerpen* gewidmet.

Actinoptychus vulgaris Schum. Preuss. Diat. Koenigsb. 1867, pg. 64, Van H. Synops. tab. 121, fig. 7—9.

Kékő, Szakal, Szent-Péter.

Var. **doljensis** Pant. tab. 23, fig. 204, $\frac{827}{1}$. Segmentis primariis ad aream centralem cum rudimento radii laevi. Lineae punctorum, lineis nigricantibus interruptae. Diamet. 0·074 mm.

Dolje.

Var. **neogradensis** Pant. tab. 22, fig. 199, $\frac{827}{1}$. Segmentis primariis et secundariis ad aream centralem cum rudimento radii laevi; punctis in segmentis primariis densioribus (15 in 0·01 mm.) quam in secundariis (12 in 0·01 mm.); punctis in lineas decussatas dispositis; lineae punctorum lineis nigricantibus interruptae. Diamet. 0·064 mm.

Szent-Péter.

Actinoptychus semilaevis Grun. tab. 26, fig. 245, $\frac{600}{1}$. Valvis radiatim 3-plicatis, elevationibus punctis minutis decussatis et punctis nonnullis majoribus irregularibus et appendiculis minutis intramarginalibus ornatis; depressionibus saemilaevibus, peripheriam versus minute decussatim punctatis, aream laevem medianam versus fascia transversa striarum punctatarum subradiantium ornatis. Diamet. 0·043 mm.

In mari prope insulas *Philippines*. (*A. Grunow*).

Grunow ei ob similitudine cum Act. Sturii Pant. commemorat.

DEBYA NOV. GENUS.

Disciformis; margine plano; segmentis tribus, lobatis, maxime convexis, rimis tribus radiantibus, in area centrali trianguli magna profunda sublaevi transientibus; appendiculis tribus intramarginalibus, rimis oppositis; structura duplice reticulata et punctata.

Debya insignis nov. spec. tab. 29, fig. 298 $\frac{223}{1}$. Diamet. 0·15 mm., punctis $9\frac{1}{2}$ in 0·01 mm., in lineas oblique arcuatas et decussatas dispositis.

Szakal.

PSEUDOTRICERATIUM GRUN.

Pseudotriceratum cinnamomeum (Grev.) Grun. Franz-Josefs-Land Diat. pg. 83; Van H. Synops. tab. 126, fig. 1, 2; — **Triceratum cinnamomeum** Grev. T. M. S. 1863, pg. 232, tab. 10, fig. 12.

Felső-Esztergály, Kékő, Szakal, Szent-Péter.

FAMILIA ASTEROLAMPREAE.

MASTOGONIA EHRBG.

Mastogonia Crux Ehrbg. Mikrogeol. tab. 33, 18, fig. 8; Van H. Synops. tab. 83, fig. 1.

Szakal, Szent-Péter.

ASTEROLAMPRA EHRBG.

Asterolampra Marylandica Ehrbg. Abhandlg. Berlin 1844, pg. 16, fig. 10; Grev. T. M. S. 1860, pg. 47, tab. 2, fig. 13, 14; pg. 108, tab. 3, fig. 1—4; 1862, pg. 44, tab. 7, fig. 1—3; Pritch. Inf. pg. 836, tab. 11, fig. 33. — **Asterolampra hexactis** Ehrbg. Abhandlg. Berlin 1873, pg. 148, tab. 9, fig. 1, 2.

Élesd, Szent-Péter, Dolje.

FAMILIA COSCINODISCEAE.

ACTINOCYCLUS EHRBG.

Actinocyclus circumdatus nov. spec. tab. 3, fig. 28, $\frac{500}{1}$. Circularis convexus, structura areolata, areolis hexagonis (5—6 in 0·01 mm.) in lineas radiantes dispositis, ocello intramarginali haud conspicuo; margine striolato (striolis 12 in 0·01 mm.) et spinulis minimis vestito. Diametrum 0·085 mm.

Élesd, Szakal, Dolje.

Actinocyclus Ehrenbergii Ralfs in Pritch. Infus. pg. 834, Van H. Synops. 123 fig. 7.

Bajtha, Élesd, Alsó-, Felső-Esztergály, Kékkő, Mogyorod, Szakal, Szent-Péter, Dolje.

Forma: **minuta** Pant. tab. 30, fig. 310, $\frac{933}{1}$. Valva rotunda convexa; margine striolata; lineis punctarum 4 radiantibus, punctis ceteris in lines parallelas dispositis; (punctis 10 in 0·01 mm.). Diamet. 0·0184 mm.

Szakal.

Actinocyclus Janischii Schum. Koenigsbg. Preuss. Diat. 1867, pg. 66, tab. 3, fig. 80; Van H. Synops. tab. 125, fig. 1.

Felső-Esztergály.

Actinocyclus (moniliformis Ralfs var.?) **knemeides** nov. spec. tab. 11, fig. 98, $\frac{1133}{1}$. Valvis rotundis per radios 8—12 grosse punctatos in septa 8—12 partitis; septis punctatis, punctis irregulariter in lineas decussatas dispositis; margine subtiliter punctato, punctis in lineas decussatas ordinatis; ocello majori intramarginali. Diamet. 0·03—0·05 mm.

Szent-Péter.

Actinocyclus labyrinthicus nov. spec. tab. 3, fig. 27, $\frac{840}{1}$. Valvis rotundis maxime convexis; punctis confluentibus lineas irregulariter tortas formantibus (6—9 in 0·01 mm.); ad peripheriam corona spinularum et striolis decussatis ornatis; ocello intramarginali parvo. Diamet. 0·066 mm.

Szent-Péter.

Actinocyclus Ralfsii (W. Sm.) Pritch. Inf. pg. 835, tab. 5, fig. 84; Van H. Synops. tab. 123, fig. 6. Eupodiscus Ralfsii W. Sm. Br. Diat. II. pg. 86; Eupodiscus sparsus Greg. T. M. S. vol V. pg. 81, tab. 1, fig. 47.

Bajtha, Alsó-, Felső-Esztergály, Kékkő, Szakal, Szent-Péter.

Actinocyclus subtilis (Greg.) Ralfs in Pritch. Infuss. pg. 835; Van

H. Synops. tab. 124, fig. 7, tab. 125, fig. 9, 11; Eupodiscus subtilis Greg. Diat. Clyde pg. 501, tab. 20, fig. 50; tab. nostra 14, fig. 124, $^{1133}/_1$.

Élesd.

Actinocyclus Thumii (Cleve) Pant Coscinodiscus Thumii Cleve in J. Q. M. Cl. 1885, pg. 175, tab. 13, fig. 17. — Abnormitas: **bicentralis** tab. 29, fig. 300, $^{420}/_1$. Diamet. 0·0737 mm.

Szent-Péter.

HEMIDISCUS WALLICH.

Hemidiscus cuneiformis Wallich T. M. S. 1860, pg. 42, tab. 2, fig. 3, 4; Pritch. Infuss. pg. 853, tab. 6, fig. 14; — Euodia gibba Bail. in Pritch. Inf. pg. 852 tab. 8, fig. 22.

Dolje.

ANISODISCUS GRUN. NOV. GENUS.

Frustula disciformia e valvis duabus dissimilibus concentrice undulatis radiato punctatis composita. Valvae superioris (Coscinodisco elongati subsimilis) striis punctatis remotioribus, longioribus cum aliis multo brevioribus alternantibus; valvae inferioris (Cosmiodisco subsimilis) striis punctatis densioribus, lineis 6—11 radiantibus laevibus interruptis. Margo utriusque valvae tenue striato-punctatus, hinc inde spinulis minutissimis distantibus difficillime conspicuus munitus.

Anisodiscus Pantocsekii Grun. tab. 3, fig. 29, $^{547}/_1$; tab. 26 fig. 241, 243, $^{1000}/_1$ valvae superiores; tab. 26, fig. 242, $^{1000}/_1$ valva inferior; tab. 28, fig. 280 $^{653}/_1$. Frustula integra? (lineis laevibus valvae inferioris translucentibus?) Diamet. 0·031—0·065 mm.

Felső-Esztergály.

Forma: **major** valvae inferioris? tab. 27, fig. 255, $^{1000}/_1$. Valvis undulatis, radiatim striato-punctatis, striis alternantim brevioribus, marginem versus multo tenuioribus, et densioribus; radii 8 laevibus in spinula minuta desinentibus. Diamet. 0·064. Striae punctatae in media parte 8, marginem versus 16 in 0·01 mm.

Felső-Esztergály. (A. Grunow).

STEPHANODISCUS EHRBG.

Stephanodiscus fossilis nov. spec. tab. 22, fig. 198, $^{827}/_1$. Valvis rotundis, margine striolato, radiis laevibus ad marginem in spinula desinentibus; punctis parviuseulis (12 in 0·01 mm.), in lineas radiantes dispositis, centro cum circulo parvo punctulorum et anulo laevi. Diamet 0·084 mm.

Szent-Péter.

Stephanodiscus Kanitzii Pant. Grun. tab. 14, fig. 126, $^{827}/_1$. Valvis rotundis, margine striolato et corona spinolarum cineto; radiis laevibus 16—36 in area centrali magna laevi transientibus, segmentis punctatis; punctis ad centrum grossioribus et remotioribus (6 in 0·01 mm.), ad marginem minoribus

et densioribus (12—13 in 0·01 mm.), omnibus in lineas radiantes ordinatis Diamet. 0·06—0·01 mm.

Élesd.

Meinem lieben Freunde Herrn Universitätsprofessor Dr. A. Kanitz in Klausenburg gewidmet.

Forma: **major** Pant. tab. 21 fig. 191, ^{827/1}. Valvis majoribus nigricantibus; punctis remotioribus, majoribus, papillosum (4—5 in 0·01 mm.). Diamet. 0·147—0·158 mm.

Élesd.

Forma: **partita** Pant. tab. 13, fig. 114, ^{827/1}. Segmentis omnibus fascia lata circulari laevi interruptis; punctis densioribus (9—10 in 0·01 mm.). Diamet. 0·093 mm.

Élesd.

Forma: **inermis** Pant. tab. 13, fig. 113, ^{1133/1}. Coronam spinularum intra-marginalium deficiente; radiis laevis brevioribus latioribus; punctis crassioribus; area centrali parva 3—4 punctata. Diamet. 0·04—0·048 mm.

Élesd.

PYXIDULA EHRBG.

Pyxidicula cruciata Ehrbg. Amerika tab. 3, 7, fig. 6. Mikrogeolog. tab. 18, fig. 2; Gregor Diat. Clyde pg. 498 tab. 10, fig. 42.

Bajtha, Élesd, Alsó-, Felső-Esztergály, Kékkő, Mogyorod Szakal, Szent-Péter, Dolje.

STICTODISCUS GREV.

Stictodiscus californicus Grev. T. M. S. 1861 pg. 77, tab. 10, fig. 1; A. Schm. Atlas tab. 74, fig. 4, 5.

Élesd, Kékkő, Szakal, Szent-Péter, Dolje.

Forma: **trigona** Pant. tab. 28, fig. 273, ^{827/1}. Triangularis, lateribus convexis, angulis rotundatis.

Szakal.

Var. **nankooensis** Grun. Novara 1868, pg. 103, tab. A. fig. 23; A. Schm. Atlas tab. 74, fig. 2, 3; tab. nostra 6, fig. 49, ^{827/1}.

Kékkő, Szakal, Szent-Péter.

Var. **nankooensis** Grun. forma; **trigona** Pant. tab. 7, fig. 56, ^{827/1}. Triangularis, lateribus convexis, angulis subproductis rotundatis.

Szakal.

Stictodiscus parallelus (Ehrbg. Grev.) Pant. forma: **trigona** Pant. — Triceratium obtusum Ehrbg. Mikrogeol. tab. 18, fig. 48. — Triceratium parallelum Grev. A. Schm. Atlas tab. 75, fig. 11—13; tab. 76, fig. 14—18. — Triangularis, lateribus leviter convexis, angulis rotundatis.

Szakal, Szent-Péter.

Forma: **quadrigona** Pant. tab. 6, fig. 51, ^{827/1}. Amphitetas parallelum Ehrbg. Mikrogeol. tab. 19, fig. 20a-b.; Triceratium parallelum Grev. T.

M. S. 1865, pg. 104, tab. 9, fig. 22; A. Schm. Atlas tab. 75, fig. 3—5. Valvis quadrigonis, lateribus leviter convexis, angulis rotundatis.

Szakal.

Stictodiscus esztergalyensis Grun. tab. 27, fig. 250, $^{1000}/_1$. Valvis concentrica plicatis, minute radiato striato-punctatis (punctis 12 in 0·01 mm.), radiantibus numerosis, longioribus cum brevioribus alternantibus. Diamet. 0·064 mm.

Felső-Esztergály. (A. Grunow).

ARACHNOIDISCUS DEANE.

Arachnoidiscus Ehrenbergii Bail. in Wilk. Exped. 1838—42, pg. 171, tab. 9, fig. 9; W. Sm. Br. Diat. I. pg. 26, tab. 31, fig. 256; Janisch Guano pg. 158, tab. 2 A. fig. 3, 11; A. Schm. Atlas tab. 68, fig. 1—4, tab. 73, fig. 1; tab. nostra 19, fig. 169, $^{413}/_1$.

Bajtha, Élesd Kékkő, Szakal, Szent-Péter.

Var. **indica** Grun. Arachnoidiscus indicus Ehrbg. Mikrogeolog. tab. 36, fig. 34; A. Schm. Atlas tab. 68, fig. 6, tab. 73, fig. 2; O. Witt Simbirsk pg. 17, tab. 8, fig. 4; tab. nostra 19, fig. 171, $^{413}/_1$.

Kékkő, Szakal, Szent-Péter.

Var. **californica** A. Schm. Atlas tab. 68, fig. 3, 4, tab. 73, fig. 1; tab. nostra 19, fig. 170, $^{413}/_1$.

Kékkő, Szakal, Szent-Péter.

Arachnoidiscus ornatus Ehrbg. Pritch. Inf. pg. 842, tab. 15, fig. 18—21; Janisch Guano pg. 159, tab. 1, fig. 3; tab. 1 B. fig. 5; A. Schm. Atlas tab. 73, fig. 4—10; Arachnoidiscus nicobarnicus Ehrbg. Mikrogeol. tab. 36, fig. 35; Arachnoidiscus japonicus Shab.; Hemipytychus ornatus Ehrbg.

Bajtha, Szent-Péter.

ENDICTYA EHRBG.

Endictya minor A. Schm. Atlas tab. 69, fig. 14—16.

Élesd, Szakal, Szent-Péter.

Endictya oceanica Ehrbg. Mikrogeol. tab. 35 A. 18, fig. 6, 7; Pritch. Inf. pg. 831, tab. 5, fig. 70; Weisse Guano tab. 2, fig. 34; A. Schm. Atlas tab. 65, fig. 10; Orthosira oceanica Brigh. M. J. 1860, pg. 96, tab. 6, fig. 16.

Bajtha, Kékkő, Mogyorod, Szakal, Szent-Péter.

COSCINODISCUS EHRBG.

RADIATI Grun. Diat. Fr.-Josefs-Land pg. 70.

Coscinodiscus radiatus Ehrbg. Kreideth. tab. tab. 3, fig. 1 a, b, c. Mikrogeol. tab. 39, 3, fig. 17, tab. 35 A 17, fig. 6 etc.; Nordpol tab. 2, fig. 17; Kützg. Bac. pg. 132, tab. 1, fig. 18; W. Sm. Br. Diat. tab. 3, fig. 37; Pritch. Inf. pg. 830, tab. 11, fig. 39, 40; Janisch Guano pg. 5, tab. I. A. fig. 24; A. Schm. Atlas tab. 60, fig. 9; Nordsee Diat. tab. 3, fig. 34; Grun. Fr.-Jos.-Land Diat. pg. 71, tab. C fig. 4, 7.

Bajtha, Élesd, Alsó-, Felső-Esztergály, Kékkő, Mogyorod, Szakal, Szent-Péter, Dolje.

Forma: heterosticta Grun. tab. nostra 20, fig. 184, ^{827/1}.

Felső-Esztergály, Kékkő, Szent-Péter.

Var. subaequalis Grun. forma: **parva** tab. 22, fig. 203, ^{827/1}.

Felső-Esztergály, Kékkő, Szakal, Szent-Péter, Dolje.

Coscinodiscus marginatus Ehrbg. Mikrog. tab. 18, fig. 44; A. Schm.

Atlas tab. 65, fig. 3—6.

Bajtha, Élesd, Alsó-, Felső-Esztergály, Kékkő, Mogyorod, Szakal, Szent-Péter, Dolje.

Coscinodiscus robustus Grev. T. M. S. 1866, pg. 3, tab. 1, fig. 8;

A. Schm. Atlas tab. 62, fig. 3, 5.

Bajtha, Élesd, Alsó-, Felső-Esztergály, Kékkő, Mogyorod, Szakal, Szent-Péter, Dolje.

Var. latemarginata Pant. tab. 22, fig. 201 ^{827/1}. Diamet. 0.057 mm.

Areolis polygonis papillosis 3 in 0·01 mm.; altitudo marginis 0·004 mm.

Élesd.

Coscinodiscus Argus Ehrbg. Mikrogeol. tab. 21, fig. 2, Coscinodiscus Woodwardii A. Schm. Atlas tab. 61, fig. 2 nec Eulenstein.

Szent-Péter.

Coscinodiscus bulliens A. Schm. Atlas tab. 61, fig. 11, 12; tab. nostra 17, fig. 149, ^{647/1}.

Szent-Péter.

Coscinodiscus radiosus Grun. Van H. Synops. tab. 132, fig. 7.

Felső-Esztergály.

Coscinodiscus asperulus Grun. l. c. pg. 73.

Dolje.

Coscinodiscus labyrinthus Ropp. T. M. S. 1858, tab. 3, fig. 2; A. Schm. Atlas tab. 59, fig. 14?

Szent-Péter.

Coscinodiscus obscurus A. Schm. Atlas tab. 61, fig. 16.

Szent-Péter, Dolje.

Coscinodiscus crassus Bail. A. Atlas tab. 61, fig. 19.

Kékkő, Szakal, Szent-Péter, Dolje.

Coscinodiscus fimbriatus Ehrbg. Mikrogeol. tab. 22, fig. 2; Coscinodiscus radiolatus A. Schm. Atlas tab. 60, fig. 11 nec Ehrbg.; Van H. Synops. tab. 131, fig. 2.

Kékkő, Szent-Péter.

Coscinodiscus perforatus Ehrbg. var. **cellulosa** Grun. l. c. pg. 75; A. Schm. Atlas tab. 60, fig. 12.

Dolje.

Coscinodiscus apiculatus Ehrbg. Mikrogeol. tab. 18, fig. 43, A. Schm. Atlas tab. 64, fig. 5—9; tab. nostra 15, fig. 129, ^{827/1}.

Bajtha, Élesd, Alsó-, Felső-Esztergály, Kékkő, Mogyorod, Szakal, Szent-Péter, Dolje.

Coscinodiscus Janischii A. Schm. Atlas tab. 64, fig. 3, 4; Coscinodiscus marginatus Janisch Guano pg. 3, tab. 1 A. fig. 20 nec. Ehrbg.

Felső-Esztergály, Kékkő, Szent-Péter.

Coscinodiscus Oculus Iridis Ehrbg. Mikrogeolog. tab. 18, fig. 42; tab. 19, fig. 2, var. **genuina** Grun. loc. cit. pg. 77; Schm. Atlas tab. 63, fig. 6, 7. Diamet. usque ad 0·387 mm.

Bajtha, Élesd, Alsó-, Felső-Esztergály, Kékkő, Mogyorod, Szakal, Szent-Péter, Dolje.

Coscinodiscus asteromphalus Ehrbg. Mikrogeol. tab. 18, fig. 45a-b. Grun. l. c. pg. 78.

Bajtha, Élesd, Alsó-, Felső-Esztergály, Kékkő, Mogyorod, Szakal, Szent-Péter Dolje.

Var. **hybrida** Grun. l. c. pg. 79, tab. C. fig. 9.

Felső-Esztergály, Kékkő, Szent-Péter.

Coscinodiscus (asteromphalus Ehrbg. var.?) **brigthwellioides** Grun. l. c. pg. 78, tab. nostra 17, fig. 153, $^{827}/_1$. Tantum fragmentum unum observavi; cellulis laevis.

Szent-Péter.

Coscinodiscus biharensis nov. spec. tab. 14, fig. 119, $^{827}/_1$, tab. 16, fig. 139 $^{1133}/_1$. Valvis circularibus, convexis cellulis polygonis in lineas radian tes longiores et breviores dispositis, omnibus papillosis et ad marginem subtiliter punctulatis ($4\frac{1}{2}$ —5 in 0·01 mm.), peripheriam versus decrescentibus; margine latiusculo laevi. Diamet. 0·11—0·18 mm.

Élesd.

Coscinodiscus decrescens Grun. pg. 80; A. Schm. Atlas tab. 61, fig. 7, 8.

Dolje.

Coscinodiscus vetustissimus nov. spec. tab. 20, fig. 186, $^{640}/_1$. Valvis rotundis, margine subtiliter striolato, cellulis hexagonis in lineas radian tes longiores et breviores dispositis, ad centrum et marginem decrescentibus 4 in 0·01 mm.; areola centrali laevi parvula Diam. 0·09 mm.

Alsó-, Felső-Esztergály, Kékkő, Szakal.

FASCICULATI Grun. l. c. pg. 80.

Coscinodiscus actinocyloides nov. spec. tab. 9, fig. 72, $^{827}/_1$. Valvis rotundis, convexis, depressionibus duabus circularibus; per radios nigricantes interruptos in fasciculos 12—15 ad peripheriam aculeo parvo ornatis, divisus; structura punctata, punctis (6—7 in 0·01 mm.) in lineas parallelas et decussatas dispositis; area centrali nigricante maculosa tripunctata Diamet. 0·079—0·1 mm.

Felső-Esztergály, Kékkő, Szakal.

Coscinodiscus Kochii nov. spec. tab. 22, fig. 197, $^{827}/_1$. Concavus ad peripheriam convexus, margine striolato; structura punctata, punctis ($7\frac{1}{2}$ —8 in 0·01 mm.) papillosis, in lineas radian tes longiores et breviores et decussatas ordinatis; area centrali parva nigrescenti 4 punctata. Diamet 0·11 mm.

Szent-Péter.

Herrn Universitätsprofessor Dr. A. Koch in Klausenburg gewidmet.

Coscinodiscus symbolophorus Grun. loc. cit. pg. 82, tab. D. fig. 3—6; Symbolophora spec. Ehrbg.

Kékkő, Szakal, Szent-Péter.

Cosecinodiscus Szontághii nov. spec. tab. 15, fig. 133, $\frac{920}{1}$, tab. 28, fig. 278, $\frac{827}{1}$. Circularis, fasciculatus, fasciculis 11—13; cellulis ($6\frac{1}{4}$ in 0·01 mm.) papillosis hexagonis in lineas parallelas dispositis (uti in Cosecinodisco eurvatulo); margine striolato (striolis 14 in 0·01 mm.) Diamet. 0·0328—0·035 mm.

Szakal, Szent-Péter.

Cosecinodiscus doljensis nov. spec. tab. 12, fig. 105, $\frac{1133}{1}$. Circularis, convexus, fasciculatus, fasciculis 14—34, punctatus, punctis (12—15 in 0·01 mm.) in lineas radiantes et obliquas dispositis ad peripheriam cum spinulis distantioribus intramarginalibus ornatus; margine subtiliter striolato punctato. Diamet. 0·036—0·07 mm.

Dolje.

Cosecinodiscus Mártonfi nov. spec. tab. 15, fig. 133, $\frac{1133}{1}$. Circularis, convexus, punctatus, punctis (15 in 0·01 mm.) in lineas radiantes et obliquas dispositis, ad peripheriam cum spinulis intramarginalibus densioribus vestitus; centro sublaevi 3 punctato. Diamet. 0·048 mm.

Élesd.

Herrn Professor Dr. L. Mártonfi in Szamos-Ujvár gewidmet.

ECCENTRICI.

Cosecinodiscus eccentricus Ehrbg. Amerika tab. 3, 7, fig. 5. Mikrogeol. tab. 21, fig. 6; tab. 18, fig. 32; Nordpol tab. 2, fig. 18; Kützg. Bac. pg. 131, tab. 1, fig. 9; W. Sm. Br. D. I. pg. 23, tab. 3, fig. 38; Janisch Guano pg. 4, tab. 1 A. fig. 7, tab. 1 B. fig. 1; A. Sehm. Nordsee Diat. tab. 3, fig. 36—38; Atlas tab. 58, fig. 49; Grun. Fr.-Jos.-Land. Diat. pg. 84, tab. D. fig. 7 var.; Van H. Synops. tab. 130, fig. 4, 7, 8.

Szakal, Szent-Péter, Dolje.

CLIVOSI.

Cosecinodiscus clivosus nov. spec. tab. 2, fig. 16, $\frac{500}{1}$. Circularis, cum plicis concentricis quatuor et centro depresso, peripheriam versus cum fascia concentrica laevi 0·003 mm. lata; margine subtiliter biseriatim punctato; punctis parvis in centro distantioribus (8 in 0·01 mm.) ad marginem densioribus (10 in 0·01 mm.) omnibus in lineas radiantes longiores et breviores ordinatis. Diamet. 0·13—0·15 mm.

Alsó-, Felső-Esztergály, Kékkő, Mogyorod, Szakal, Szent-Péter.

Var. latefasciata Grun. tab. 27, fig. 253, $\frac{600}{1}$. Fascia concentrica laevi intramarginali multo latiori. Diamet. 0·11 mm.

Alsó-, Felső-Esztergály.

LINEATI.

Cosecinodiscus lineatus Ehrbg. Abhandlg. 1840 pg. 66, tab. 3, fig. 4; Amerika tab. I. 3, fig. 20 etc.; Mikrogeol. tab. 18, fig. 33 etc.; Nordpol tab. 2, fig. 19; Kützg. Bacill. tab. 1, fig. 10; Janisch Guano pg. 4, tab. 1, fig. 10; A. Sehm. Atlas tab. 59, fig. 26—32; Van H. Synops. tab. 131 fig. 3.

Szakal, Dolje.

Coscinodiscus leptopus Grun. Van H. Synops. tab. 131, fig. 6.

Szakal

Coscinodiscus tumidus Janisch. A. Schm. Atlas tab. 59 fig. 35—39.

Dolje.

Coscinodiscus pseudolineatus nov. spec. tab. 9, fig. 77, $^{827}/_1$. Circularis, in centro cum cellula rotunda a ceteris majori (0·007 mm. magna); cellulis hexagonis in lineas rectas dispositis, ad peripheriam decrecentibus (8—9 in 0·01 mm.); margine 0·004 mm. lato irregulariter punctato et grosse striolato (striis 12 in 0·01 mm.). Diamet. 0·08—0·12 mm.

Dolje.

ELEGANTI.

Coscinodiscus elegans Grev. T. M. S. 1860, pg. 3, tab. 1, fig. 6; A. Schm. Atlas tab. 58, fig. 7. — **Coscinodiscus gemmifer** Ehrbg. ? Mikrogeolog. tab. 35 A. 22, fig. 3? tab. nostra 16, fig. 141, $^{827}/_1$, tab. 24, fig. 216, $^{827}/_1$.

Bajtha, Élesd, Kékkő, Szent-Péter, Dolje.

Coscinodiscus Lewisianus Grev. T. M. S. 1866, pg. 78 tab. 8—10; A. Schm. Atlas tab. 66, fig. 12, tab. nostra 25, fig. 232, $^{827}/_1$.

Szent-Péter.

Coscinodiscus nitidus Greg. Diat. Clyde pg. 499, tab. 10, fig. 45; Pritch. Infuss. pg. 831, tab. 8, fig. 18; A. Schm. Nordsee Diat. tab. 3, fig. 32; Atlas tab. 58, fig. 17—19; Van H. Synops. tab. suppl. C. fig. 41; tab. nostra 18, fig. 166, $^{827}/_1$.

Kékkő, Mogyorod, Szakal, Szent-Péter.

Coscinodiscus nitidulus Grun. A. Schm. Atlas tab. 58, fig. 20, 21; Van H. Synops. tab. 132 fig. 2; tab. nostra 24, fig. 214 $^{827}/_1$.

Szakal, Szent-Péter, Dolje.

CESTODISCI.

Coseinodiscus Stokesianus (Grev.) Grun. Cestodiscus Stokesianus Grev. T. M. S. 1866 pg. 123 tab. 11, fig. 4.

Felső-Esztergály, Kékkő, Szakal, Szent-Péter.

Forma: **minor** Grun. tab. 27, fig. 257, $^{600}/_1$.

Szent-Péter

Forma: **baldjikiana** Grun.

Dolje.

Coseinodiscus (Cestodiscus) pulchellus (Grev.) Grun. var. **moravica** Grun. tab. 27, fig. 260, $^{600}/_1$. Radiis punctorum a centro peripheriam versus sensim decrementum alternatim brevioribus. (*A. Grunow.*)

Alsó-, Felső-Esztergály, Kékkő, Szakal, Szent-Péter, in strato tertiaro Brünn Moraviae et in deposito Newcastle Estate Barbadoes.

Coseinodiscus hungaricus nov. spec. tab. 9, fig. 73, $^{827}/_1$. Circularis valde convexus, cum centro depresso, margine subtiliter striolato punctato (16 $\frac{1}{4}$ in 0·01 mm.) peripheriam versus cum spinulis 10—15 robustis ornatus. Structura punctata, punctis medio majoribus subangulosis, papillosis (6 in 0·01 mm.), ad peripheriam minoribus rotundis (9 in 0·01 mm.) omnibus in lineas radiantes longiores et breviores dispositis. Diamet. 0·072—0·075 mm.

Alsó-, Felső-Esztergály, Kékkő, Szakal, Szent-Péter.

Cosecinodiscus armatus nov. spec tab. 10, fig. 90, ⁸⁶⁶/₁. Circularis, convexus, medio depresso, ad peripheriam spinulis 7—14 robustis ornatus; punctis granulosis medio minoribus (8 in 0·01 mm.) ad peripheriam majoribus (6 in 0·01 mm.) omnibus in lineas radiantes longiores et breviores ordinatis. Diamet. 0·034—0·049 mm.

Alsó-, Felső-Esztergály.

Cosecinodiscus Grunowii nov. spec. tab. 9, fig. 74, ⁸²⁷/₁. Circularis convexus, margine subtiliter striolato (striolis 16 in 0·01 mm.) ad peripheriam cum maculis laevibus 10—23. Structura cellulosa, cellulis hexagonis, a maculis laevibus ad centrum depresso radiantibus, ceteris in lineas parallelas longiores et breviores dispositis et sic discus in fasciculos divisus. Cellulis centro majoribus distantioribus (7—8 in 0·01 mm.) ad peripheriam minoribus et densioribus (9—10 in 0·01 mm.) Diamet. 0·062—0·072 mm.

Alsó-, Felső-Esztergály.

Forma: **minor** Pant. tab. 14, fig. 125 ⁸²⁷/₁. Structura punctata, punctis (10—15 in 0·01 mm.). Diamet. 0·024—0·036 mm.

Felső-Esztergály.

Cosecinodiscus neogradensis nov. tab. 2, fig. 18, ⁵⁰⁰/₁. Circularis biundulatus, margine striolato (striolis 16 in 0·01 mm.), ad peripheriam maculis 15—27 laevibus magnis distinctus; structura punctata punctis in lineas subradiantes dispositis, ad centrum et marginem minoribus (8 in 0·01 mm.), inter maculas majoribus subangulatis (6 in 0·01 mm.). Diamet. 0·06—0·13 mm.

Alsó-, Felső-Esztergály, Kékkő, Mogyorod Szakal, Szent-Péter.

Cosecinodiscus intumescens nov. spec. tab. 2, fig. 17, ⁵⁰⁰/₁. Circularis, biundulatus, margine subtiliter striolato (14 in 0·01 mm.) structura punctata, punctis centro distantioribus ($6\frac{1}{2}$ in 0·01 mm.) quam ad peripheriam (8 in 0·01 mm.), omnibus in lineas radiantes longiores et breviores dispositis. Diamet. 0·1—0·15 mm.

Bajtha, Alsó-, Felső-Esztergály, Kékkő, Mogyorod, Szakal, Szent-Péter.

Cosecinodiscus undatus (Cleve) Grun. — *Actinocyclus* (alienus Grun. var.?) *undatus* Cleve J. Q. M. Cl. 1885 pg. 174, tab. 13, fig. 14; tab. nostra 10, fig. 89, ⁶⁶⁸/₁ tab. 27, fig. 252 ⁶⁰⁰/₁

Alsó-, Felső-Esztergály, Kékkő, Szakal, Szent-Péter.

Cosecinodiscus Szabói nov. spec. tab. 18, fig. 167, ⁸²⁷/₁. Circularis, convexus, centro depresso, ad peripheriam maculis minutis laevibus distinctus. Structura punctata, punctis centro majoribus (10 in 0·01 mm.) in lineas radiantes distantiores longiores et breviores dispositis; margine subtiliter punctato uti in Cosecinodisco eleganti; in centro cum areola parva laevi. Diamet. 0·064 mm.

Szent-Péter.

Cosecinodiscus sarmaticus nov. spec. tab. 8, fig. 62, ¹¹³³/₁. Ellipticus convexus, ad peripheriam duabus apiculis minutis oppositis vestitus. Structura punctata, punctis subtilibus in lineas irregulares radiantes dispositis. Diamet. longitud. 0·016 mm.; latitud. 0·013 mm.

Dolje.



Index generum.

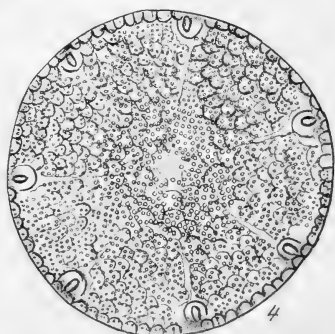
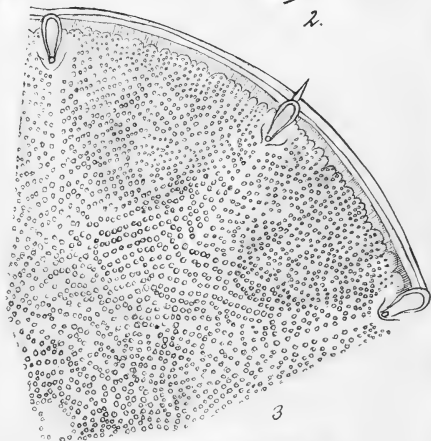
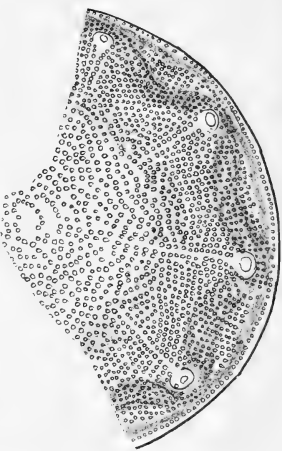
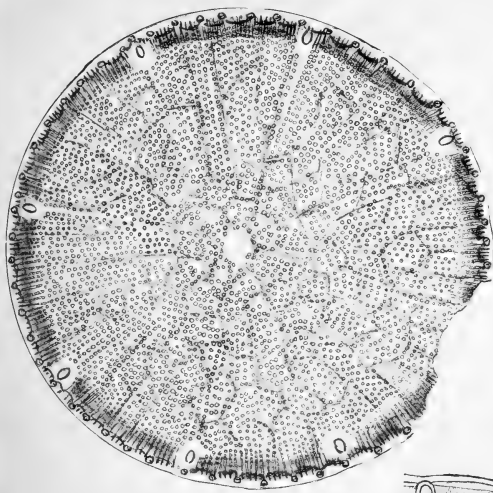
	Pag.		Pag.		Pag.
Achnantes	30	Endictya	69	Pleurosigma	30
Actinocyclus	66	Entopyla	32	Podosira	45
Actinoptychus	60	Epithemia	32	Pseudotriceratum	65
Amphora	21	Eunotogramma	48	Pyxidicula	68
Anisodiscus	67	Euodia	48	Pyxilla	43
Anaulus	48	Goniothecium	42	Rhaphoneis	33
Arachnoidiscus	69	Grammatophora	38	Rhabdonema	39
Asterolampra	66	Hemialus	48	Rutilaria	44
Aulacodiscus	57	Hemidiscus	67	Sceptroneis	36
Auliscus	55	Hyalodiscus	44	Skeletonema	44
Biddulphia	49	Isthmia	47	Stephanodiscus	67
Campylodiscus	40	Lepidodiscus	45	Stephanogonia	44
Cerataulus	49	Mastogloia	22	Stephanopyxis	43
Chaetoceros	42	Mastogonia	65	Stictodiscus	68
Clavicula	37	Melosira	45	Surirella	39
Climacosphaenia	38	Navicula	22	Syndendrium	42
Coccneis	31	Nitzschia	41	Synedra	36
Coscinodiscus	69	Odontella	47	Terpsinoë	47
Cyclotella	45	Orthoneis	31	Triceratum	51
Craspedoporus	60	Pantocsekia	47	Trinaeria	49
Debya	65	Paralia	46	Trumania	45
Dicladia	42	Periptera	42	Xanthopyxis	42
Dimeregramma	33	Plagiogramma	32	Zygoceros	49

Corrigenda.

Pagina	4 linea	5 pro Ablagerung lege: Ablagerungen.
"	5 "	10 ab inf. pro 463 " 451.
"	7 "	15 pro 117 lege: 116.
"	" "	23 " 152 " 157.
"	" "	Coscinodiscus Iridis lege: Coscinodiscus oculus Iridis.
"	" "	10 ab inf. pro 53 lege: 52.
"	8 "	2 pro 194 lege: 199.
"	" "	3 " circinatus lege: circinus.
"	10 "	292 lege: 293.
"	" "	Coscinodiscus Iridis lege: Coscinodiscus oculus Iridis.
"	14 "	22 " Edictya lege: Endictya.
"	17 post lineaem 5 ab inf. adde: var. moravica Grunow Szakal.	
18 linea	2 pro Rhaphoneis lege: Rhaphoneis.	
"	21 2 ab inf. pro recedita lege: recedit.	
"	24 "	14 pro inqua lege: in qua.
"	" "	15 " quadrangularis lege: quadrangularis.
"	29 "	22 ab inf. pro raphide " volva raphidea.
"	30 "	3 pro raphide " volva raphidea.
"	" "	16 ab inf. pro dilatata " dilatato.
"	32 "	16 pro Pseudoraphidiae " Pseudoraphidiaeae
"	33 "	7 " Gregorianum " Gregorianum.
"	" "	15 " haut " haud.
"	37 "	2 " incrassatis " incrassatis.
"	45 "	17 ab inf. pro nonnullis " nonnullis.
"	48 "	18 " " duabus " duobus.
"	50 "	2 pro " " " "
"	" "	7 " " " "
"	53 "	8 " " " "
"	" "	16 " simillimum " simillimum.
"	" "	19 " ocelliformibus " ocelliformibus.
"	57 "	4 ab inf. pro decrescentibus lege: decrescentibus.
"	58 "	1 pro Aulacodiscus lege: Aulacodisco.
"	" "	8 " transientes " transeuntes.
"	" "	14 " nigracans " nigricans.
"	" "	11 ab inf. pro elevato " elevato.
"	59 "	1 pro structuram ... squamosam lege: structura ... squamosa.
"	" "	10 ab inf. pro punctos majores " puncta majora.
"	60 "	17 pro frequentur lege: frequenter.
"	61 "	19 pro disseminatis lege: disseminatis.
"	62 "	18 " rotunta " rotunda.
"	63 "	3 " percurrente " percurrente.
"	" "	10 ab inf. pro percurrente lege: percurrente.
"	64 "	1 pro secundaris " secundariis.
"	" "	18 ab inf. pro percurrente " percurrente.
"	65 "	15 pro decussatas " decussatas.
"	" "	24 " ei ob similitudine " eum ob similitudinem.
"	66 "	19 " lines " lineas.
"	67 "	20 " conspicuus " conspicuis.
"	" "	6 ab inf. pro anulo " annulo.
"	69 "	6 pro radiantiantibus " radiantibus.
"	" "	6 " brevioribus " brevioribus.
"	" "	24 " nicobaricus " nicobaricus.
"	71 "	18 ab inf. pro parvula " parvula.
"	" "	11 " " tripunctata " tripunctata.
"	72 "	4 pro in 0'01 mm.) " in 0'01 mm.).

Tafel I.

1. **Aulacodiscus reticulatus** nov. spec. *Szent-Péter* ⁴¹³/₁
2. **Aulacodiscus Lunyacsekii** nov. spec. forma: **minor** *Szent-Péter* ⁵⁰⁰/₁
3. **Aulacodiscus Grunowii** Cleve var. **subsquamosa** *Szent-Péter* ⁵⁰⁰/₁
4. **Aulacodiscus Grunowii** Cleve var. **squamosa** *Szent-Péter* ⁴¹³/₁
5. **Aulacodiscus hyalinus** nov. spec. *Szent-Péter* ⁸⁸⁰/₁
6. **Surirella biharensis** nov. spec. *Élesd* ⁶⁶⁸/₁
7. **Navicula Vukotinovićii** nov. spec. *Dolje* ⁵⁰⁰/₁
8. **Rhaphoneis delicatula** nov. spec. *Felső-Esztergály* ⁸⁶⁸/₁

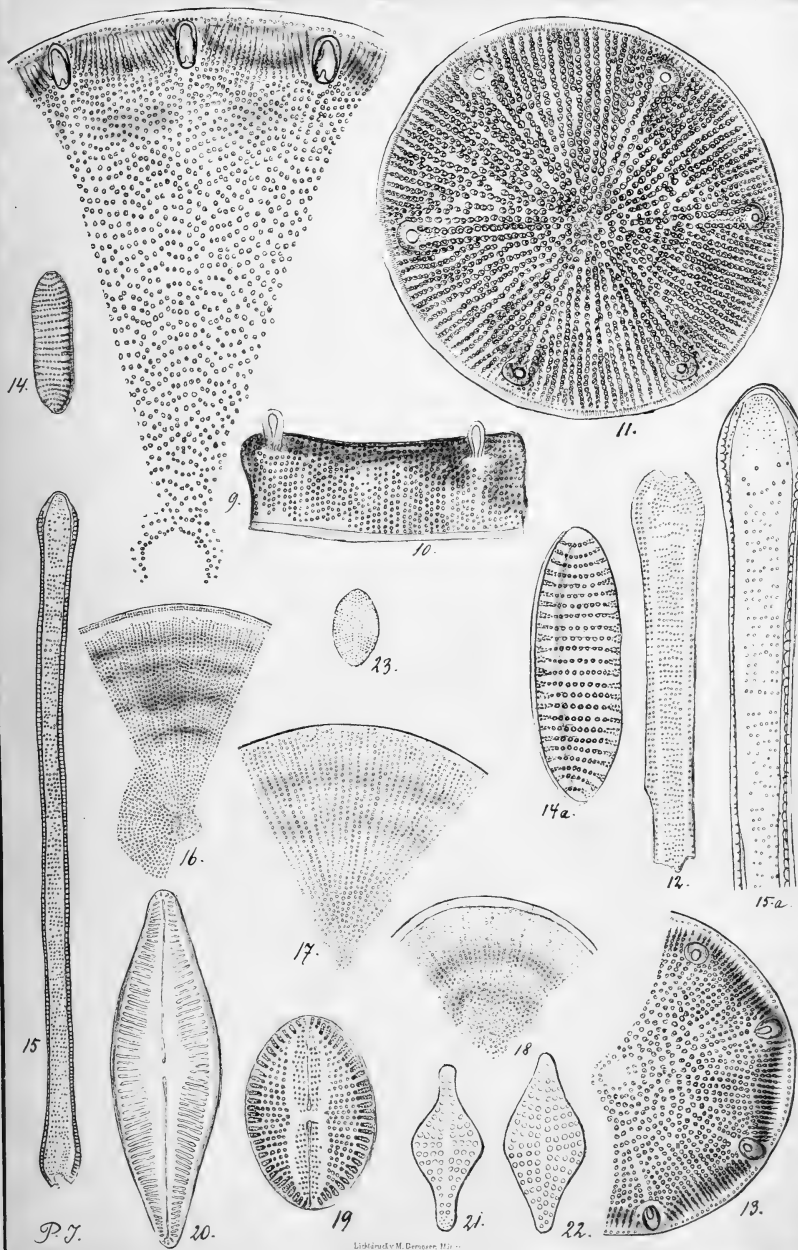


J. Pantossek del.



Tafel III.

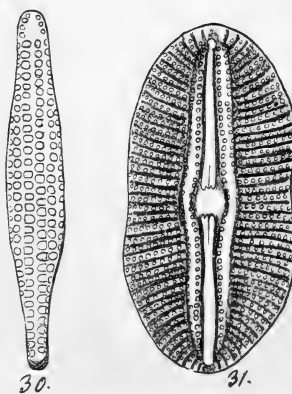
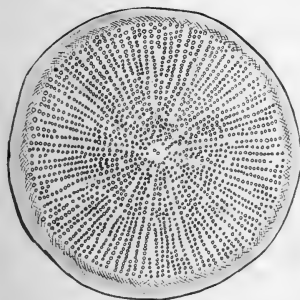
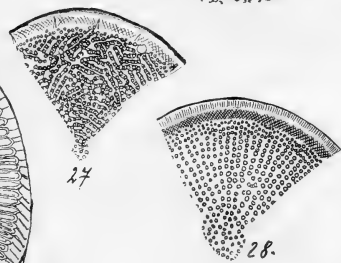
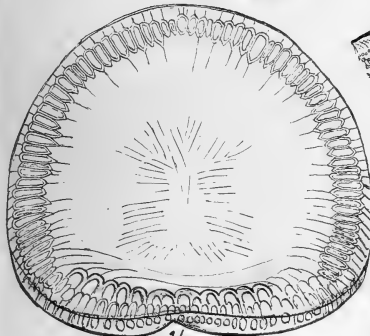
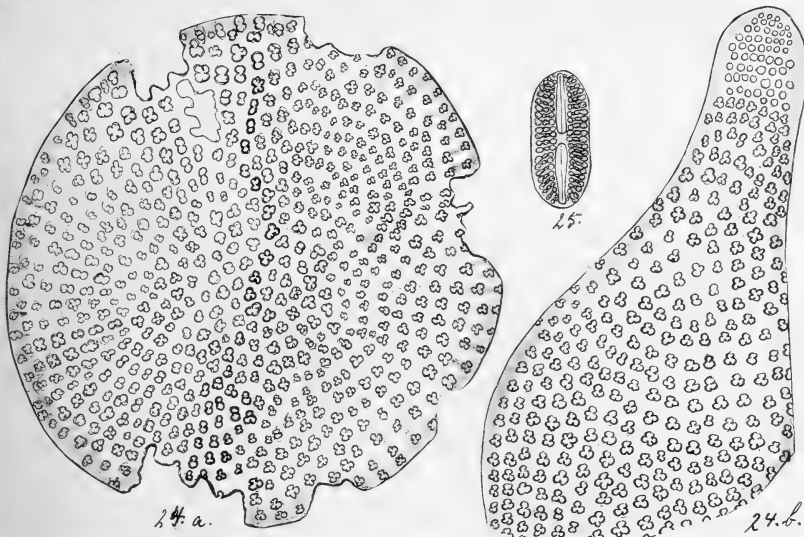
- 9-10. *Aulacodiscus Lunyacekii* nov spec. forma: **major** Szent-Péter ⁵⁰⁰/₁
11. *Aulacodiscus* (neogradensis Pant. var.?) **subangulatus** Pant. Grun. Szent-Péter ⁵⁰⁰/₁
12. *Clavicula polymorpha* Pant. Grun. var. **tumida** Pant. Szent-Péter ⁴¹³/₁
13. *Aulacodiscus amoenus* Grev. var. **hungarica** Pant. Szent-Péter ⁵⁰⁰/₁
14. *Nitzschia doljensis* nov. spec. Dolje ⁶⁶⁸/₁ 14a ¹¹⁸⁸/₁
15. *Clavicula polymorpha* Pant. Grun. var. **aspicephala** Pant. Szent-Péter ²⁶⁷/₁ 15a ⁶⁵³/₁
16. *Coseinodiscus clivosus* nov. spec. *Felső-Esztergály* ⁵⁰⁰/₁
17. *Coseinodiscus intumescens* nov. spec. *Felső-Esztergály* ⁵⁰⁰/₁
18. *Coseinodiscus neogradensis* nov. spec. *Felső-Esztergály* ⁵⁰⁰/₁
19. *Navicula Truanii* nov. spec. *Moron in Spanien* ⁶⁶⁸/₁
20. *Navicula Yarrensis* Grun. Élesd ⁵⁴⁷/₁
21. *Rhaphoneis gemmifera* Ehrbg. var. **elegans** Grun. Pant. *Felső-Esztergály* ⁶⁰⁰/₁
22. *Rhaphoneis gemmifera* Ehrbg. forma: **brevis** *Felső-Esztergály* ⁶⁰⁰/₁
23. *Rhaphoneis subtilissima* nov. spec. *Felső-Esztergály* ⁶⁰⁰/₁



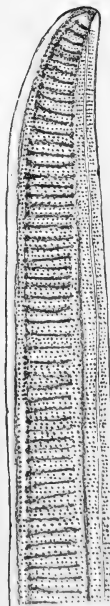
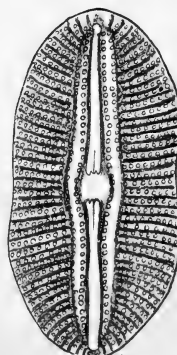


Tafel III.

- 24a-b. **Isthmia Szabói** nov. spec. *Szent-Péter* ³⁸⁰/₁
25. **Navicula Szontághii** nov. spec. *Felső-Esztergály* ⁶⁶⁸/₁
26. **Campylodiscus Ecclesianus** Grev. *Élesd* ⁵⁴⁷/₁
27. **Actinocyclus labyrinthicus** nov. spec. *Szent-Péter* ⁸⁴⁰/₁
28. **Actinocyclus circumdatus** nov. spec. *Dolje* ⁶⁰⁰/₁
29. **Anisodiscus Pantocsekii** Grun. *Felső-Esztergály* ⁵⁴⁷/₁
30. **Rhaphoneis hungarica** nov. spec. *Szent-Péter* ⁵⁴⁷/₁
31. **Navicula Beyrichina** A. Schum. forma: *minor Alsó-Esztergály* ⁸⁴⁰/₁
32. **Nitzschia pulcherima** Grun. var.? **antediluviana** Pant. *Szent-Péter* ⁵⁴⁷/₁



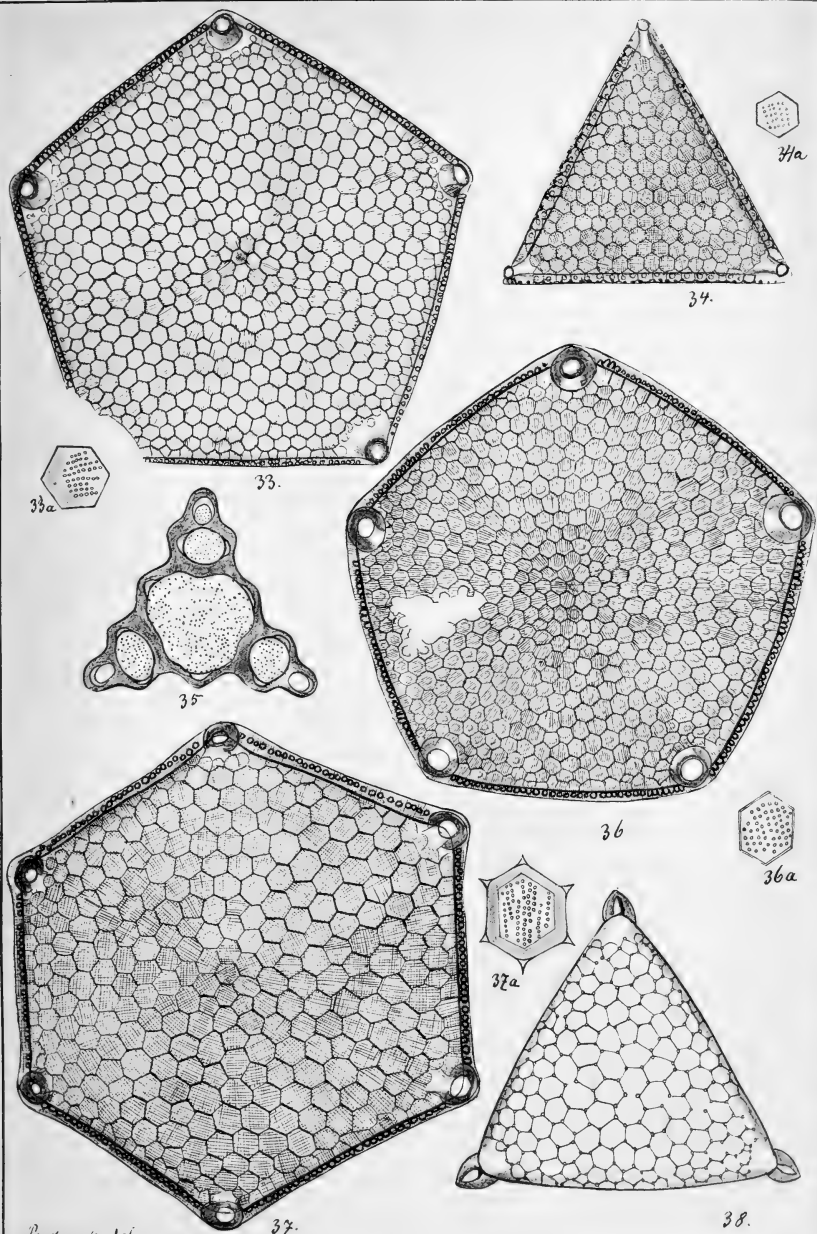
P. T.





Tafel IV.

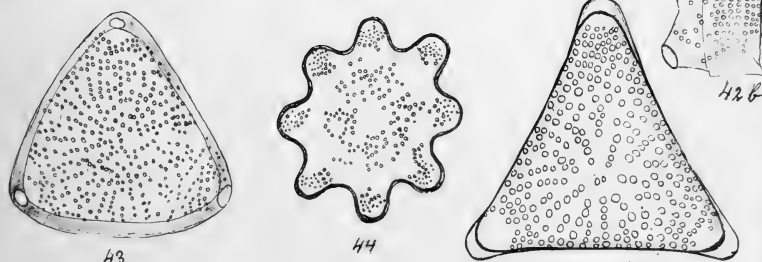
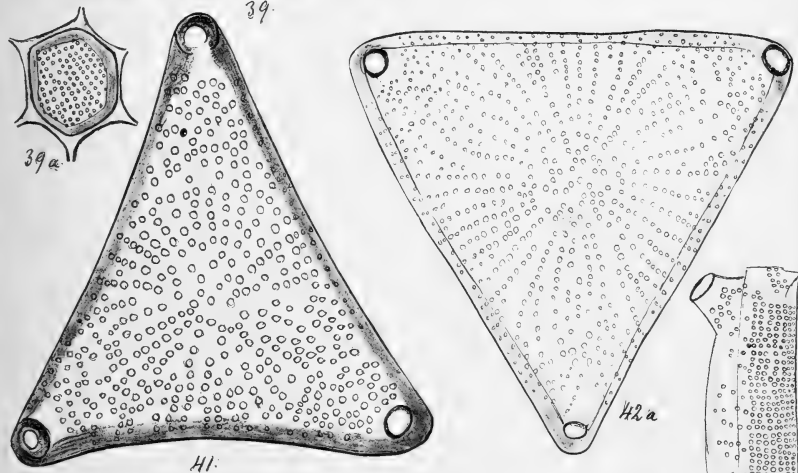
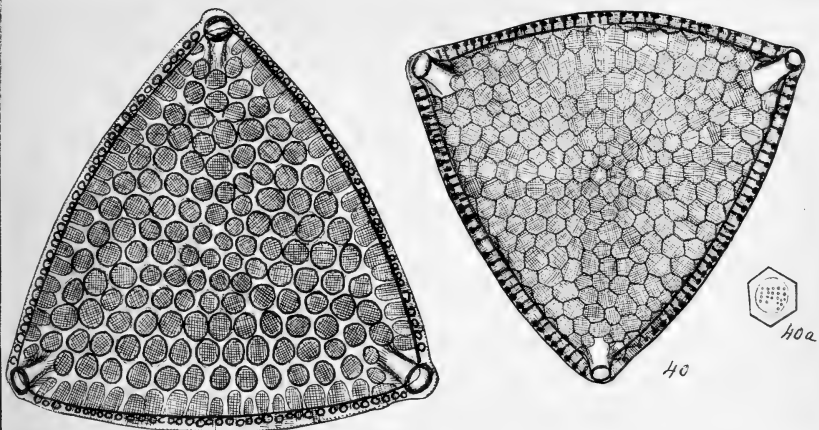
33. Triceratium grande Brigh? forma: **pentagona** Kékkő 320/1 33a 1133/1
34. Triceratium Pantocsekii A. Schm. Szent-Péter 547/1 34a 1133/1
35. Terpsinoë americana Bail. Ralfs forma: **trigona** gonis productis Élesd 840/1
36. Triceratium Pantocsekii A. Schm. forma: **pentagona** Szent-Péter 413/1
36a 1133/1
37. Triceratium Pantocsekii A. Schm. forma: **hexagona** Szent-Péter 413/1
37a 1133/1
38. Triceratium (muricatum Bright. var?) **nudum** nov. spec. Szent-Péter 840/1





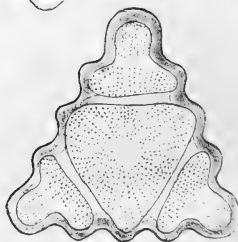
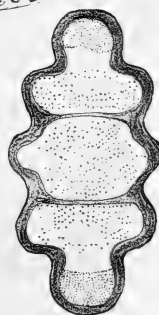
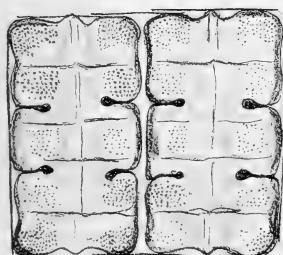
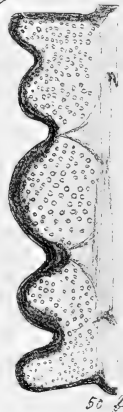
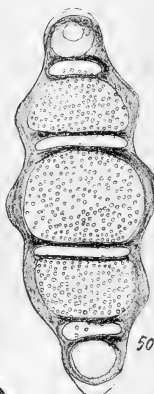
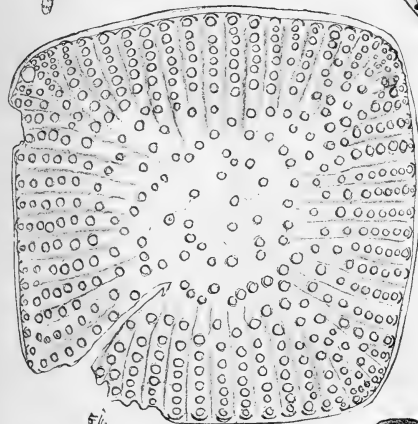
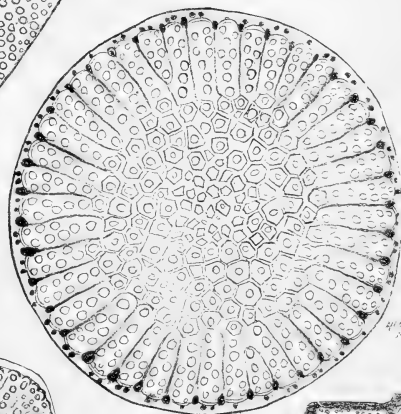
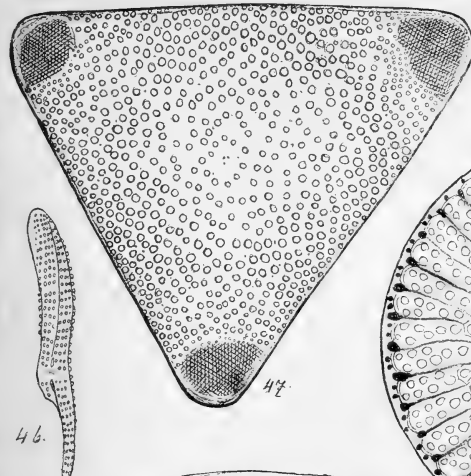
Tafel V.

- 39. Triceratium Thumii A. Schm. *Kékkő* 300/1 39a 1133/1
- 40. Triceratium Pantocsekii A. Schm. forma: **convexa** *Szent-Péter* 547/1
40a 1133/1
- 41. Triceratium lucidum nov. spec. *Szakal* 840/1
- 42a-b. Triceratium radiato-punetatum A. Schm. *Szent-Péter* 640/1
- 43. Triceratium radiato-punetatum A. Schm. forma: minor *Szent-Péter* 400/1
- 44. Triceratium polygibbum nov. spec. *Élesd* 668/1
- 45. Triceratium szakalense nov. spec. *Szakal* 840/1



Tafel VI.

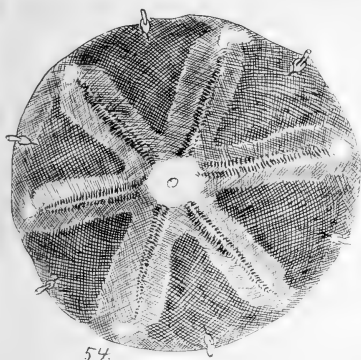
46. *Amphora crassa* Greg. var. *punctata* Grun. *Dolje* ⁶⁶⁸/₁
47. *Triceratium Möllerii* nov. spéc. *Szent-Péter* ⁸²⁷/₁
48. *Rhabdonema hamuliferum* Kitton? *Dolje* ⁶⁶⁸/₁
49. *Stictodiscus californicus* Grev. var. *nankoorensis* Grun. *Szakal* ⁸²⁷/₁
- 50a-b. *Biddulphia homala* nov. spec. *Szent-Péter* ⁶⁴⁰/₁
51. *Stictodiscus parallelus* (Ehrbg. Grev.) Pant. forma: *quadrigona* *Szakal* ⁸²⁷/₁
- 52a-b. *Terpsinoë americana* (Bail.) Ralfs *Élesd* ⁸⁴⁰/₁
53. *Terpsinoë americana* (Bail.) Ralfs forma: *trigona*, *gonis dilatatis* *Élesd* ⁸²⁷/₁



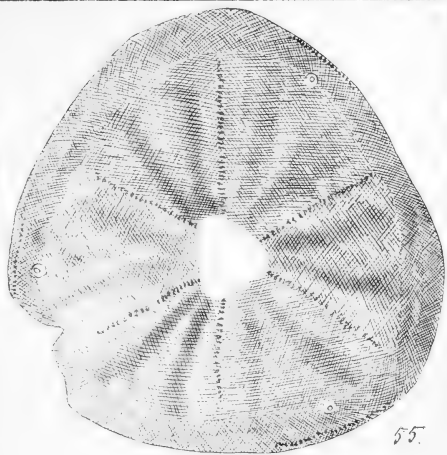


Tafel VII.

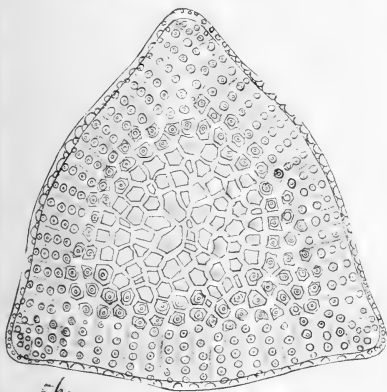
54. **Actinoptychus Pantocsekii** Truan. *Szent-Péter* ⁵⁴⁷/₁
55. **Actinoptychus neogradensis** nov. spec. *Szent-Péter* ⁸⁴⁰/₁
56. **Stictodiseus californicus** Grev. var. **nankoorensis** Grun. forma: **trigona**
Szakal ⁸²⁷/₁
57. **Actinoptychus Truanii** A. Schm. forma: **trivittata** *Szakal* ⁸⁴⁰/₁
58. **Actinoptychus reticulatus** nov. spec. *Szakal* ⁸⁴⁰/₁
59. **Actinoptychus bifrons** A. Schm. *Szent-Péter* ⁸²⁷/₁



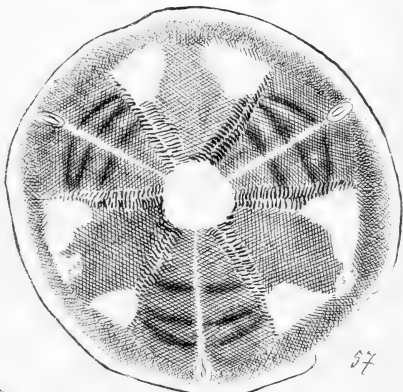
54.



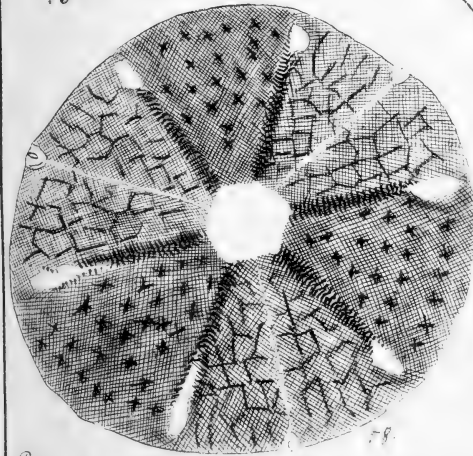
55.



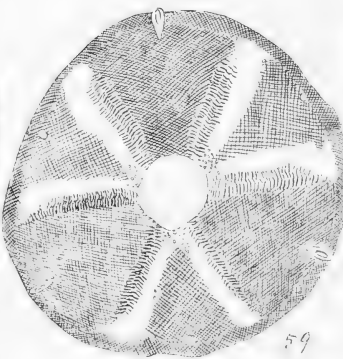
56.



57.



58.

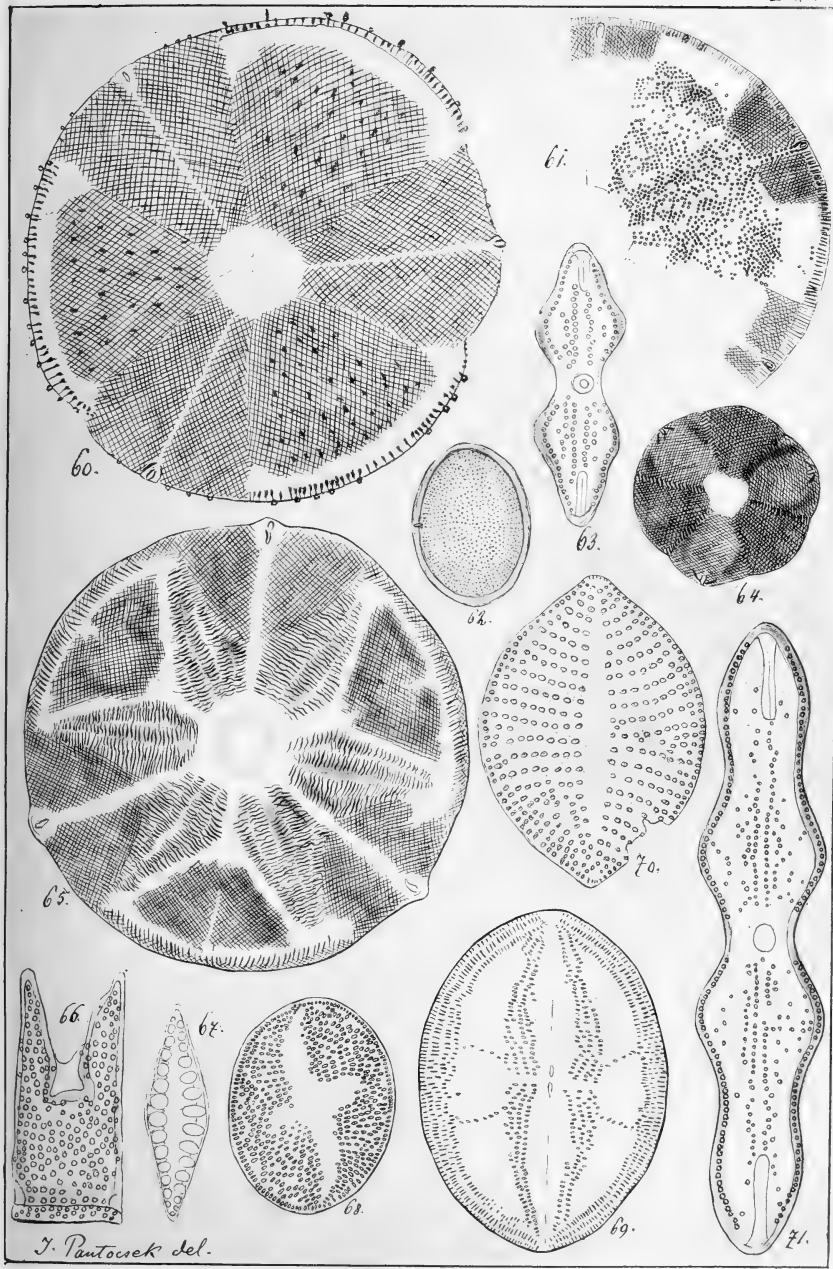


59.



Tafel VIII.

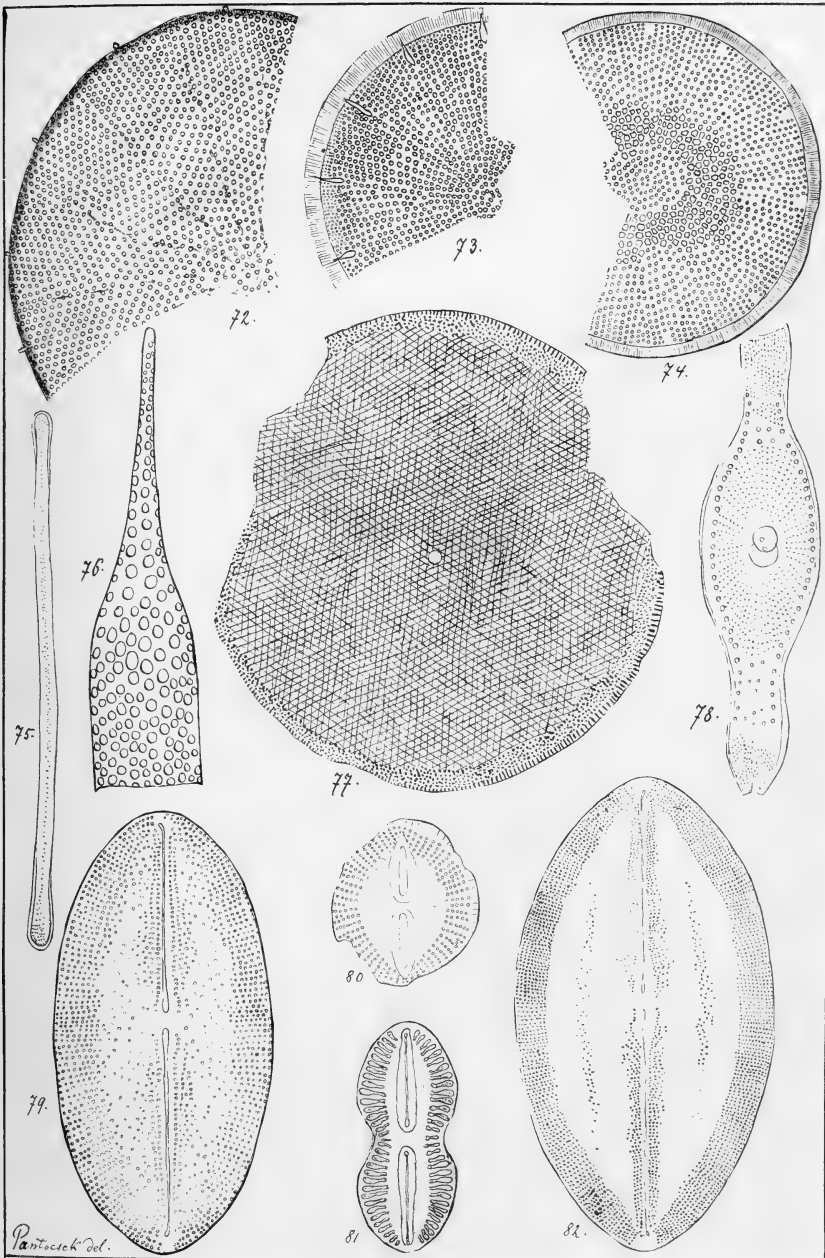
-
- 60. *Actinoptychus punctulatus* nov. spec. *Szakal* 840/1
 - 61. *Actinoptychus Sturii* nov. spec. *Szent-Péter* 668/1
 - 62. *Coseinodiscus sarmaticus* nov. spec. *Dolje* 1133/1
 - 63. 71. *Plagiogramma neogradense* nov. spec. *Szent-Péter* 827/1
 - 64. *Actinoptychus Szabói* nov. spec. *Szent-Péter* 840/1
 - 65. *Actinoptychus Stella* A. Schm. var. *Thumii* A. Schm. *Szent-Péter* 640/1
 - 66. *Hemiaulus malleolus* nov. spec. *Szent-Péter* 827/1
 - 67. *Dimeregramma fossile* Grun. *Felső-Esztergály* 827/1
 - 68. *Cocconeis sigma* nov. spec. *Szent-Péter* 840/1
 - 69. *Cocconeis praecellens* nov. spec. *Szent-Péter* 1133/1
 - 70. *Rhaphoneis Debyi* nov. spec. *Szent-Péter* 827/1





Tafel IX.

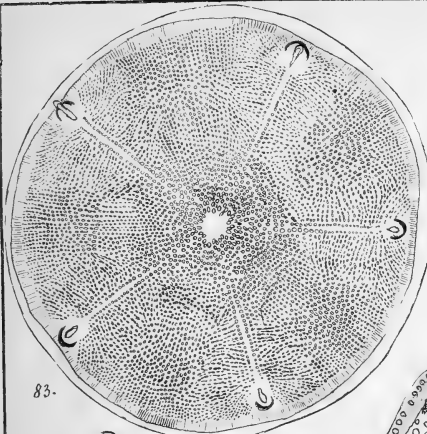
72. **Coscinodiscus actinocyloides** nov. spec. *Szakal* ⁸²⁷/₁
73. **Coscinodiscus hungaricus** nov. spec. *Szent-Péter* ⁸²⁷/₁
74. **Coscinodiscus Grunowii** nov. spec. *Alsó-Esztergály* ⁸²⁷/₁
75. **Clavicularia polymorpha** Grun. Pant. var. **delicata** Pant. *Szent-Péter* ⁵⁴⁷/₁
76. **Pyxilla cornuta** nov. spec. *Szent-Péter* ⁸⁴⁰/₁
77. **Coscinodiscus pseudolineatus** nov. spec. *Dolje* ⁸²⁷/₁
78. **Rutillaria ventricosa** Grev. *Szent-Péter* ⁸⁴⁰/₁
79. **Navicula praetexta** Ehrbg. *Szent-Péter* ⁵⁴⁷/₁
80. **Navicula mikrotatos** nov. spec. *Felső-Esztergály* ¹¹³³/₁
81. **Navicula Gorjanovićii** nov. spec. *Dolje* ¹¹³³/₁
82. **Navicula Sandriana** Grun. *Szent-Péter* ⁸⁴⁰/₁



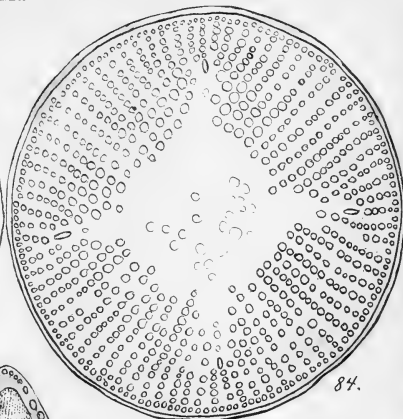


Tafel XX.

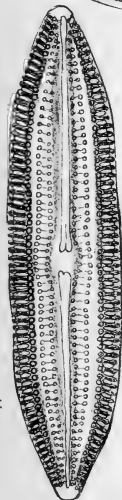
- 83. **Aulacodiscus Archangelskianus** O. Witt. *Archangelsk* ^{413/1}
- 84. **Aulacodiscus septus** A. Schm. forma : **quatuor radiata** *Archangelsk* ^{827/1}
- 85. **Navicula Thumii** nov. spec. *Szent-Péter* ^{640/1}
- 86. **Epithemia gibberula** Ktz. var. **protracta** Grun. *Dolje* ^{1133/1}
- 87a-b. **Triceratium Stokesianum** Grev. *Szent-Péter* ^{413/1}
- 88. **Mastogloja** (Smithii Thw. var.) **doljensis** nov. spec. *Dolje* ^{600/1}
- 89. **Coscinodiscus undatus** (Cleve) Grun. *Felső-Esztergály* ^{668/1}
- 90. **Coscinodiscus armatus** nov. spec. *Felső-Esztergály* ^{866/1}
- 91a-b. **Triceratium trisulcum** Bail. var. **hungarica** *Szent-Péter* ^{813/1}



83.



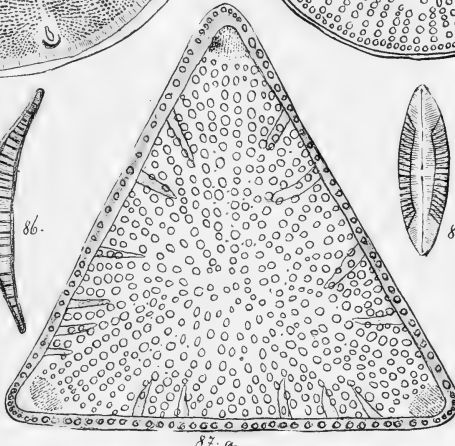
84.



85.



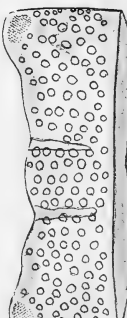
86.



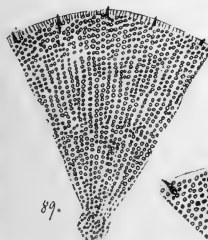
87.a



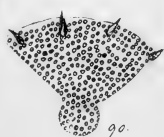
88.



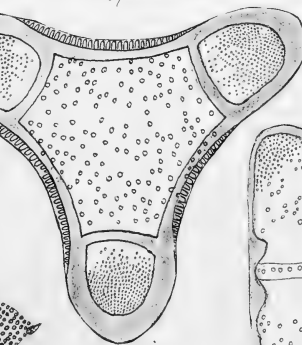
87.b



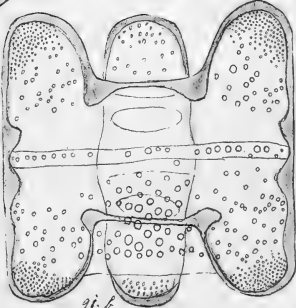
89.



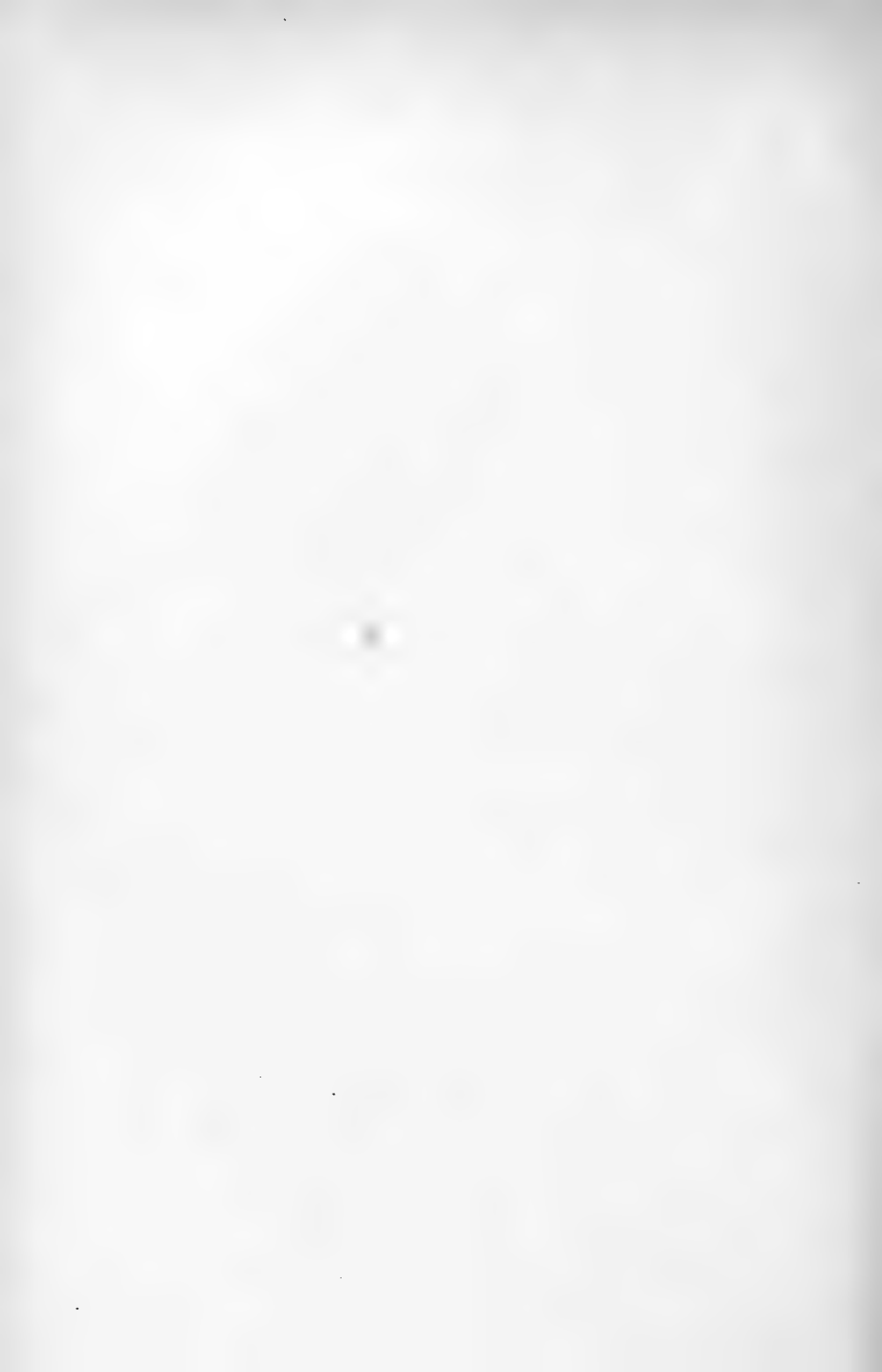
90.



91.a

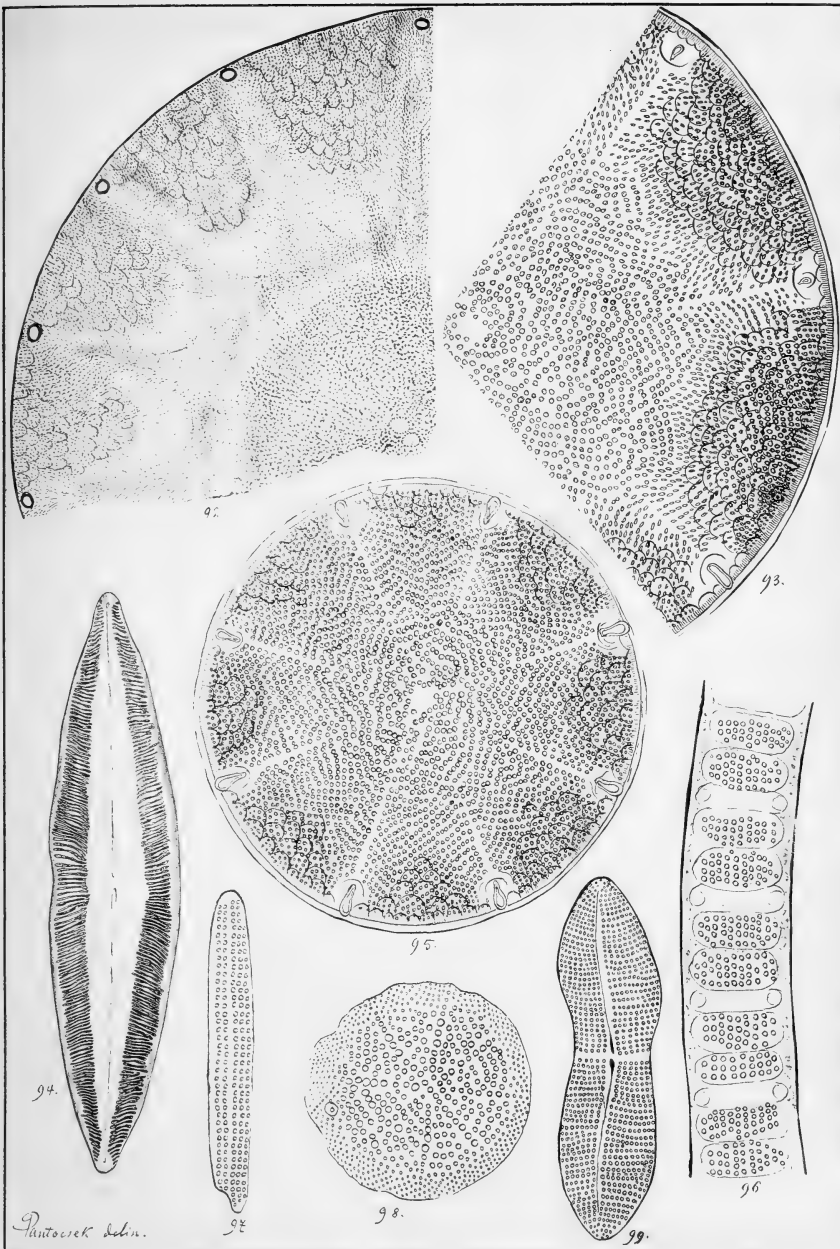


91.b



Tafel XII.

92. **Craspedoporus Truanii** nov. spec. *Szakal* ^{827/1}
93. 95. **Aulacodiscus Grunowii** Cleve. *Szent-Péter, Szakal* ^{413/1}
94. **Navicula halionata** nov. spec. *Élesd* ^{413/1}
96. **Melosira granulata** Ehrbg. var. ? **spiralis** (Ehrbg.) *Alsó-Esztergály* ^{827/1}
97. **Rhaphoneis angustata** nov. spec. *Kékkő* ^{827/1}
98. **Actinoeyclus** (moniliformis Ralfs var.?) **knemeides** nov. spec. *Szent-Péter* ^{1133/1}
99. **Achnanthes brevipes** Ag. var. **contracta** Grun. *Dolje* ^{470/1}

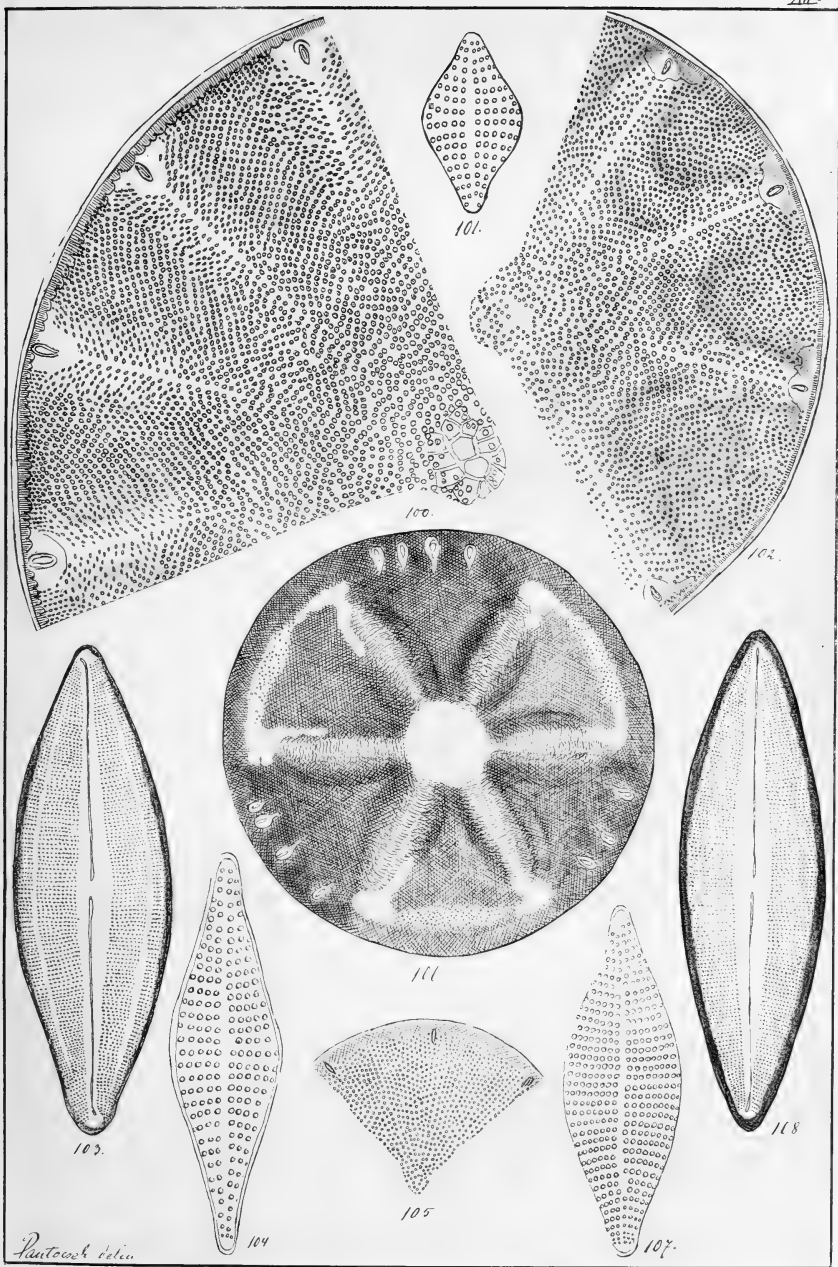


Pantocsek dehui.



Tafel XII.

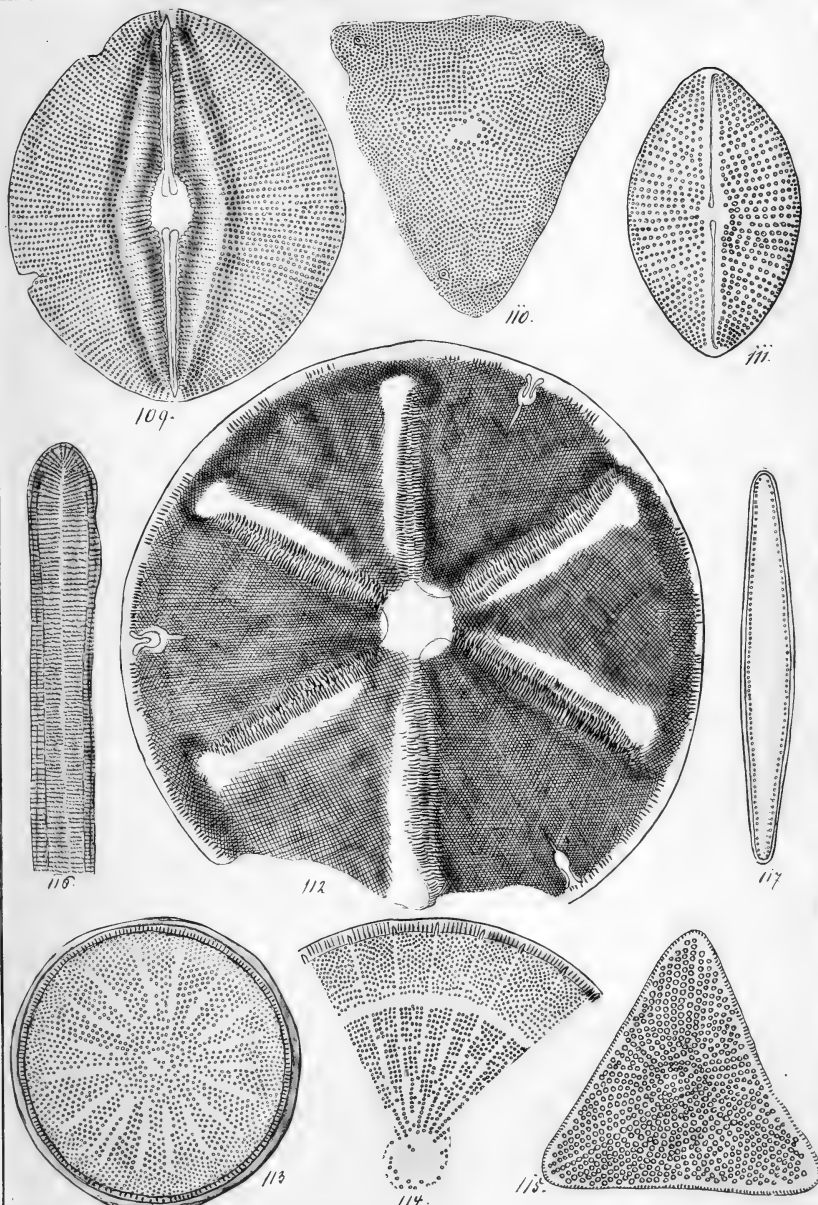
100. *Aulacodiscus Grunowii* Cleve var. *subsquamosa* Szakal ^{413/1}
101. *Rhaphoneis gemmifera* Ehrbg. forma: *brevis* Kékkő ^{827/1}
102. *Aulacodiscus Grunowii* Cleve var. *punctata* Szakal ^{413/1}
103. *Navicula Baümlerii* nov. spec. var. *interrupta* Szent-Péter ^{827/1}
104. *Rhaphoneis gemmifera* Ehrbg. Kékkő ^{827/1}
105. *Cosecinodiscus doljensis* nov spec. Dolje ^{1133/1}
106. *Actinoptychus Gründlerii* A. Schm. Kékkő ^{440/1}
107. *Rhaphoneis gemmifera* Ehrbg. var. *neogradensis* Kékkő ^{827/1}
108. *Navicula Baümlerii* nov. spec. Szent-Péter ^{827/1}





Tafel XIII.

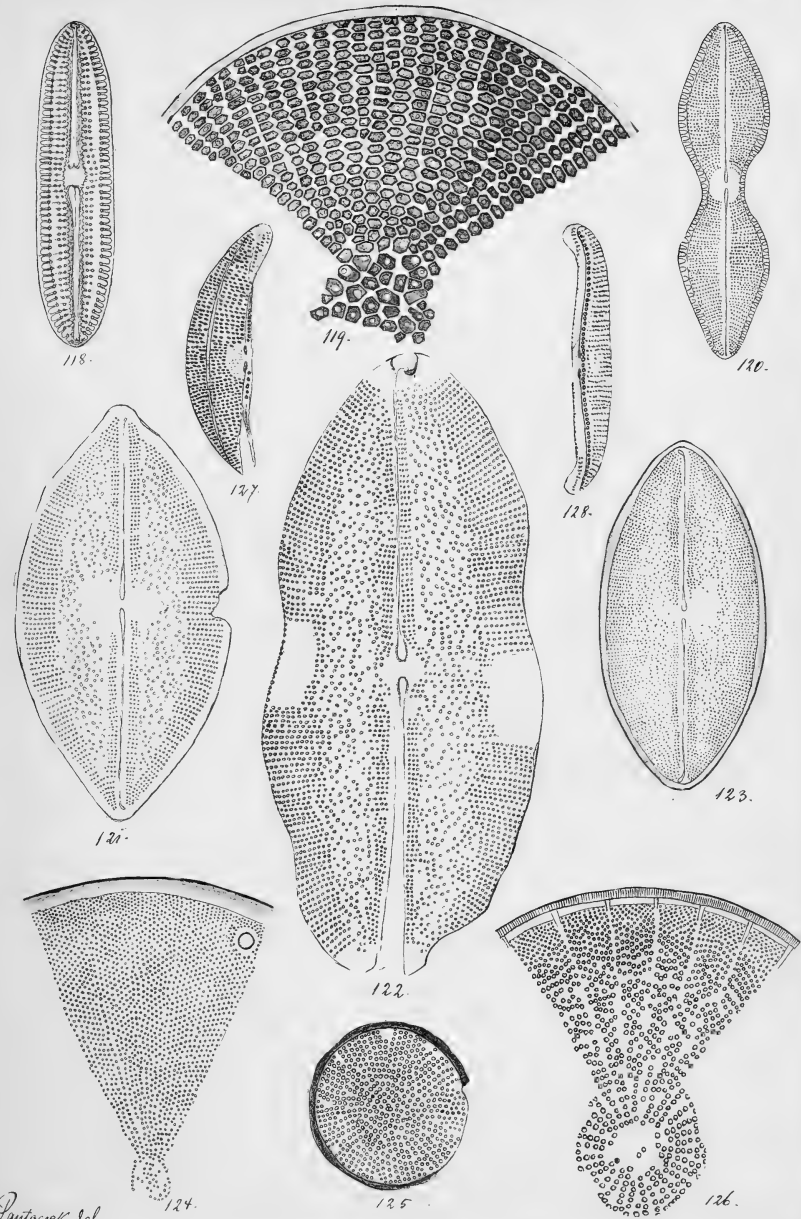
109. *Navicula pseudofusca* nov. spec. Élesd 827/1
110. *Actinoptychus amblyoceros* (Ehrbg.) A. Schm. *Felső-Esztergály* 827/1
111. *Cocconeis neogradensis* nov. spec. Szent-Péter 827/1
112. *Actinoptychus dilatatus* nov. spec. Kékkő 547/1
113. *Stephanodiscus Kanitzii* Grun. Pant. forma: *inermis* Élesd 1133/1
114. *Stephanodiscus Kanitzii* Grun. Pant. forma: *partita* Élesd 827/1
115. *Triceratium antiquum* nov. spec. Szent-Péter 827/1
116. *Synedra crystallina* Ktz. forma: *gibba* Dolje 972/1
117. *Synedra* (*Thalassionema*) *nitzschioides* Grun. var. *obtusa* Grun. Szent-Péter 1133/1



Pantocsek delineavit.

Tafel XIV.

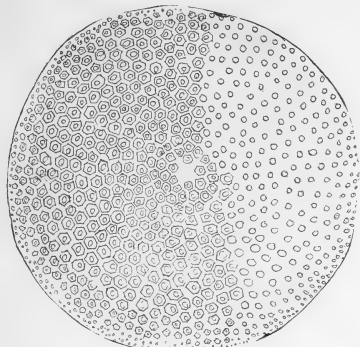
118. **Navicula Zehenterii** nov. spec. *Szent-Péter* ^{668/1}
119. **Coscinodiscus biharensis** nov. spec. *Élesd* ^{827/1}
120. **Navicula Kossuthii** nov. spec. *Szent-Péter* ^{547/1}
121. **Navicula Schaarschmidtii** nov. spec. *Szent-Péter* ^{827/1}
122. **Navicula Lunyacekii** nov. spec. *Szakal* ^{827/1}
123. **Navicula Neupauerii** nov. spec. *Szent-Péter* ^{547/1}
124. **Actinocyclus subtilis** (W. Sm.) Grun. *Élesd* ^{1133/1}
125. **Coscinodiscus Grunowii** nov. spec. forma: **minor** *Felső-Esztergály* ^{827/1}
126. **Stephanodiscus Kanitzii** Grun. Pánt. *Élesd* ^{827/1}
127. **Amphora oculus** A. Schm. nov. spec. *Szent-Péter* ^{400/1}
128. **Amphora** (erassa Greg. var.?) **euprepes** nov. spec. ^{400/1}





Tafel XXV.

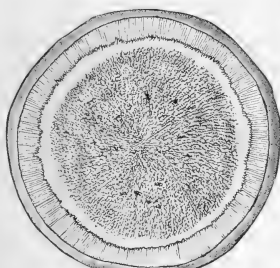
- 129. *Coscinodiseus apiculatus* Ehrbg. *Szent-Péter* ^{827/1}
- 130. *Melosira biharensis* nov. spec. *Élesd* ^{668/1}
- 131. *Hyalodiscus laevis* Ehrbg. *Dolje* ^{827/1}
- 132. *Cosecinodiseus Mártonfi* nov. spec. *Élesd* ^{1133/1}
- 133. *Cosecinodiseus Szontághii* nov. spec. *Szent-Péter* ^{920/1}
- 134. *Amphora* (*ostrearia* Bréb. var.?) *interrupta* nov. spec. *Szent-Péter* ^{827/1}
- 135. *Amphora* (*intersecta* A. Schm. var.?) *sarmatica* nov. spec. *Dolje* ^{668/1}
- 136. *Navicula Debysi* nov. spec. *Szakal* ^{827/1}
- 137a-b. *Biddulphia pulchella* Gray. *Alsó-Esztergály* ^{547/1}



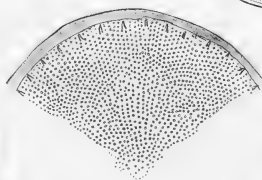
129.



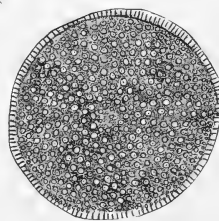
130.



131.



132.



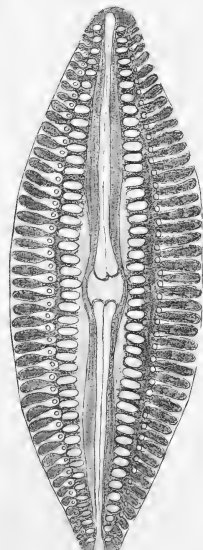
133.



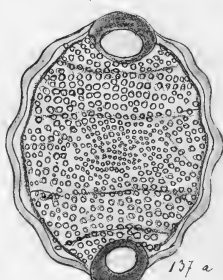
134.



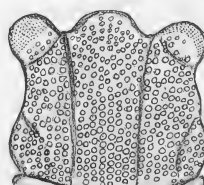
135.



136.



137 a.

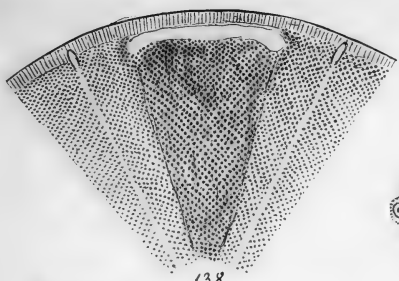


137 b.

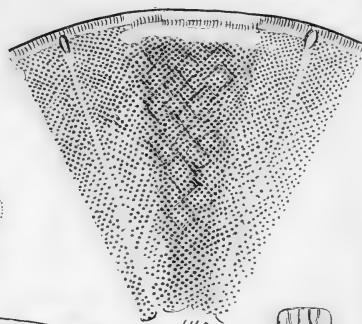
Pantovsek delin.

Tafel XXVI.

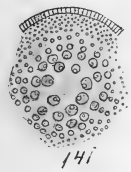
138. *Actinoptychus splendens* Ralfs var. *glabrata* Grun. *Szent-Péter* 827/1
139. *Coscinodiscus biharensis* nov. spec. *Élesd* 1133/1
140. *Actinoptychus splendens* Ralfs. *Szent-Péter* 827/1
141. *Coscinodiscus elegans* Grev. *Dolje* 827/1
142. *Grammatophora oceanica* Ehrbg. var. *subtilissima* Grun. *Dolje* 827/1
143. *Actinoptychus Janischii* Grun. *Szent-Péter* 827/1
144. *Actinoptychus splendens* Ralfs forma: *partita* *Szent-Péter* 827/1
145. *Actinoptychus splendens* Ralfs var. *glabrata* Grun. forma: *partita*
Szent-Péter 827/1
146. *Triceratium condecorum* (Ehrbg.) Brighw. *Szent-Péter* 547/1
147. *Actinoptychus splendens* Ralfs var. *nobilis* *Szent-Péter* 413/1
148. *Cocconeis eruttiata* nov. spec. *Szent-Péter* 827/1



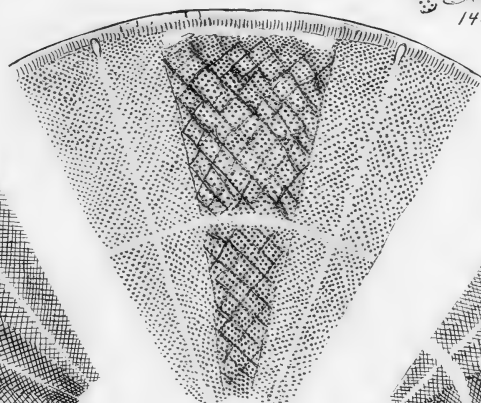
138.



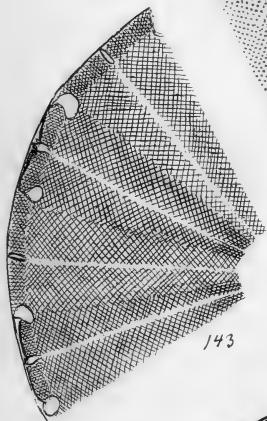
139.



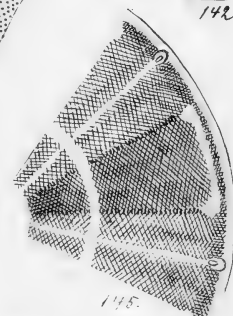
140.



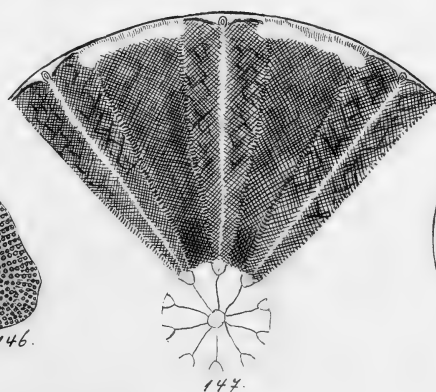
141.



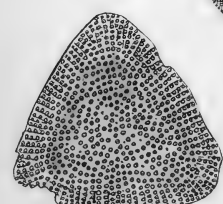
142.



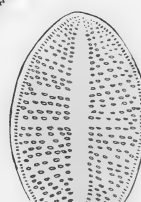
143.



144.



145.



146.



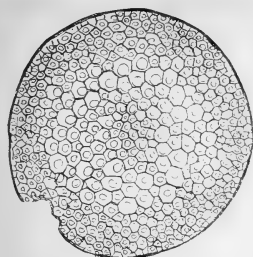
147.

Praetorach. salina.



Tafel XXVII.

149. **Coscinodiscus bulliens** A. Schm. *Szent-Péter* ^{617/1}
150. **Navicula Lyra** Ehrbg. var. **dilatata** A. Schm. forma: **perpusilla**
Dolje ^{900/1}
151. **Melosira Caput Medusae** nov. spec. *Kékkő* ^{827/1}
152. **Navicula élesdiana** nov. spec. *Élesd* ^{827/1}
153. **Coscinodiscus (asteromphalus** Ehrbg. var.?) **brigthwellioides** Grun.
Szent-Péter ^{610/1}
154a-b. **Terpsinoë intermedia** Grun. *Élesd* ^{547/1}
155. **Grammatophora oceanica** Ehrbg. *Dolje* ^{827/1}
156. **Amphora** (*intersecta* A. Schm. var.?) **striata** nov. spec. *Dolje* ^{413/1}



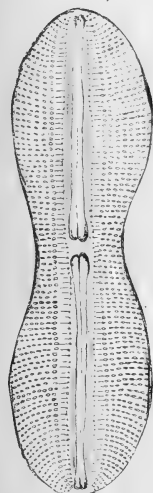
149.



150.



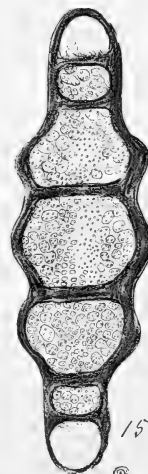
151.



152.



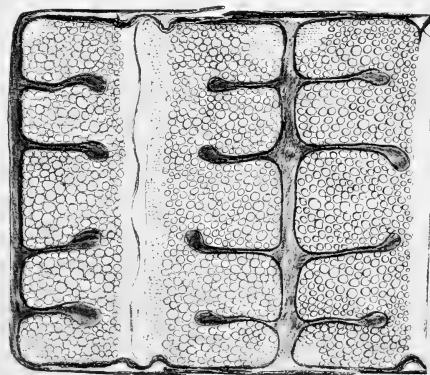
153.



154.a.



155.



154.b.

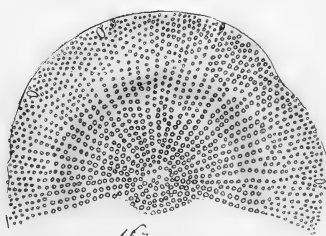
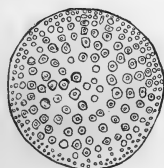
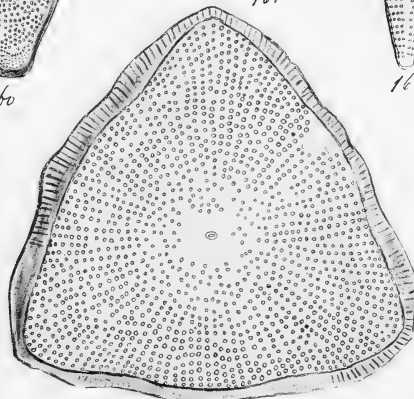
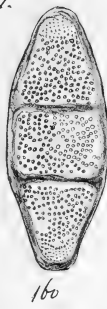
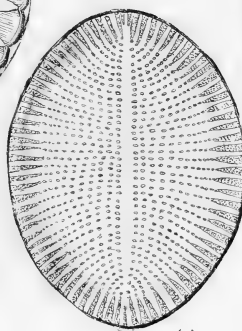
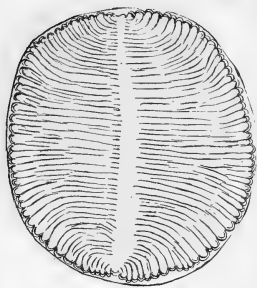
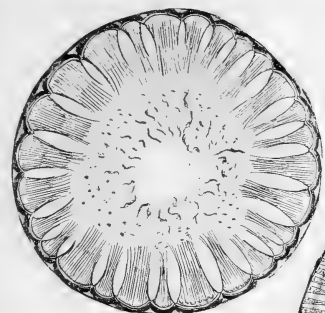


156.

Pantocsek delin.

Tafel XXVIII.

157. *Surirella rotunda* nov. spec. Élesd ^{827/1}
158. *Navicula Wiesnerii* nov. spec. Szent-Péter ^{840/1}
159. *Campylodiscus striolatus* Grun. Élesd ^{827/1}
160. *Anaulus (Biddulphia) mediterraneus* Grun. Élesd ^{668/1}
161. *Cocconeis scutellum* Ehrbg. var. *doljensis* Dolje ^{840/1}
162. *Rhaphoneis simbirskiana* Grun. Pant. Archangelsk ^{827/1}
163. *Rhaphoneis gemmifera* Ehrbg. var. *parcepunctata* Grun. Pant. forma:
major Szent-Péter ^{827/1}
164. *Triceratum (Ditylum) undulatum* Ehrbg. Kékkő ^{827/1}
165. *Navicula (maxima Greg. var.?) Holubyi* nov. spec. Szent-Péter ^{547/1}
166. *Coscinodiscus nitidus* Grev. Szent-Péter ^{827/1}
167. *Coscinodiscus Szabói* nov. spec. Szent-Péter ^{827/1}
168. *Biddulphia homala* nov. spec. forma: minor Szent-Péter ^{413/1}



Pantocsek John.



Tafel XXX.

169. **Arachnoidiscus Ehrenbergii** Bail. Élesd ^{413/1}
170. **Arachnoidiscus Ehrenbergii** Bail. var. **californica** Grun. Szent-Péter ^{413/1}
171. **Arachnoidiscus Ehrenbergii** Bail. var. **indica** Grun. Szent-Péter ^{413/1}
172. **Auliscus moronensis** Grev.? Szakal ^{547/1}
173. **Auliscus coelatus** Bail. Szent-Péter ^{413/1}
174. **Auliscus pulvinatus** Cleve forma: **inermis triocellata** Szent-Péter ^{547/1}
175. **Auliscus pulvinatus** Cleve forma: **inermis** Szent-Péter ^{517/1}
176. **Triceratium Brunii** nov. spec. Szent-Péter ^{640/1}
177. **Auliscus pulvinatus** Cleve forma: **appiculata** Szent-Péter ^{827/1}



169.



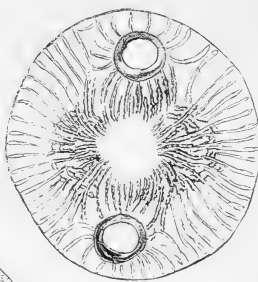
170.



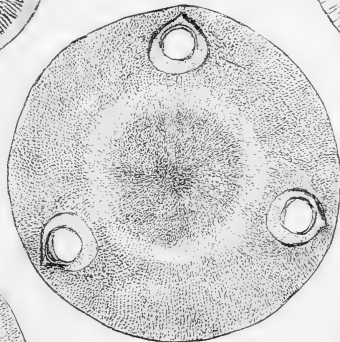
171.



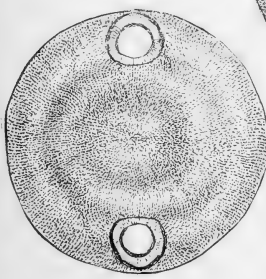
172.



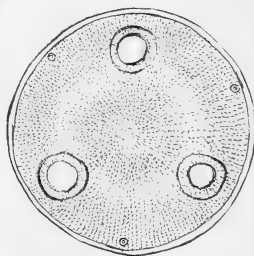
173.



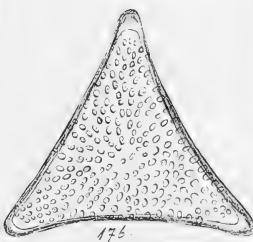
174.



175.



177.



176.

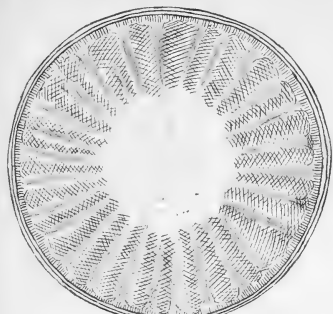
Pantocsek delin.



Tafel XXX.

178. **Truania archangelskiana** nov. gen. et spec. *Archangelsk* ^{827/1}
179. **Rhaphoneis gemmifera** Ehrbg. var. **elegans** Grun. Pant. *Szent-Péter* ^{827/1}
180. **Stephanopyxis (polaris** Grun. var.?) **grossecellulata** nov. spec. *Szent-Péter* ^{827/1}
181. **Navicula gemmata** Grev. var **fossilis** *Felső-Esztergály* ^{413/1}
182. **Lepidodiscus elegans** O. Witt. *Archangelsk* ^{827/1}
183. **Epithemia costata** nov. spec. *Élesd* ^{827/1}
184. **Cosecinodiscus radiatus** Ehrbg. forma: **heterosticta** Grun. *Kékkő* ^{827/1}
185. **Surirella (striatula** var.?) **antiqua** nov. spec. *Élesd* ^{827/1}
186. **Cosecinodiscus vetustissimus** nov. spec. *Szent-Péter* ^{640/1}

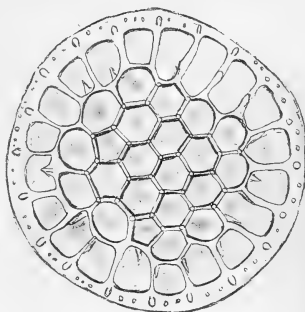
II.



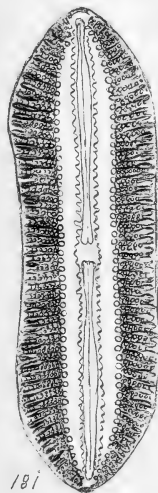
178.



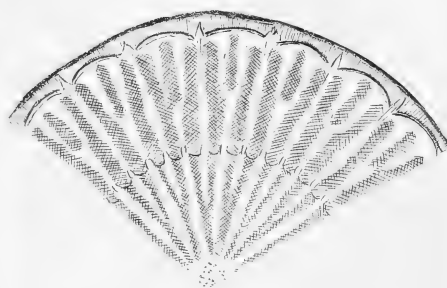
179.



180.



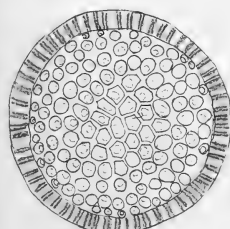
181



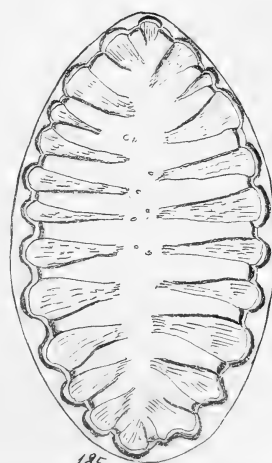
182.



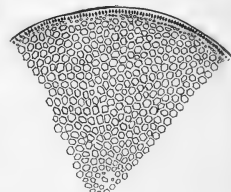
183



184.



185.

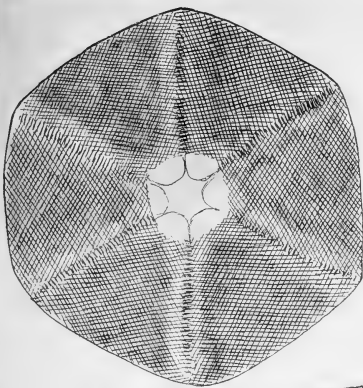


186.

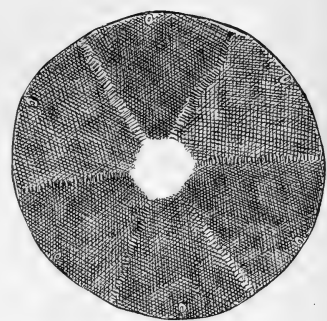
Pautocsek delin.

Tafel XXXI.

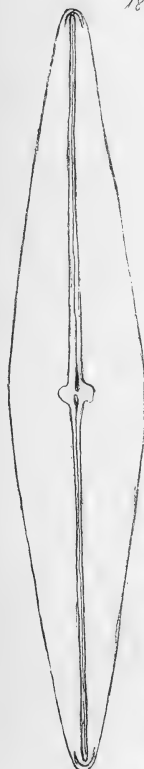
187. **Actinoptychus hungaricus** nov. spec. *Szent-Péter* ^{827/1}
188. **Plagiogramma biharensis** nov. spec. *Élesd* ^{827/1}
189. **Actinoptychus leptomitos** nov. spec. *Dolje* ^{827/1}
- 190a. **Pleurosigma eudon** nov. spec. *Szent-Péter* ^{413/1} 190b. ^{827/1}
191. **Stephanodiscus Kanitzii** Grun. Pant. forma: **major punctis remotioribus** *Élesd* ^{827/1}
192. **Navicula** (marginata Lew. var.?) **mastogloidea** nov. spec. *Szent-Péter* ^{827/1}
193. **Terpsinoë americana** (Bail.) Ralfs forma: **trigona** *Élesd* ^{827/1}



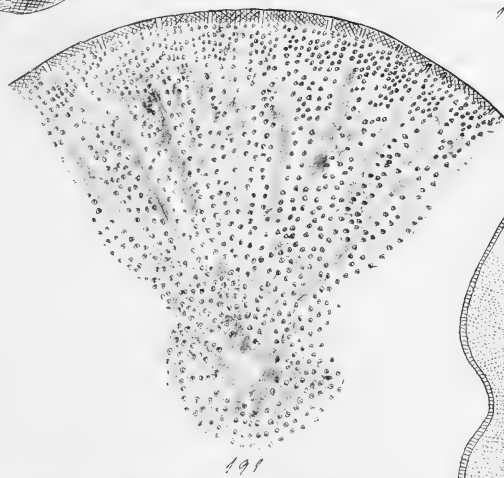
188.



189.



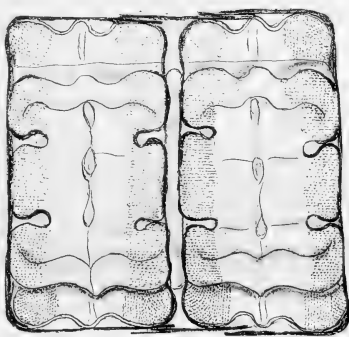
190.a



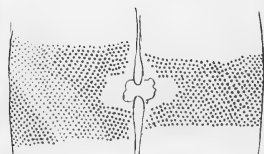
191



192.



193.



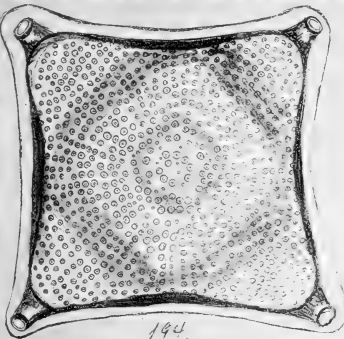
190.b.

Pautoceras delice.



Tafel XXXII.

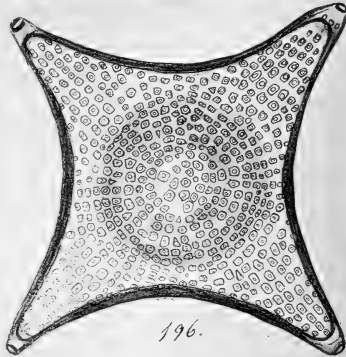
194. **Triceratium** (balearicum Cleve Grun. var.?) **Sturtii** nov. spec. *Szent-Péter* ^{827/1}
195. **Synedra** (Thalassionema) **Frauenfeldii** Grun. var. **doljensis** *Dolje* ^{827/1}
196. **Triceratium** (acutangulum Grev. var.?) **Grovei** nov. spec. *Szakal* ^{827/1}
197. **Coscinodiscus Kochii** nov. spec. *Szent-Péter* ^{827/1}
198. **Stephanodiscus fossilis** nov. spec. *Szent-Péter* ^{827/1}
199. **Actinoptychus vulgaris** Grun. var. **neogradensis** *Szent-Péter* ^{827/1}
200. **Triceratium** (Antillarum Clev. var.?) **laetum** nov. spec. *Élesd* ^{827/1}
201. **Coscinodiscus robustus** Grev. var. *Élesd* ^{827/1}
202. **Melosira granulata** Ehrbg. *Szakal* ^{847/1}
203. **Coscinodiscus radiatus** Ehrbg. var. **subaequalis** Grun. forma: **parva**
Dolje ^{827/1}



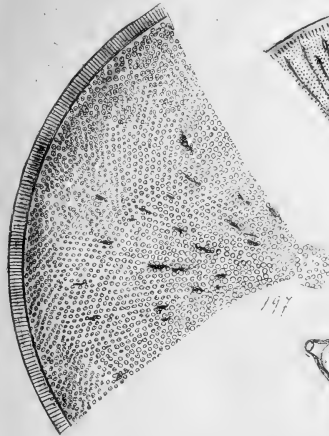
194.



195.



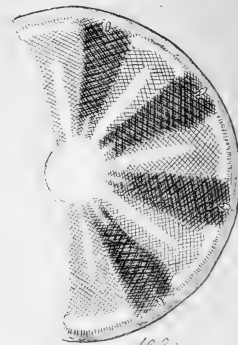
196.



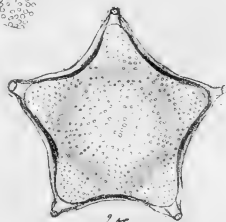
197.



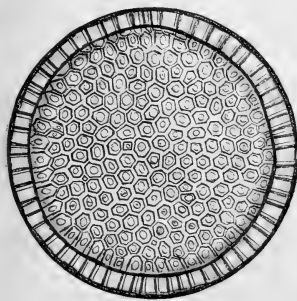
198.



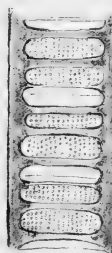
199.



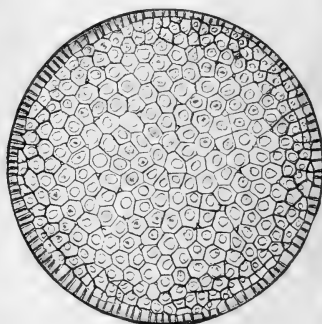
200.



201.



202.



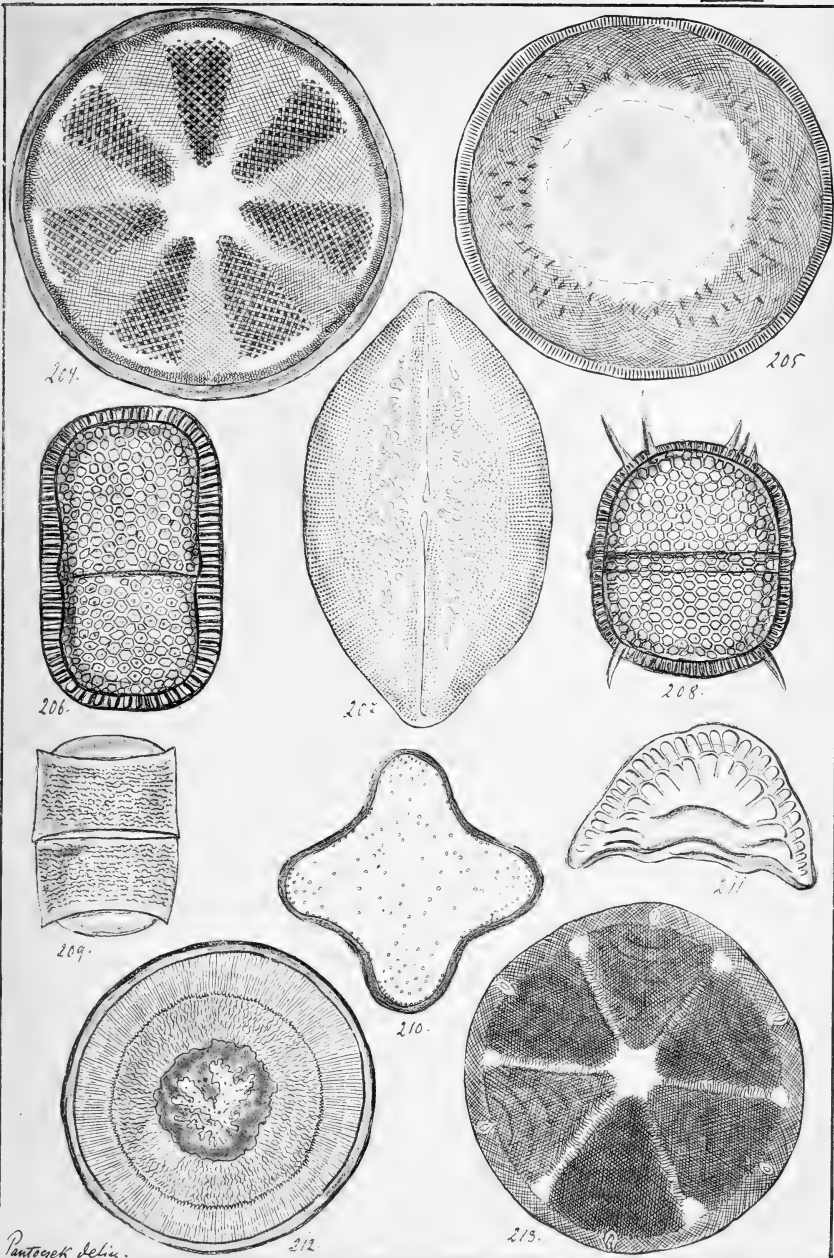
203.

Pantocsek delin.



Tafel XXXIII.

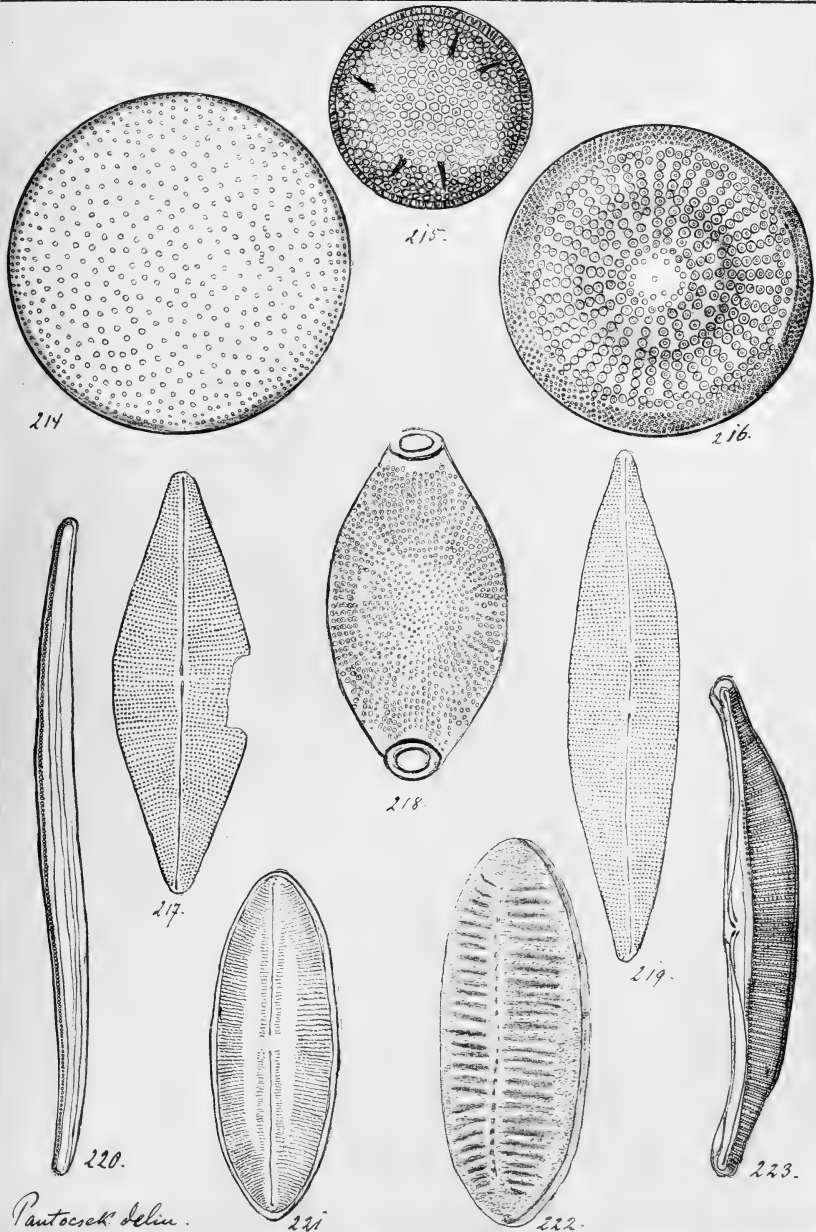
204. *Actinoptychus vulgaris* Grun. var. *doljensis* Dolje ^{827/1}
205. *Hyalodiscus radiatus* (O'Meara) Grun. var. *biharensis* Élesd ^{827/1}
206. *Stephanopyxis Turris* Ehrbg. forma: *nuda* Kékkő ^{827/1}
207. *Navicula perfecta* nov. spec. Szent-Péter ^{827/1}
208. *Stephanopyxis* (Turris Ehrbg. var.?) *intermedia* Grun. Kékkő ^{827/1}
209. *Melosira nummuloides* Ag. var. *biharensis* Élesd ^{827/1}
210. *Trieratium latum* Grev. Szent-Péter ^{827/1}
211. *Campylodiscus adriaticus* Grun. var. *massiliensis* Grun. Szent-Péter ^{827/1}
212. *Hyalodiscus laevis* Ehrbg. var. *doljensis* Dolje ^{827/1}
213. *Actinoptychus kymatodes* nov. spec. Szakal ^{647/1}





Tafel XXXIV.

214. **Coscinodiscus nitidulus** Grun. *Szent-Péter* ^{827/1}
215. **Stephanopyxis Turris** Ehrbg. var. **intermedia** Grun. *Kék kő* ^{547/1}
216. **Coscinodiscus elegans** Grev. *Élesd* ^{827/1}
217. **Navicula Brunii** nov. spec. *Szent-Péter* ^{827/1}
218. **Ondontella (Ropperiana** Greg. var.?) **neogradensis** nov. spec. *Szent-Péter* ^{827/1}
219. **Navicula doljensis** nov. spec. *Dolje* ^{547/1}
220. **Nitzschia antiqua** nov. spec. *Élesd* ^{547/1}
221. **Navicula Lyra** Ehrbg. var. **connectens** Grun. *Élesd* ^{827/1}
222. **Nitzschia Tryblionella** Hantzsch. var. **biharensis** *Élesd* ^{827/1}
223. **Amphora (Grevilleana** Grev. var.?) **sepulta** nov. spec. *Szent-Péter* ^{547/1}

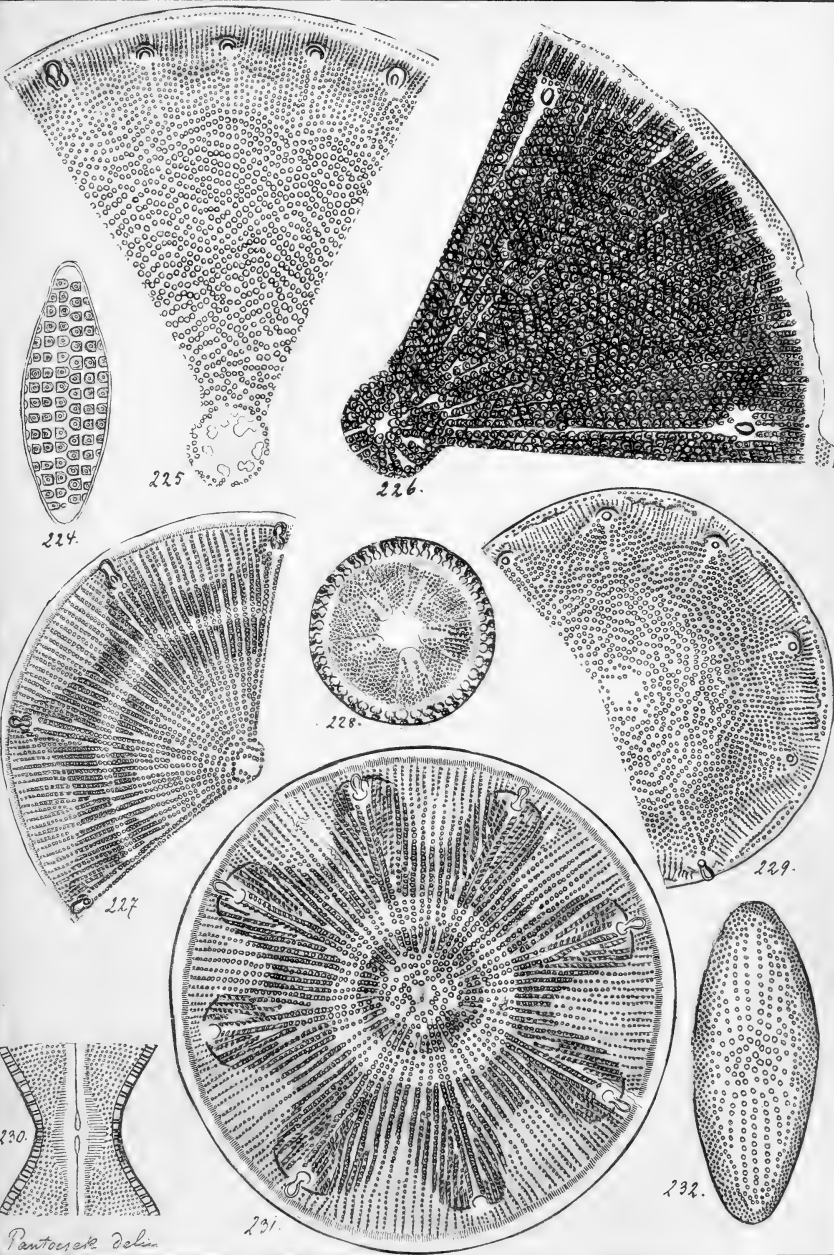


Pantocsek delin.



Tafel XXXV.

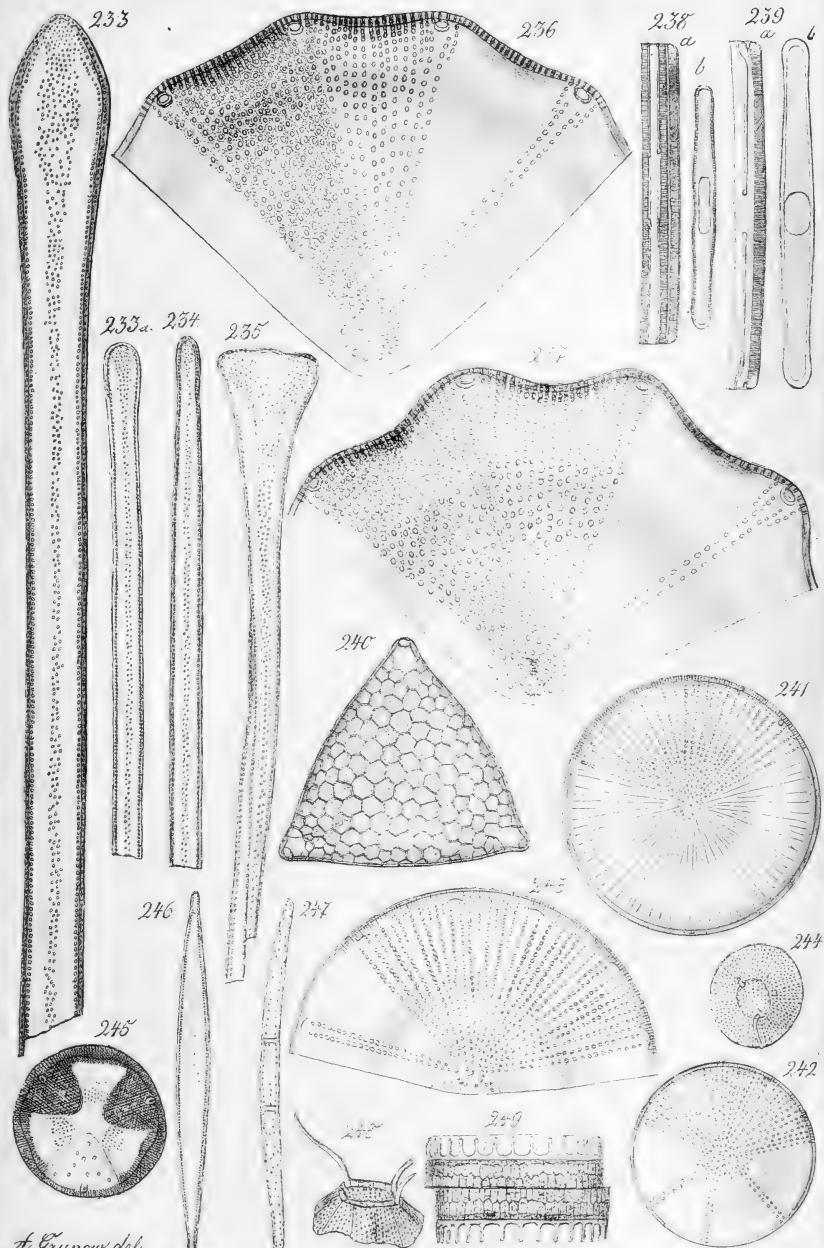
- 224. **Rhaphoneis hungarica** nov. spec. *Szent-Péter* 827/1
- 225. **Aulacodiscus Lunyacsekii** nov. spec. forma: **major** *Szent-Péter* 413/1
- 226. **Aulacodiscus** (*margaritaceus* Ralfs var.?) **Debyi** nov. spec. *Szent-Péter* 413/1
- 227. **Aulacodiscus neogradensis** nov. spec. *Szent-Péter* 413/1
- 228. **Actinoptychus Van Heurckii** nov. spec. *Szent-Péter* 827/1
- 229. **Aulacodiscus Lunyaesekii** nov. spec. *Szent-Péter* 413/1
- 230. **Navicula Kossuthii** nov. spec. *Szent-Péter* 827/1
- 231. **Aulacodiscus** (*angulatus* Grev. var.?) **hungaricus** nov. spec. *Szent-Péter* 413/1
- 232. **Coscinodiscus Lewisianus** Grev. *Szent-Péter* 827/1





Tafel XXXVI.

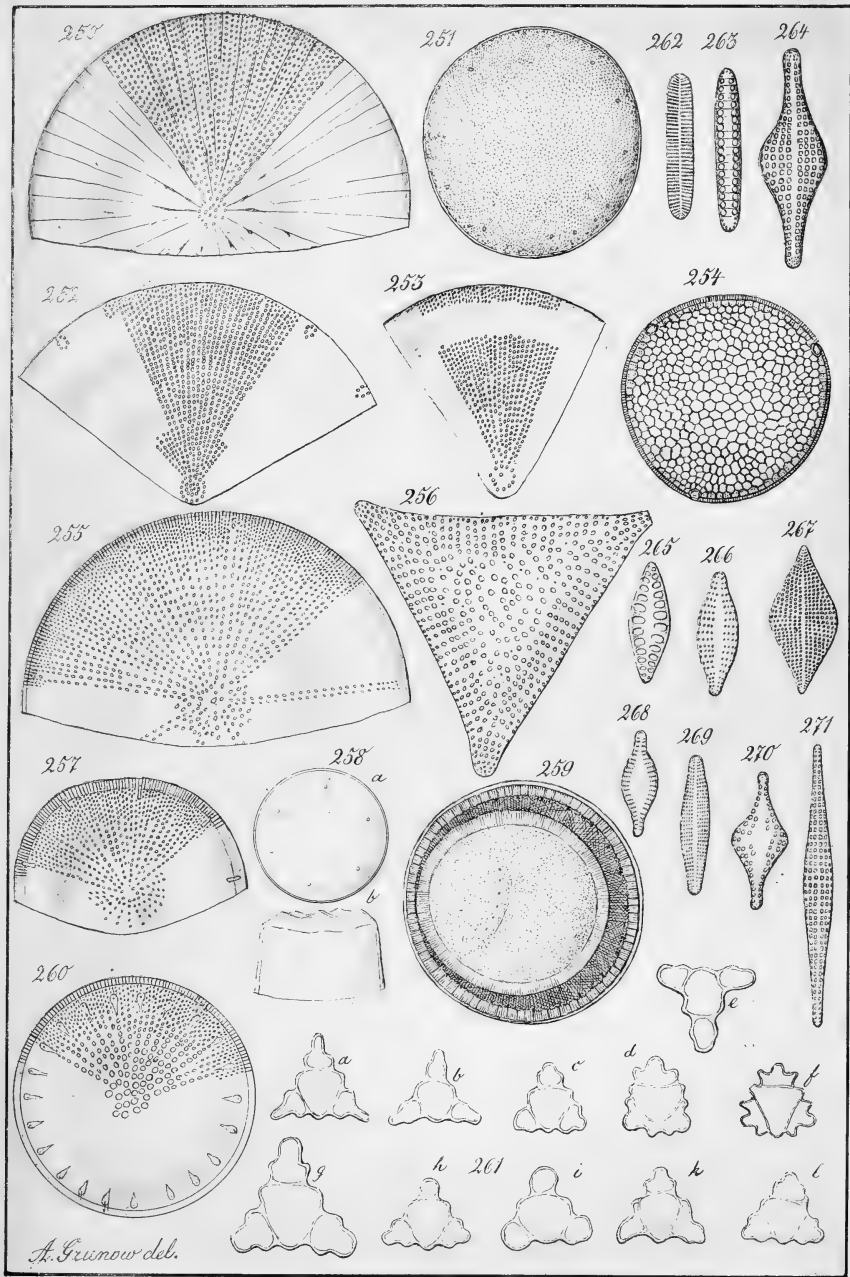
- 233. **Clavieula polymorpha** Grun. Pant. var. **pachycephala** Grun. *Szent-Péter* $\frac{600}{1}$
- 233a. **Clavieula polymorpha** Grun. Pant. var. **delicatula** Pant. *Kék-kő* $\frac{600}{1}$
- 234. **Clavieula polymorpha** Grun. Pant. var. **amphylepta** Grun. *Felső-Esztergály* $\frac{600}{1}$
- 235. **Clavieula** (polymorpha var.?) **platycephala** Grun. *Szent-Péter* $\frac{600}{1}$
- 236. **Aulacodiseus polygonus** Grun. *Szent-Péter* $\frac{600}{1}$
- 237. **Aulacodiseus polygonus** var. **polygibba** Grun. *Szent-Péter* $\frac{600}{1}$
- 238. **Grammatophora insignis** Grun. var. **doljensis** Grun. *Dolje* $\frac{600}{1}$
- 239. **Grammatophora stricta** Ehrbg. var. **fossilis** Grun. *Dolje* $\frac{600}{1}$
- 240. **Triceratum muricatum** Brigh. var. **fossilis** Grun. *Szent-Péter* $\frac{600}{1}$
- 241. **Anisodiseus Pantocsekii** Grun. valva superior *Felső-Esztergály* $\frac{1000}{1}$
- 242. **Anisodiseus Pantocsekii** Grun. valva inferior *Felső-Esztergály* $\frac{1000}{1}$
- 243. **Anisodiseus Pantocsekii** Grun. valva superior major *Felső-Esztergály* $\frac{1000}{1}$
- 244. **Zygoceros circinus** Bail. *Kék-kő* $\frac{600}{1}$
- 245. **Actinoptychus semilaevis** Grun. *Insulae Philippinae* $\frac{600}{1}$
- 246. **Synedra** (*Thalassionema*) **nitzschiooides** Grun. var. **acuminata** Grun. *Szent-Péter* $\frac{600}{1}$
- 247. **Eunotogramma?** **bivittata** Grun. Pant. *Szent-Péter* $\frac{600}{1}$
- 248. **Zygoceros quadicornis** Grun. *Szakal* $\frac{600}{1}$
- 249. **Skeletonema hungaricum** Grun. *Szakal* $\frac{600}{1}$





Tafel XXXVII.

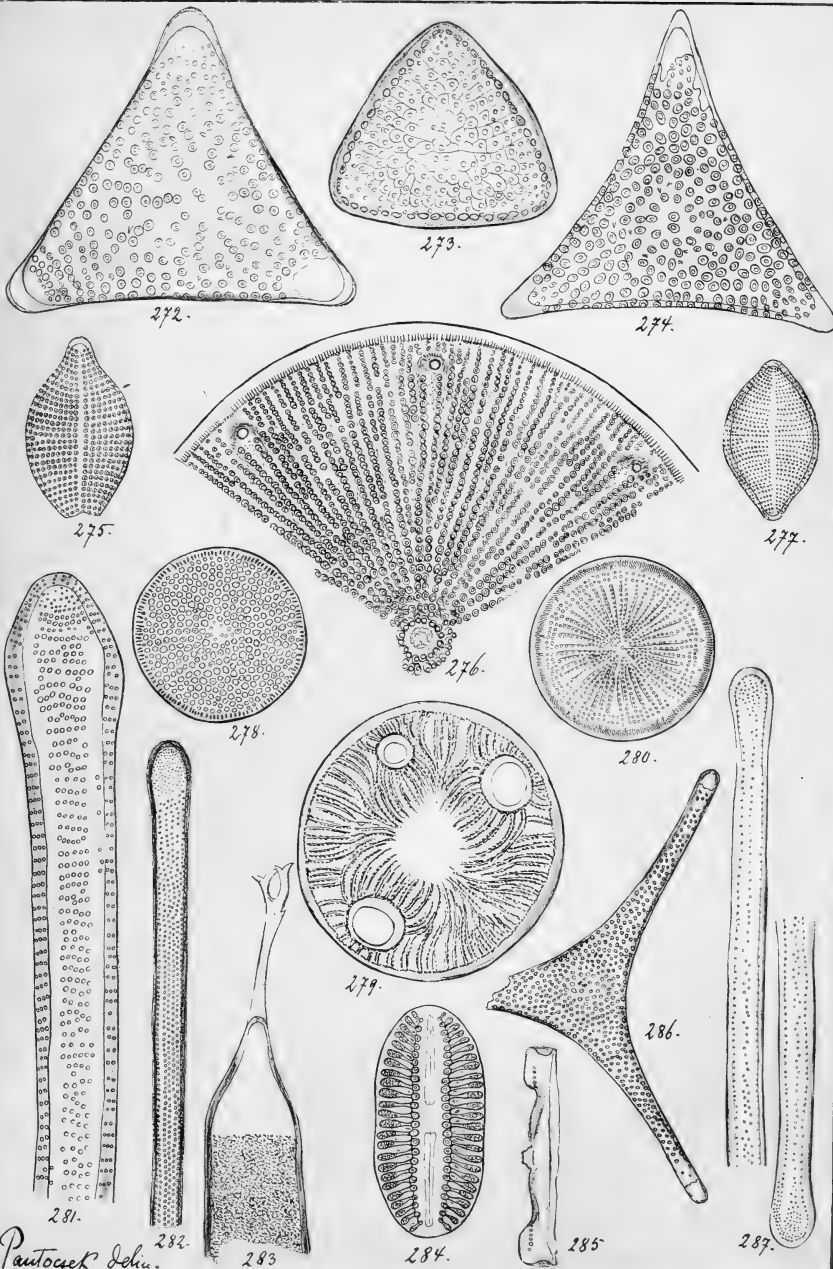
250. **Stictodiscus esztergalyensis** Grun. *Felső-Esztergály* $^{1000}/_1$
251. **Podosira? subspiralis** Grun. *Felső-Esztergály* $^{1000}/_1$
252. **Coscinodiscus undatus** (Cleve) Grun. *Brünn* $^{600}/_1$ (Orig. Exemplar
 ohne Rand.)
253. **Coscinodiscus clivosus** Pant. var. **latefesciata** Grun. *Alsó-Esztergály* $^{600}/_1$
254. **Triceratium** (*Tripos* Cleve var.?) **mierotis** Grun. *Kékő* $^{600}/_1$
255. **Anisodiscus Pantocsekii** Grun. forma: **major** *Felső-Esztergály* $^{1000}/_1$
256. **Triceratium condecorum** Brigh. var. **neogradensis** Grun. *Szent-
 Péter* $^{600}/_1$
257. **Coscinodiscus** (*Cestodiscus*) **Stockesianus** (Grev.) Grun. **subtypicus**
 Szent-Péter $^{600}/_1$
258a-b. **Pantocsekia clivosa** Grun. nov. gen. et spec. *Szent-Péter* $^{300}/_1$
259. **Cyclotella Szakalensis** Grun. *Szakal* $^{600}/_1$
260. **Coscinodiscus** (*Cestodiscus*) **pulchellus** (Grev.) Grun. **moravica** Grun.
 Brünn $^{600}/_1$
261a-l. **Terpsinoë americana** (Bail.) Ralfs forma: **trigona** *Élesd* $^{300}/_1$
262. **Rhaphoneis linearis** Grun. *Nottigham* Dep. $^{600}/_1$
263. **Rhaphoneis?** **biseriata** Grun. *Richmond* (Shokoe Hill.) Dep. $^{600}/_1$
264. **Rhaphoneis gemmifera** Ehrbg. var. **elegans** Grun. *Pant. Naparima*
 Dep. $^{600}/_1$
265. **Dimeregramma fossile** Grun. *Nottingham* Dep. $^{600}/_1$
266. **Rhaphoneis affinis** Grun. *Rappahanoc Cliff.* Dep. $^{600}/_1$
267. **Rhaphoneis Rhombus** Ehrbg. var. **Amazonica** Grun. *Maranhon* $^{600}/_1$
268. **Rhaphoneis Petropolitana** Grun. *Petersburg* Dep. $^{600}/_1$
269. **Rhaphoneis Morsiana** Grun. *Mors* Dep. $^{600}/_1$
270. **Rhaphoneis gemmifera** Ehrbg. var. **parcepunctata** Grun. *Pant.*
 Szakal $^{600}/_1$
271. **Rhaphoneis Lancettula** Grun. (*Fragillaria amphiceros* Ehrbg.?) *Rich-
 mond* (Church Hill.) Dep. $^{600}/_1$





Tafel XXXVIII.

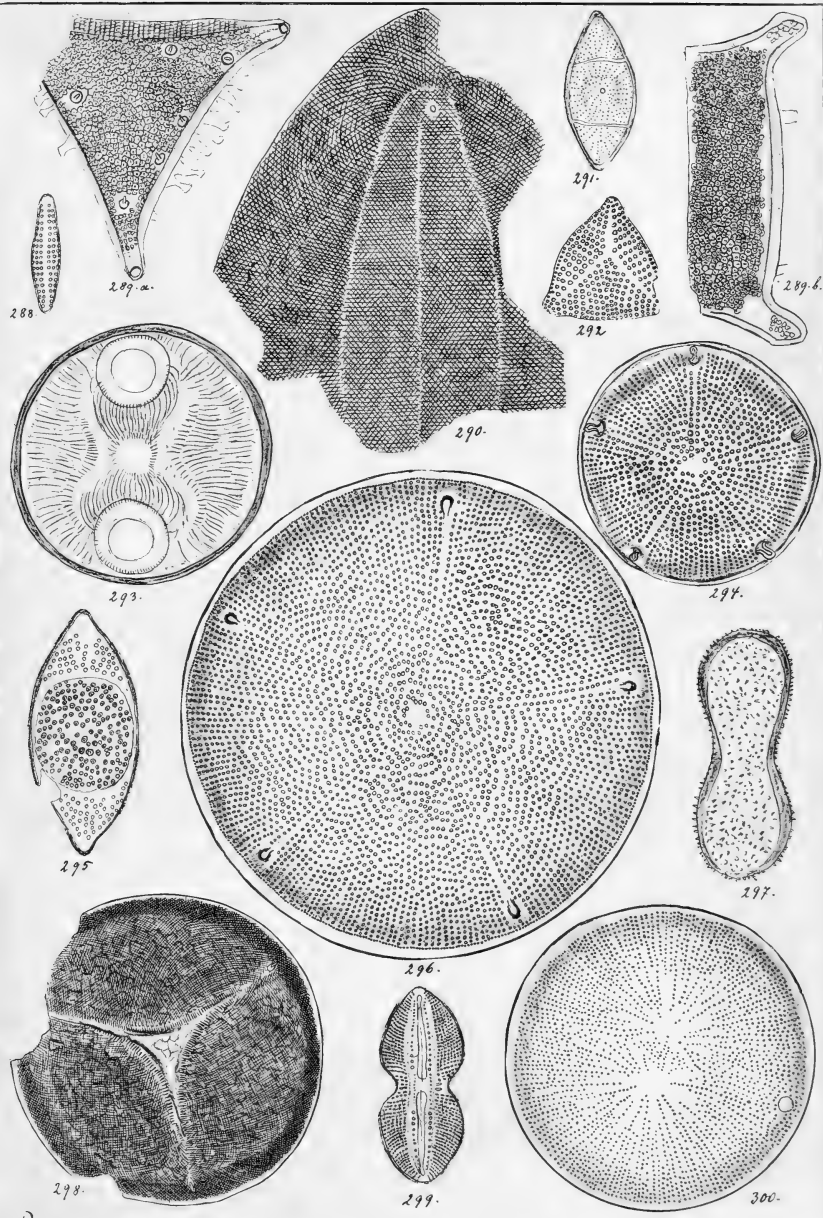
272. *Triceratium szakalense* nov. spec. *Szakal* 827/1
273. *Stictodiscus californicus* Grev. forma: *trigona* *Szakal* 827/1
274. *Triceratium Brunii* nov. spec. *Szent-Péter* 827/1
275. *Rhaphoneis rhombus* Ehrbg. var. *intermedia* Pant. *Szent-Péter* 663/1
276. *Aulacodiscus* (neogradensis Pant. var.?) *subangulatus* Pant. *Szent-Péter* 663/1
277. *Rhaphoneis subtilissima* nov. spec. *Felső-Esztergály* 1133/1
278. *Coseinodiscus Szontághii* nov. spec. *Szent-Péter* 827/1
279. *Auliscus coelatus* Bail. forma: *triocellata* *Szent-Péter* 413/1
280. *Anisodiscus Pantocsekii* Grun. nov. spec. *Felső-Esztergály* 663/1
281. *Clavieula polymorpha* Grun. Pant. var. *tumida* Pant. *Szent-Péter* 827/1
282. *Clavieula biharensis* nov. spec. *Élesd* 933/1
283. *Pyxilla americana* (Ehrbg.) Grun. *Szent-Péter* 663/1
284. *Navicula Szontághii* nov. spec. *Szent-Péter* 827/1
285. *Plagiogramma neogradense* nov. spec. *Szent-Péter* 663/1
286. *Triceratium Solenoceros* Ehrbg. *Szent-Péter* 663/1
287. *Clavieula polymorpha* Grun. Pant. var. *delicatula* Pant. *Szent-Péter* 827/1





Tafel XXXIX.

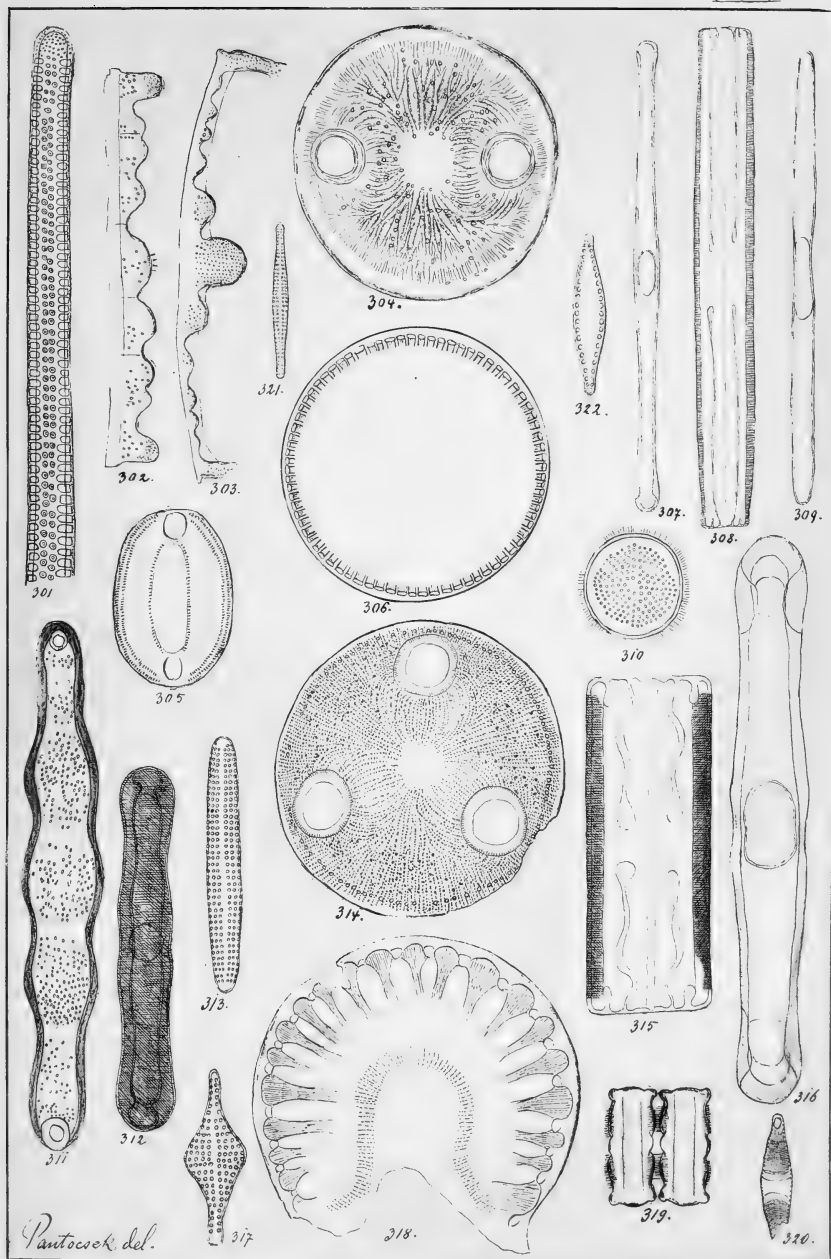
288. **Rhaphoneis** (augustata Pant. var.?) **szakalensis** nov. spec. *Szakal* ^{667/1}
- 289a-b. **Triceratium Castracanei** nov. spec. *Szakal* ^{420/1}
290. **Zygoceros?** **Weissflogii** nov. spec. *Szakal* ^{667/1}
291. **Hemiaulus hungaricus** nov. spec. *Szakal* ^{667/1}
292. **Rhaphoneis amphiceros** Ehrbg. forma: **trigona** *Szakal* ^{667/1}
293. **Auliscus Grunowii** A. Schm. *Szakal* ^{420/1}
294. **Aulaeodiscus Chasei** nov. spec. *Szakal* ^{420/1}
295. **Hemiaulus?** **petasiformis** nov. spec. *Szakal* ^{667/1}
296. **Aulaeodiscus Habirshawii** nov. spec. *Szakal* ^{223/1}
297. **Xanthiopyxis panduraeformis** nov. spec. *Szakal* ^{667/1}
298. **Debyia insignis** nov. gen. et spec. *Szakal* ^{223/1}
299. **Navicula** (Bombus Ehrbg. var.) **Kützingii** Grun. **Szent-Péter** ^{420/1}
300. **Actinoeyclus Thumii** (Cleve) Pant. abnormitas: **bicentralis** *Szent-Péter* ^{420/1}





Tafel XXX.

301. *Clavicula szakalensis* nov. spec. *Szakal* ^{653/1}
302. *Biddulphia Regina* W. Sm. var. *polygibba* Pant. *Felső-Esztergály* ^{600/1}
303. *Biddulphia elegantula* Grev. var. *polygibba* *Szent-Péter* ^{600/1}
304. *Auliscus* (confluens Grun. var.?) *Haukii* nov. spec. *Szakal* ^{420//1}
305. *Goniothecium* ?? (genus nov.?) *szakalense* nov. spec. *Szakal* ^{667/1}
306. *Melosira cincta* nov. spec. *Kék-kő* ^{420/1}
307-309. *Grammatophora stricta* Ehrbg. var. *biharensis* *Élesd* ^{653/1}
310. *Actinocyclus Ehrenbergii* Ralfs forma: *minuta* *Szakal* ^{933/1}
311. *Biddulphia Tuomeyi* (Bail.) Ropper. forma: *elongata* *Szent-Péter* ^{228/1}
312, 315, 316. *Grammatophora robusta* Dippel *Szent-Péter*, *Kék-kő* ^{653/1}
313. *Rhaphoneis angustata* nov. spec. *Kék-kő* ^{653/1}
314. *Auliscus Normanianus* Grev. *Szakal* ^{420/1}
317. *Rhaphoneis gemmifera* Ehrbg. var. *elegans* Grun. Pant. *Szakal* ^{667/1}
318. *Surirella baldjikii* Norm. *Szakal* ^{667/1}
319-320. *Plagiogramma biharensse* nov. spec. *Élesd* ^{653/1}
*321. *Rhaphoneis lancetula* Grun. var.? *Jüttlandica* Grun. *Mors* ^{600/1}
*322. *Rhaphoneis gemmifera* Ehrbg. var.? *moravica* Grun. *Bránn* ^{600/1}









Date Due

3 2044 107 307 795

